

สำนักหอสมุดกลาง พระจอมเกล้าลาดกระบัง

การออกแบบตัวควบคุมพีไอโดยใช้เทคนิคโมเดลอ้างอิง  
แบบปรับตัวเองได้สำหรับกระบวนการระดับน้ำสองถังที่มีผลต่อกัน

DESIGN OF PI CONTROLLER USING MODEL REFERENCE  
ADAPTIVE CONTROL FOR COUPLED-TANK PROCESS

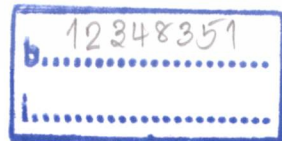


T117919



อพ.  
๒๖/๑๗

เลขหมู่..... ๑๕๖๔  
เลขทะเบียน..... 117919  
วัน,เดือน,ปี..... 22 ส.ค. 2554



วิทยานิพนธ์นี้เป็นส่วนหนึ่งของการศึกษาตามหลักสูตรปริญญาวิศวกรรมศาสตรมหาบัณฑิต  
สาขาวิชาวิศวกรรมการวัดและควบคุม  
คณะวิศวกรรมศาสตร์  
สถาบันเทคโนโลยีพระจอมเกล้าเจ้าคุณทหารลาดกระบัง

พ.ศ. 2554

เอกสารนี้เป็นเอกสารที่สงวนไว้สำหรับการใช้งานเพื่อการศึกษาเท่านั้น ไม่อนุญาตให้นำไปใช้ประโยชน์ด้านการค้า  
KMITL 2011-EN-M-060-002  
ไม่ว่ากรณีใดๆ ทั้งสิ้น อีกทั้งห้ามมิให้ดัดแปลงเนื้อหา และต้องอ้างอิงถึงเจ้าของเอกสารทุกครั้งที่มีการนำไปใช้

**DESIGN OF PI CONTROLLER USING MODEL REFERENCE  
ADAPTIVE CONTROL FOR COUPLED-TANK PROCESS**



**A THESIS SUBMITTED IN PARTIAL FULFILLMENT  
OF THE REQUIREMENT FOR THE DEGREE OF  
MASTER OF ENGINEERING IN INSTRUMENTATION ENGINEERING  
FACULTY OF ENGINEERING  
KING MONGKUT'S INSTITUTE OF TECHNOLOGY LADKRABANG**

**2011**

เอกสารนี้เป็นเอกสารที่สงวนไว้สำหรับใช้ภายในห้องเรียนเท่านั้น ไม่อนุญาตให้นำไปใช้ประโยชน์ด้านการค้า  
ไม่ว่ากรณีใดๆ ทั้งสิ้น อีกทั้งห้ามมิให้ดัดแปลงเนื้อหา และต้องอ้างอิงถึงเจ้าของเอกสารทุกครั้งที่มีการนำไปใช้



**COPYRIGHT 2011**

**FACULTY OF ENGINEERING**

เอกสารนี้เป็นเอกสารที่สงวนลิขสิทธิ์สำหรับการใช้งานเพื่อการศึกษาเท่านั้น ไม่อนุญาตให้นำไปใช้ประโยชน์ด้านการค้า  
**KING MONGKUT'S INSTITUTE OF TECHNOLOGY LADKRABANG**  
ไม่ว่ากรณีใดๆ ทั้งสิ้น อีกทั้งห้ามมิให้ดัดแปลงเนื้อหา และต้องอ้างอิงถึงเจ้าของเอกสารทุกครั้งที่มีการนำไปใช้

หัวข้อวิทยานิพนธ์	การออกแบบตัวควบคุมพีไอโดยใช้เทคนิคโมเดลอ้างอิงแบบปรับตัว เองได้สำหรับกระบวนการระดับน้ำสองถังที่มีผลต่อกัน
นักศึกษา	นายศุภฤกษ์ กังวาลรัตน์
รหัสนักศึกษา	51060806
ปริญญา	วิศวกรรมศาสตรมหาบัณฑิต
สาขาวิชา	วิศวกรรมการวัดคุม
พ.ศ.	2554
อาจารย์ที่ปรึกษาวิทยานิพนธ์	รศ.อาจินต์ น่วมสำราญ

### บทคัดย่อ

กระบวนการระดับน้ำสองถังที่มีผลกระทบท่อกัน (Couple-Tank Process) ซึ่งเป็นกระบวนการแบบสองอินพุตสองเอาต์พุต (TITO) นั้นมีความยุ่งยากในการออกแบบตัวควบคุมเนื่องจากเป็นกระบวนการที่มีการเปลี่ยนแปลงทางไดนามิกและมีการรบกวนกันภายในกระบวนการ วิทยานิพนธ์นี้จึงนำเสนอวิธีการออกแบบตัวควบคุมพีไอแบบปรับตัวเองได้โดยใช้เทคนิคโมเดลอ้างอิง Model Reference Adaptive Control (MRAC) ซึ่งวิธีที่นำเสนอนี้สามารถปรับเปลี่ยนค่าพารามิเตอร์ของตัวควบคุมให้เหมาะสมตามการเปลี่ยนแปลงของกระบวนการและสนองต่อสิ่งรบกวนแบบ เวลาจริง โดยใช้การอ้างอิงกับโมเดลอ้างอิงซึ่งเป็นตัวกำหนดค่าคุณสมบัติทางสมรรถนะที่ต้องการของระบบควบคุม การจำลองและทดลองระบบควบคุมกระบวนการระดับน้ำสองถังที่มีผลกระทบท่อกันทำด้วยโปรแกรม Simulink

Thesis Title	Design of PI Controller Using Model Reference Adaptive Control. for Coupled-Tank Process
Student	Mr. Suparoek Kangwanrat
Student ID.	51060806
Degree	Master of Engineering
Program	Instrumentation Engineering
Year	2011
Thesis Advisor	Assoc. Prof. Arjin Numsomran

### ABSTRACT

The typical coupled-tanks process that is TITO plant has the difficulty in controller design because changing of system dynamics and interacting of process. This paper presents design methodology of auto-adjustable PI controller using Model Reference Adaptive Control (MRAC) technique. The proposed method can adjust the controller parameters in response to changes in plant and disturbance real time by referring to the reference model that specifies properties of the desired control system. The simulation and experiment of coupled-tanks control system was performed by Simulink program.

## กิตติกรรมประกาศ

วิทยานิพนธ์ฉบับนี้สำเร็จได้อย่างดี ด้วยคำแนะนำ คำปรึกษา และอนุเคราะห์อุปกรณ์เครื่องมือในการทำงานวิจัยจาก รศ.อาจินต์ น่วมสำราญ ซึ่งเป็นอาจารย์ผู้ควบคุมวิทยานิพนธ์ และเป็นผู้ที่ปรับวิถีคิดและทัศนคติเกี่ยวกับงานวิจัยและการดำเนินชีวิตให้กับข้าพเจ้าด้วยดีเสมอมาข้าพเจ้ารู้สึกทราบบ้างในความอนุเคราะห์จากท่าน และขอขอบพระคุณเป็นอย่างสูง

ขอกราบพระคุณคณาจารย์ภาควิชาวิศวกรรมการวัดคุม คณะวิศวกรรมศาสตร์ สถาบันเทคโนโลยีพระจอมเกล้าเจ้าคุณทหารลาดกระบัง ทุกๆ ท่านที่ได้ประสิทธิ์ประสาทวิชาให้กับข้าพเจ้า

ขอขอบคุณพี่ๆ เพื่อนๆ และน้องๆ ภาควิชาวิศวกรรมการวัดคุมทุกคนที่เป็นกำลังใจ

ขอขอบคุณบัณฑิตศึกษา คณะวิศวกรรมศาสตร์และบัณฑิตศึกษา ที่ให้ความช่วยเหลือในเรื่องต่างๆ เกี่ยวกับการศึกษาตลอดมา

สุดท้ายนี้ข้าพเจ้าขอกราบขอบพระคุณ บิดา มารดา และครอบครัวของข้าพเจ้าที่เป็นกำลังใจ และให้การสนับสนุนในทุกๆ ด้านทำให้ข้าพเจ้าสามารถทำวิทยานิพนธ์ฉบับนี้สำเร็จลุล่วงด้วยดี

คุณค่าและประโยชน์อันพึงมาจากวิทยานิพนธ์ฉบับนี้ ข้าพเจ้าขอมอบแด่ผู้มีพระคุณทุกท่าน

# สารบัญ

	หน้า
บทคัดย่อภาษาไทย.....	I
บทคัดย่อภาษาอังกฤษ.....	II
กิตติกรรมประกาศ.....	III
สารบัญ.....	IV
สารบัญตาราง.....	VII
สารบัญรูป.....	VIII
บทที่ 1 บทนำ.....	1
1.1 ความเป็นมาและความสำคัญของปัญหา.....	1
1.2 ความมุ่งหมายและวัตถุประสงค์ของการศึกษา.....	2
1.3 สมมติฐานของการศึกษา.....	2
1.4 ทฤษฎีหรือแนวความคิดที่ใช้ในการวิจัย.....	3
1.5 การเปรียบเทียบระหว่างวิธีการที่นำเสนอกับวิธีการแบบพื้นฐาน.....	4
1.6 ขอบเขตการวิจัย.....	4
1.7 ขั้นตอนการศึกษา.....	4
บทที่ 2 กระบวนการระดับน้ำสองถังที่มีผลต่อกัน.....	5
2.1 กล่าวนำ.....	5
2.2 องค์ประกอบของกระบวนการ.....	5
2.2.1 โครงสร้างของกระบวนการระดับน้ำสองถังที่มีผลต่อกัน.....	5
2.2.2 การ์ดแปลงสัญญาณ Analog to Digital และ Digital to Analog.....	7
2.2.3 อุปกรณ์ตรวจวัดสัญญาณ (Sensor and Transducer).....	10
2.2.4 อุปกรณ์ควบคุมปั้มน้ำ.....	11
2.2.5 ปั้มน้ำ.....	13
2.3 การหาสมการคุณลักษณะของกระบวนการ.....	15
2.4 โปรแกรมที่ใช้ในการทดลองวิจัย.....	19
2.5 บทสรุป.....	31

เอกสารนี้เป็นเอกสารที่สงวนไว้สำหรับการใช้งานเพื่อการศึกษาเท่านั้น ไม่อนุญาตให้นำไปใช้ประโยชน์ด้านการค้า  
ไม่ว่ากรณีใดๆ ทั้งสิ้น อีกทั้งห้ามมิให้ดัดแปลงเนื้อหา และต้องอ้างอิงถึงเจ้าของเอกสารทุกครั้งที่มีการนำไปใช้

## สารบัญ (ต่อ)

	หน้า
บทที่ 3 ทฤษฎีที่เกี่ยวข้องกับงานวิจัย .....	32
3.1 กล่าวนำ.....	32
3.2 การควบคุมแบบ พีไอดี .....	32
3.2.1 การควบคุมแบบป้อนกลับด้วยตัวควบคุมพีไอดี .....	32
3.2.2 กริยาการควบคุมแบบป้อนกลับ .....	34
3.3 ทฤษฎีของดีคัปปลิ่ง .....	40
3.3.1 ดีคัปปลิ่งในทางอุดมคติ (Ideal Decoupling).....	41
3.3.2 ดีคัปปลิ่งแบบง่าย (Simplified Decoupling).....	41
3.3.3 ตัวอย่างการออกแบบดีคัปปลิ่ง.....	43
3.3.4 ดีคัปปลิ่งแบบอินเวอร์ส (Inverse Decoupling) .....	44
3.4 ระบบควบคุมแบบปรับตัวได้ (Adaptive Control System) .....	45
3.5 Model Reference Adaptive Control .....	46
3.6 บทสรุป .....	54
บทที่ 4 วิธีการออกแบบตัวควบคุม .....	55
4.1 กล่าวนำ.....	55
4.2 การหาสมการคุณลักษณะของกระบวนการ .....	55
4.3 การออกแบบดีคัปปลิ่ง .....	59
4.4 การออกแบบตัวควบคุมพีไอด้วย MRAC .....	60
4.5 บทสรุป .....	61
บทที่ 5 การจำลองและการทดลอง .....	62
5.1 กล่าวนำ.....	62
5.2 การหาสมการคุณลักษณะของกระบวนการ .....	62
5.3 การทดลองกระบวนการ .....	70
5.5 สรุปผลการทดลอง.....	75

## สารบัญ (ต่อ)

	หน้า
บทที่ 6 สรุปผลการวิจัยและข้อเสนอแนะ .....	76
6.1 สรุปผลการวิจัย .....	76
6.2 ปัญหาที่พบในการวิจัยและแนวทางการแก้ปัญหา .....	77
6.3 ข้อเสนอแนะและแนวทางการพัฒนา .....	77
บรรณานุกรม .....	78
ภาคผนวก .....	79
ภาคผนวก ก. ....	80
ภาคผนวก ข. ....	84
ประวัติผู้เขียน .....	91



# สารบัญตาราง

ตารางที่	หน้า
2.1 คุณสมบัติของปั้มน้ำ.....	14
4.1 สรุปค่าพารามิเตอร์ที่ใช้ในการหาค่าสมการคุณลักษณะของกระบวนการ.....	58
5.1 แสดงสมรรถนะของระบบเมื่อทำการเปลี่ยนระดับน้ำ จาก 2 cm ไป 3 cm.....	75



เอกสารนี้เป็นเอกสารที่สงวนไว้สำหรับการใช้งานเพื่อการศึกษาเท่านั้น ไม่อนุญาตให้นำไปใช้ประโยชน์ด้านการค้า  
ไม่ว่ากรณีใดๆ ทั้งสิ้น อีกทั้งห้ามมิให้ดัดแปลงเนื้อหา และต้องอ้างอิงถึงเจ้าของเอกสารทุกครั้งที่มีการนำไปใช้

# สารบัญรูป

รูปที่	หน้า
2.1 กระบวนการระดับน้ำสองถังที่มีผลกระทบต่อกัน .....	6
2.2 การ์ดแปลงสัญญาณ A/D และ D/A รุ่น PCI-1711 .....	7
2.3 รายละเอียดสัญญาณของจุดเชื่อมต่อการ์ด.....	10
2.4 ลักษณะของอุปกรณ์วัดความดันแตกต่างกัน.....	10
2.5 ลักษณะการต่อใช้งานของอุปกรณ์วัดความดันแตกต่างกับถังน้ำ .....	11
2.6 ลักษณะของวงจรขับกระแส .....	13
2.7 ลักษณะของปั๊มน้ำ.....	14
2.8 ลักษณะของโปรแกรม Simulink.....	21
2.9 แสดงตัวอย่างการเชื่อมต่อกันของบล็อก.....	22
2.10 แสดงบล็อกต่างๆ ของแหล่งกำเนิดสัญญาณ (Sources) และแหล่งสัญญาณ (Sinks).....	23
2.11 แสดงบล็อกต่างๆ ภายในกลุ่มบล็อกของระบบต่อเนื่อง (Continuous System) และระบบไม่ต่อเนื่อง (Discrete System) .....	23
2.12 แสดงบล็อกต่างๆ ภายในกลุ่มบล็อกการดำเนินการทางคณิตศาสตร์ (Math Operations) .....	24
2.13 แสดงกลุ่มบล็อก Discontinuities และกลุ่ม Signal Routing .....	25
2.14 แสดงหน้าต่างที่ใช้ในการกำหนดค่าคงที่ในการจำลองปัญหา (Configuration Parameters) .....	26
2.15 หน้าต่างสำหรับสร้างแบบจำลอง.....	27
2.16 การเลือกบล็อกที่ต้องการจาก Simulink Library Browser.....	28
2.17 บล็อกของระบบตัวอย่าง.....	28
2.18 การเชื่อมต่อสัญญาณระหว่างบล็อก.....	29
2.19 การเปลี่ยนแปลงค่าพารามิเตอร์ของบล็อก.....	29
2.20 ไดอะล็อกใส่ค่าพารามิเตอร์ของบล็อก Transfer Fcn .....	30
2.21 แบบจำลองระบบทางกลในรูปแบบของ Transfer Function .....	31
3.1 แสดงโครงสร้างของระบบควบคุมแบบป้อนกลับโดยทั่วไป.....	33
3.2 แสดงการทำงานของระบบควบคุมแบบ ON-OFF.....	34
3.3 แสดงคุณสมบัติของการทำงานของระบบควบคุมแบบ Proportional.....	36
3.4 แสดงผลตอบสนองของการทำงานของระบบควบคุมแบบ Integral.....	37
3.5 แสดงตัวอย่างผลตอบสนองของการทำงานของระบบควบคุมแบบ Derivative.....	37

เอกสารนี้เป็นเอกสารที่สงวนไว้สำหรับการใช้งานเพื่อการศึกษาเท่านั้น ไม่อนุญาตให้นำไปใช้ประโยชน์ด้านการค้า  
ไม่ว่ากรณีใดๆ ทั้งสิ้น อีกทั้งห้ามมิให้ดัดแปลงเนื้อหา และต้องอ้างอิงถึงเจ้าของเอกสารทุกครั้งที่มีการนำไปใช้

## สารบัญญรูป (ต่อ)

รูปที่	หน้า
3.6 แสดงตัวอย่างผลตอบสนองของกิริยาการควบคุมแบบ PI .....	38
3.7 แสดงตัวอย่างผลตอบสนองของกิริยาการควบคุมแบบ PD.....	39
3.8 แสดงตัวอย่างผลตอบสนองของกิริยาการควบคุมแบบ PI .....	39
3.9 แสดงโครงสร้างของกระบวนการเมื่อต่อร่วมกับตัวควบคุม .....	40
3.10 โครงสร้างระบบควบคุมสำหรับกระบวนการระดับน้ำแบบ 4 ถัง ที่ประกอบด้วยชุดอินเวอร์สดีคัปปลิ่ง .....	44
3.11 Adaptive Algorithm.....	46
3.12 โครงสร้างทั่วไปของ MRAC.....	47
3.13 โครงสร้างทั่วไปของ MRAC.....	48
3.14 บล็อกไดอะแกรม MRAC .....	49
3.15 โครงสร้างของระบบควบคุม.....	52
3.16 โครงสร้างของระบบควบคุมสำหรับ Couple-Tank Process .....	53
4.1 รูปประกอบการพิจารณาเพื่อหาค่า $\beta_1, \beta_x$ .....	56
4.2 รูปประกอบการพิจารณาหาค่า $\beta_2, \beta_x$ .....	57
5.1 แสดงโปรแกรมในการจำลองกระบวนการ.....	63
5.2 ผลตอบสนองทางเอาต์พุต $y_p$ เทียบกับ $y_m$ ของถังน้ำใบที่ 1 .....	64
5.3 สัญญาณควบคุมกระบวนการของถังน้ำใบที่ 1 .....	64
5.4 สัญญาณตัวควบคุม $K_p$ สำหรับควบคุมถังน้ำใบที่ 1 .....	65
5.5 สัญญาณตัวควบคุม $K_i$ สำหรับควบคุมถังน้ำใบที่ 1 .....	66
5.6 ผลตอบสนองทางเอาต์พุต $y_p$ เทียบกับ $y_m$ ของถังน้ำใบที่ 2 .....	66
5.7 สัญญาณควบคุมกระบวนการของถังน้ำใบที่ 2 .....	67
5.8 สัญญาณตัวควบคุม $K_p$ สำหรับควบคุมถังน้ำใบที่ 2 .....	68
5.9 สัญญาณตัวควบคุม $K_i$ สำหรับควบคุมถังน้ำใบที่ 2.....	69
5.10 ผลตอบสนองทางด้านเอาต์พุตของกระบวนการ .....	69
5.11 แสดงการเปรียบเทียบผลตอบสนองด้านเอาต์พุตระหว่างกระบวนการ กับแบบจำลองของ Tank 1.....	70
5.12 แสดงสัญญาณควบคุมกระบวนการของ Tank 1 .....	71
5.13 สัญญาณตัวควบคุม $K_p$ สำหรับควบคุมถังน้ำใบที่ 1 .....	71

เอกสารนี้เป็นเอกสารที่สงวนไว้สำหรับการใช้งานเพื่อการศึกษาเท่านั้น ไม่อนุญาตให้นำไปใช้ประโยชน์ด้านการค้า  
ไม่ว่ากรณีใดๆ ทั้งสิ้น อีกทั้งห้ามมิให้ตัดแปลงเนื้อหา และต้องอ้างอิงถึงเจ้าของเอกสารทุกครั้งที่มีการนำไปใช้

## สารบัญรูป (ต่อ)

รูปที่	หน้า
5.14 สัญญาณตัวควบคุม $K$ , สำหรับควบคุมถึงน้ำใบที่ 1.....	72
5.15 แสดงการเปรียบเทียบผลตอบสนองด้านเอาต์พุตระหว่างกระบวนการ กับแบบจำลองของ Tank 2.....	72
5.16 แสดงสัญญาณควบคุมกระบวนการของ Tank 2.....	73
5.17 สัญญาณตัวควบคุม $K_p$ , สำหรับควบคุมถึงน้ำใบที่ 2.....	73
5.18 สัญญาณตัวควบคุม $K$ , สำหรับควบคุมถึงน้ำใบที่ 2.....	74
5.19 แสดงผลตอบสนองด้านเอาต์พุตของกระบวนการ.....	74



# บทที่ 1

## บทนำ

### 1.1 ความเป็นมาและความสำคัญของปัญหา

ในปัจจุบันมีกระบวนการทางอุตสาหกรรมเกิดขึ้นมากมาย วิศวกรจึงมีหน้าที่ออกแบบตัวควบคุมให้เหมาะสมกับกระบวนการนั้นๆ และสามารถทำงานได้ตามเป้าหมายที่ต้องการ โดยในโรงงานอุตสาหกรรมกว่าร้อยละ 90 นิยมใช้ตัวควบคุมแบบพีไอดี ซึ่งมีวิธีการออกแบบหาค่าพารามิเตอร์ของตัวควบคุมด้วยทฤษฎีต่างๆ ตามความเหมาะสม เช่น ทฤษฎีของ Ziegler-Nichole, ทฤษฎีทางเดินของราก (Root Locus) เป็นต้น ซึ่งวิธีการดังกล่าวก็เหมาะกับกระบวนการบางกระบวนการเท่านั้น การปรับพารามิเตอร์ตัวควบคุมบางครั้งก็อาศัยความชำนาญของผู้ดูแลระบบ

กระบวนการระดับน้ำสองถังที่มีผลต่อกันเป็นกระบวนการที่มีสองอินพุตสองเอาต์พุต ซึ่งกระบวนการนี้มีความยากในการออกแบบตัวควบคุมเนื่องจากมีวาล์ว ( $R_x$ ) เชื่อมต่อทั้งสองถังเข้าด้วยกันทำให้ระดับน้ำทั้งสองถังมีผลต่อกัน โดยที่ค่าของผลกระทบบที่มีผลต่อกันของระดับน้ำของทั้งสองถังขึ้นอยู่กับ อัตราการไหลเข้า ( $Q$ ), ระดับน้ำในถังที่ 1 และ 2 ( $h_1, h_2$ ) และค่าสัมประสิทธิ์การเปิดวาล์ว ( $R_x$ )

Decoupling เป็นวิธีการที่จะนำมาช่วยในการออกแบบตัวควบคุมเพื่อลดผลการกระทบของระดับน้ำทั้งสองถังสำหรับกระบวนการนี้ เนื่องจากกระบวนการนี้เป็นกระบวนการแบบสองอินพุตสองเอาต์พุตและมีผลต่อกัน โดยปกติแล้วถ้าเป็นกระบวนการแบบสองอินพุตสองเอาต์พุตที่ไม่มีผลต่อกันซึ่งสามารถแยกออกแบบตัวควบคุมแต่ละตัวได้เลย แต่เมื่อกระบวนการมีผลต่อกัน ทำให้ไม่สามารถที่จะแยกกระบวนการออกจากกันเพื่อออกแบบตัวควบคุมด้วยวิธีการดังกล่าวได้ จึงจำเป็นที่จะต้องแยกกระบวนการออกจากกันเพื่อออกแบบตัวควบคุม วิธีการที่นำเสนอในบทความนี้คือวิธี Decoupling จะช่วยให้สามารถแยกกระบวนการออกเป็นสองส่วนโดยที่ยังคงคุณสมบัติของกระบวนการดังกล่าวไว้เช่นเดิม แล้วจึงทำการออกแบบตัวควบคุมสำหรับระบบแต่ละส่วน (ซึ่งเป็นกระบวนการแบบ SISO) สำหรับควบคุมระดับน้ำในแต่ละถังให้ได้ค่าเป้าหมายตามที่ต้องการโดยมีผลต่อกันน้อยที่สุดหรือไม่มีเลย ดีคัปปลิงยังช่วยลดความซับซ้อนในการออกแบบตัวควบคุมอีกด้วย

Model Reference Adaptive Control เป็นทฤษฎีที่แนวใหม่ที่สามารถปรับตัวเองให้สามารถควบคุมกระบวนการได้ แม้ว่าการปรับตัวเองของตัวควบคุมจะแก้ไขผลตอบสนองของระบบที่มีความไม่เป็นเชิงเส้นให้ดีขึ้น สัญญาณถูกปรับปรุงให้เหมาะสมกับกระบวนการที่มีความเร็ว แต่สัญญาณที่เกิดขึ้นจะมีความถี่ในการแกว่งที่สูง ดังนั้นการปรับปรุงสัญญาณให้กับระบบแบบอนาล็อกจึงมีความเป็นไปได้มากกว่าระบบที่เป็นดิจิทัลในพารามิเตอร์ของโมเดลอ้างอิง ซึ่งปัญหานี้จะหมดไปเนื่องจาก

เอกสารนี้เป็นเอกสารที่สงวนไว้สำหรับการใช้งานเพื่อการศึกษาเท่านั้น ไม่อนุญาตให้นำไปใช้ประโยชน์ด้านการค้า

ไม่ว่ากรณีใดๆ ทั้งสิ้น อีกทั้งห้ามมิให้ดัดแปลงเนื้อหา และต้องอ้างอิงถึงเจ้าของเอกสารทุกครั้งที่มีการนำไปใช้

โมเดลอ้างอิงจะมีการปรับค่าพารามิเตอร์ที่เหมาะสมมากกว่า ซึ่งแนวคิดพื้นฐานของโมเดลอ้างอิง คือ การประมาณกระบวนการ (Plant) ให้มีค่าเท่ากับโมเดลอ้างอิง ตัวควบคุมจะทำหน้าที่ลดค่าผิดพลาดระหว่างกระบวนการจริงกับโมเดลอ้างอิงให้เป็นศูนย์ เมื่อค่าผิดพลาดเป็นศูนย์นั้นหมายความว่าค่าโมเดลอ้างอิงกับกระบวนการมีค่าเท่ากัน ค่าพารามิเตอร์ของตัวควบคุมที่ได้ออกแบบสำหรับโมเดลอ้างอิงก็จะสามารถควบคุมกระบวนการจริงได้เช่นกัน ค่าของพารามิเตอร์ตัวควบคุมจะถูกปรับไปตามโมเดลอ้างอิง ซึ่งจะให้ผลการควบคุมได้ดีกว่าวิธีอื่นๆ เนื่องจากการออกแบบตัวควบคุมด้วยวิธีอื่น เช่น วิธีทางเดินของรอก หรือ Ziegler-Nichole นั้น จะออกแบบหาค่าพารามิเตอร์เพียงครั้งเดียวและนำไปควบคุมกระบวนการตลอดช่วงเวลาการทำงาน ซึ่งระหว่างการทำงานพารามิเตอร์ของกระบวนการอาจมีการเปลี่ยนแปลงแต่วิธีการของทางเดินของรอก หรือ Ziegler-Nichole ยังใช้ค่าพารามิเตอร์ของตัวควบคุมค่าเดิม แต่วิธี MRAC จะทำการคำนวณหาค่าพารามิเตอร์ของตัวควบคุมใหม่ให้เหมาะสมกับกับกระบวนการ ณ. ขณะนั้นแบบ Real Time

## 1.2 ความมุ่งหมายและวัตถุประสงค์ของการศึกษา

1. เพื่อศึกษาถึงโครงสร้างและคุณลักษณะของกระบวนการระดับน้ำสองถังที่มีผลกระทบต่อกัน
2. เพื่อศึกษาถึงวิธีการออกแบบชุดคิ่บปลั่งสำหรับ ไปออกแบบระบบควบคุมแบบกระจายส่วนสำหรับกระบวนการแบบกับ TITO
3. ศึกษาวิธีการออกแบบตัวควบคุมแบบ MRAC ให้เหมาะสมกับกระบวนการระดับน้ำสองถังที่มีผลกระทบต่อกัน โดยใช้วิธีของ MIT

## 1.3 สมมุติฐานของการศึกษา

กระบวนการใดๆ ในอุตสาหกรรมส่วนแล้วแต่สามารถเปลี่ยนแปลงพารามิเตอร์ของกระบวนการได้ตลอดเวลาอันเนื่องมาจากปัจจัยต่างๆ เช่น สิ่งรบกวนภายนอก ความร้อน ความสั่นสะเทือน เป็นต้น เหล่านี้ล้วนแต่มีผลทำให้ค่าพารามิเตอร์ของกระบวนการเปลี่ยนไป เพราะฉะนั้นค่าพารามิเตอร์ของตัวควบคุมจึงจำเป็นที่จะต้องปรับค่าให้เหมาะสมกับค่าพารามิเตอร์ของกระบวนการที่เปลี่ยนแปลงด้วย ซึ่งในงานวิจัยนี้จึงมีสมมุติฐานว่าถ้าสามารถออกแบบตัวควบคุมให้สามารถปรับตัวเองได้ตามการเปลี่ยนแปลงของกระบวนการได้ จะเป็นผลดีกับระบบควบคุมอย่างมากเนื่องจากจะทำให้สามารถควบคุมค่าเป้าหมายให้เป็นไปตามที่เราต้องการมากที่สุด

## 1.4 ทฤษฎีหรือแนวคิดที่ใช้ในการวิจัย

สำหรับงานวิจัยนี้ได้นำเสนอทฤษฎีของ Model Reference Adaptive Control :MRAC ซึ่งเป็นระบบที่ประกอบด้วย การป้อนกลับปฐมภูมิ (primary feedback) ซึ่งคอยดูแลการเปลี่ยนแปลงสัญญาณของกระบวนการ และการป้อนกลับทุติยภูมิ (secondary feedback) ซึ่งเกี่ยวข้องกับ การเปลี่ยนแปลงพารามิเตอร์ของส่วนควบคุมจากนิยามนี้การป้อนกลับปฐมภูมิเป็นเช่นต้องการควบคุมที่ไม่สามารถปรับตัวได้โดยทั่วไป ในขณะที่การป้อนกลับทุติยภูมิจะทำให้เกิดสภาพที่สามารถปรับตัวได้ การควบคุมที่ปรับตัวได้ดังที่ได้นิยามข้างต้นต่างจากเทคนิค gain scheduling ตรงที่ gain scheduling ไม่ได้ใช้การป้อนกลับทุติยภูมิเป็นกลไกในการปรับพารามิเตอร์ แต่ใช้กลไกของการวัดสภาพแวดล้อมภายนอก ดังนั้น เทคนิค gain scheduling อาจไม่นับว่าเป็นการควบคุมที่ปรับตัวได้ จุดประสงค์ของการเปลี่ยนแปลงพารามิเตอร์ในการป้อนกลับทุติยภูมิคือต้องการรักษาสมรรถภาพ (performance) ให้สูง แม้ว่าพารามิเตอร์ของกระบวนการอาจไม่ทราบค่าหรือมีค่าที่เปลี่ยนแปลง

การควบคุมแบบปรับตัวเองตามโมเดลอ้างอิง หรือ Model Reference Adaptive Control: MRAC ถูกคิดขึ้นโดย Whitaker เมื่อปี ค.ศ. 1958 โดยการสร้างลูการควบคุมเพิ่มขึ้นมาเพื่อปรับค่าพารามิเตอร์ของตัวควบคุม ทำให้ผลตอบสนองของระบบเปลี่ยนตามโมเดลอ้างอิง

สิ่งสำคัญในการออกแบบ MRAC คือ กฎการปรับตัวและการพิสูจน์กฎการปรับตัวซึ่งในที่นี้จะใช้วิธีของ MIT โดยสมมุติว่ากระบวนการเป็นเชิงเส้นที่มีพารามิเตอร์ไม่ทราบค่าหรือแปรค่าตามเวลา และกระบวนการมีหนึ่งอินพุต หนึ่งเอาต์พุต และการควบคุมเป็นสเตทป้อนกลับและพารามิเตอร์ของตัวควบคุมที่จะปรับคือเกนที่ป้อนกลับ (feedback gain)

สำหรับงานวิจัยนี้จะออกแบบ MRAC ด้วยกฎของ MIT (MIT Rule) ซึ่งเริ่มจากการการคำนวณหาความแตกต่างของสัญญาณเอาต์พุตของกระบวนการจริงกับ โมเดลอ้างอิง

$$e = y_p - y_m \quad (1.1)$$

การปรับพารามิเตอร์ตัวควบคุมเพื่อลดความแตกต่างของสัญญาณเอาต์พุตของกระบวนการจริงกับโมเดลอ้างอิงด้วย Adjustment mechanism เป็นกฎของ MIT ซึ่งมีสมการพื้นฐานคือ

$$\frac{d\theta}{dt} = -\gamma e \frac{\partial e}{\partial \theta} \quad (1.2)$$

เมื่อ  $\theta$  คือพารามิเตอร์ของตัวควบคุม  $\partial e / \partial \theta$  ความไวของค่าผิดพลาดเมื่อเทียบกับ  $\theta$  และ  $\gamma$  ค่าเกนที่ใช้ในการปรับความเหมาะสม

## 1.5 การเปรียบเทียบระหว่างวิธีการที่นำเสนอกับวิธีการแบบพื้นฐาน

ในการศึกษาและวิจัยเกี่ยวกับกระบวนการระดับน้ำสองถังที่มีผลกระทบต่อกัน (Couple-Tank) นั้น ได้มีนักวิจัยหลายท่านที่ให้ความสนใจศึกษาและออกแบบตัวควบคุมเพื่อควบคุมกระบวนการดังกล่าว ซึ่งการวิจัยนี้จะนำไปเปรียบเทียบกับ งานวิจัยเรื่อง Design of 2-DOF PI Controller with Decoupling for Coupled-Tank Process ของ Arjin Numsomran Tianchai Suksri และ Maitree Thumma ซึ่งตีพิมพ์ใน International Conference on Control, Automation and Systems 2007, Oct. 17-20, 2007 in COEX, Seoul, Korea ซึ่งงานวิจัยดังกล่าวได้ใช้ทฤษฎีของดีคัปปลิ่งและเทคนิคการออกแบบตัวควบคุมด้วยทฤษฎีทางเดินของราก

## 1.6 ขอบเขตการวิจัย

ในวิทยานิพนธ์ฉบับนี้ได้นำเสนอวิธีการออกแบบตัวควบคุมพีไอด้วยเทคนิคของ Model Reference Adaptive และวิธีการคำนวณหาโมเดลอ้างอิงด้วยกฎของ MIT สำหรับควบคุมกระบวนการระดับน้ำสองถังที่มีผลกระทบต่อกัน และจะใช้ทฤษฎีของ Decoupling มาช่วยในการออกแบบตัวควบคุมเพื่อที่จะลดผลกระทบต่อกันของระดับน้ำทั้งสองถัง และเปรียบเทียบผลการทดลองระหว่างวิธีการออกแบบตัวควบคุมด้วยเทคนิค MRAC กับวิธีการออกแบบตัวควบคุมด้วยเทคนิคทางเดินของราก

## 1.7 ขั้นตอนของการศึกษา

วิทยานิพนธ์ฉบับนี้ได้แบ่งเนื้อหาออกเป็น 5 บทด้วยกันคือ

บทที่ 1 บทนำ กล่าวถึงความเป็นมาของงานวิจัย ความมุ่งหมายและวัตถุประสงค์ สมมติฐาน ทฤษฎีที่ใช้ ขอบเขตของการวิจัย และขั้นตอนการศึกษา

บทที่ 2 กระบวนการระดับน้ำสองถังที่มีผลต่อกัน (Coupled-Tank Process) ซึ่งจะกล่าวถึงองค์ประกอบทั้งหมดของกระบวนการ วิธีการหาสมการคุณลักษณะของกระบวนการ และโปรแกรมที่ใช้ในการทดลอง

บทที่ 3 ทฤษฎีที่เกี่ยวข้องกับงานวิจัย กล่าวถึงทฤษฎีทั้งหมดที่เกี่ยวข้องกับงานวิจัย ไม่ว่าจะเป็นทฤษฎีของดีคัปปลิ่ง ทฤษฎีตัวควบคุมแบบพีไอดี และทฤษฎีของโมเดลอ้างอิง

บทที่ 4 วิธีการออกแบบตัวควบคุม กล่าวถึงขั้นตอนและวิธีการออกแบบดีคัปปลิ่งและการออกแบบโมเดลอ้างอิง

บทที่ 5 การจำลองและการทดลอง กล่าวถึงขั้นตอนจำลองกระบวนการและวิธีการทดลองทั้งหมดและนำเสนอผลการทดลองที่ได้ทั้งหมด

บทที่ 6 สรุปผลการวิจัยและข้อเสนอแนะ สรุปปัญหาที่พบในงานวิจัยพร้อมทั้งเสนอแนะแนวทางแก้ปัญหาและแนวทางการพัฒนา

เอกสารนี้เป็นเอกสารที่สงวนไว้สำหรับการใช้งานเพื่อการศึกษาเท่านั้น ไม่อนุญาตให้นำไปใช้ประโยชน์ด้านการค้า ไม่ว่าจะกรณีใดๆ ทั้งสิ้น อีกทั้งห้ามมิให้ตัดแปลงเนื้อหา และต้องอ้างอิงถึงเจ้าของเอกสารทุกครั้งที่มีการนำไปใช้

## บทที่ 2

# กระบวนการระดับน้ำสองถังที่มีผลต่อกัน

### 2.1 กล่าวนำ

ในบทนี้กล่าวถึงองค์ประกอบต่างๆ ที่เกี่ยวข้องกับกระบวนการระดับน้ำสองถังที่มีผลต่อกันไม่ว่าจะเป็นตัวกระบวนการระดับน้ำสองถัง การ์ดแปลงสัญญาณ Analog to Digital และ Digital to Analog ที่ใช้ติดต่อระหว่างคอมพิวเตอร์กับกระบวนการ อุปกรณ์ตรวจวัดระดับน้ำ อุปกรณ์แปลงสัญญาณ และชุดควบคุมป้อน นอกจากนี้แล้วยังจะได้กล่าวถึงวิธีการหาสมการคุณลักษณะของกระบวนการ และโปรแกรมที่ใช้ในการทดลอง ซึ่งเนื้อหาในบทนี้จะ เป็นพื้นฐานในการเรียนรู้เกี่ยวกับกระบวนการระดับน้ำสองถังที่มีผลต่อกันรวมถึงการติดตั้งอุปกรณ์อีกด้วย

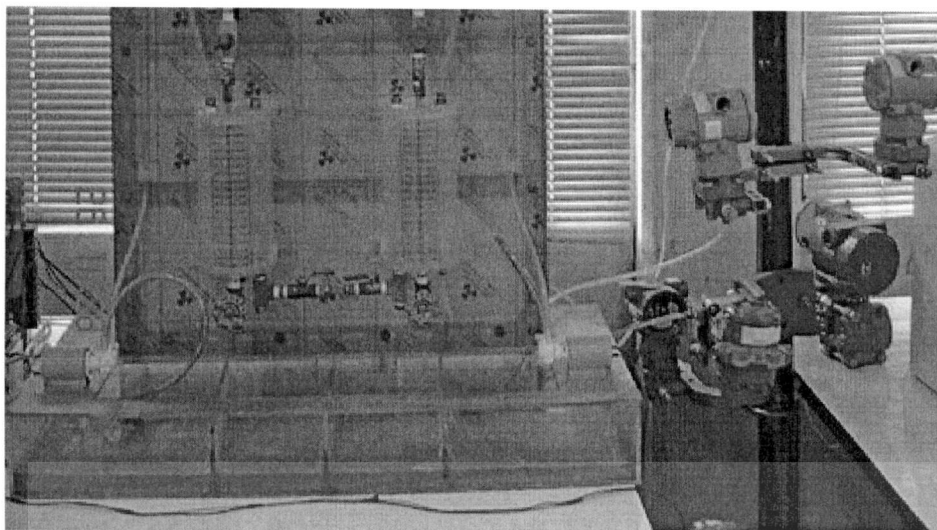
### 2.2 องค์ประกอบของกระบวนการ

สำหรับโครงสร้างของกระบวนการระดับน้ำสองถังที่มีผลต่อกันนั้นไม่ได้หมายความว่าเพียงแต่ถังบรรจุน้ำ อินพุต เอาต์พุต และวาล์วเท่านั้น แต่หมายความว่าส่วนประกอบอื่นๆ ที่นำมาประกอบรวมกันแล้วทำให้กระบวนการทำงานตามที่เรารต้องการได้ ซึ่งอุปกรณ์ที่นำมาประกอบกันจนกลายเป็นกระบวนการระดับน้ำสองถังที่มีผลต่อกันประกอบไปด้วย โครงสร้างของกระบวนการระดับน้ำ การ์ดแปลงสัญญาณ Analog to Digital และ Digital to Analog อุปกรณ์ตรวจวัดระดับน้ำ อุปกรณ์แปลงสัญญาณ ป้อนน้ำและชุดควบคุมป้อน ซึ่งรายละเอียดขององค์ประกอบแต่ละส่วนจะได้อธิบายดังต่อไปนี้

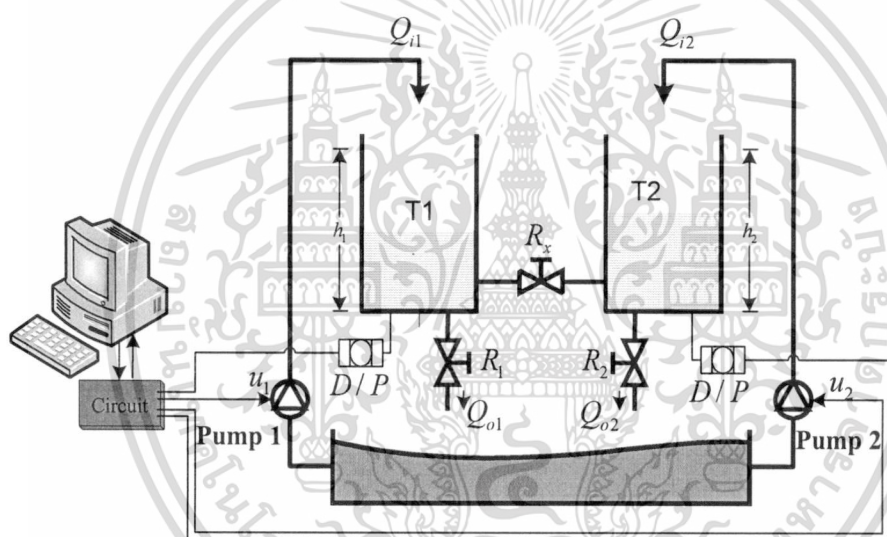
#### 2.2.1 โครงสร้างของกระบวนการระดับน้ำสองถังที่มีผลต่อกัน

พิจารณากระบวนการระดับน้ำสองถังแบบมีผลต่อกันในรูปที่ 2.1 ถ้ามองเฉพาะในส่วนของถังน้ำซึ่งจะประกอบไปด้วยถังน้ำสองใบติดตั้งในลักษณะวางคู่กัน โดยที่ถังน้ำทั้งสองมีขนาดเท่ากันในเชิงปริมาตร คือมีขนาดความจุ 66.25 ลูกบาศก์เซนติเมตร ( $cm^3$ ) ถังน้ำแต่ละใบจะมีอินพุตและเอาต์พุตของแต่ละถังซึ่งขนาดของท่อสำหรับน้ำไหลเข้าและไหลออกของถังทั้งสองใบมีขนาดเท่ากันคือ 0.1963 ( $cm^2$ ) และส่วนประกอบที่สำคัญที่สุดของกระบวนการก็คือท่อที่ต่อในลักษณะค้ำเปิดกันระหว่างถังน้ำทั้งสองซึ่งจะมีวาล์วที่ตรงกลางซึ่งการกวนกันของระดับน้ำของทั้งสองถังจะมากหรือน้อยก็ขึ้นอยู่กับปัจจัย 2 ประการคือ ความแตกต่างกันระหว่างระดับน้ำของถังสองถังยิ่งแตกต่างกันมากผลของการกวนกันก็จะมากตามไปด้วย และอีกหนึ่งปัจจัยก็คือค่าสัมประสิทธิ์การเปิดปิดวาล์ว คือถ้าวาล์วเปิดสูงสุด (ค่าสัมประสิทธิ์ในการเปิดมีค่าเท่ากับ 1) การกวนกันของระดับน้ำก็จะมาก แต่ถ้าวาล์วปิดสุด (ค่าสัมประสิทธิ์ในการเปิดมีค่าเท่ากับ 0) การกวนกันของระดับน้ำก็จะไม่เกิดขึ้น

เอกสารนี้เป็นเอกสารที่สงวนไว้สำหรับการใช้งานเพื่อการศึกษาเท่านั้น ไม่อนุญาตให้นำไปใช้ประโยชน์ด้านการค้าไม่ว่ากรณีใดๆ ทั้งสิ้น อีกทั้งห้ามมิให้ดัดแปลงเนื้อหา และต้องอ้างอิงถึงเจ้าของเอกสารทุกครั้งที่มีการนำไปใช้



(ก) กระบวนการจริง



(ข) ไดอะแกรมของกระบวนการ

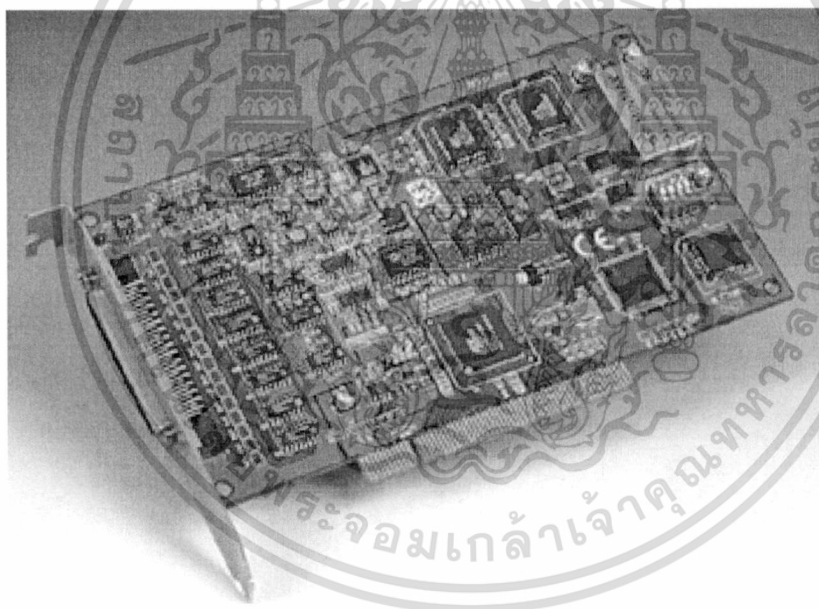
รูปที่ 2.1 กระบวนการระดับน้ำสองถังที่มีผลต่อกัน

จากรูปที่ 2.1 แสดงกระบวนการระดับน้ำสองถังที่มีผลต่อกัน (Coupled-Tank Process) ซึ่งเป็นกระบวนการแบบสองอินพุตสองเอาพุต (TITO) โดยที่อัตราการไหลเข้าของน้ำถังที่ 1 และถังที่ 2 คือ  $Q_{i1}$  และ  $Q_{i2}$  ตามลำดับ ระดับความสูงของน้ำถังที่ 1 คือ  $H_1$  และถังที่ 2 คือ  $H_2$  อัตราการไหลออกของน้ำถังที่ 1 และถังที่ 2 คือ  $Q_{o1}$  และ  $Q_{o2}$  อัตราการไหลเข้าของน้ำทั้งสองถังขึ้นอยู่กับอินพุต (แรงดันไฟฟ้า) ที่ป้อนให้กับปั๊มน้ำทั้งสองตัว ส่วนอัตราการไหลออกขึ้นอยู่กับวาล์ว  $R_1$  และวาล์ว  $R_2$  และผลกระทบทันทีที่มีต่อกันของระดับน้ำทั้งสองถังขึ้นอยู่กับค่าสัมประสิทธิ์การเปิดวาล์ว  $R_x$  ด้วยถ้าค่าเอกสารนี้เป็นเอกสารที่สงวนไว้สำหรับการใช้งานเพื่อการศึกษาเท่านั้น ไม่อนุญาตให้นำไปใช้ประโยชน์ด้านการค้า ไม่ว่ากรณีใดๆ ทั้งสิ้น อีกทั้งห้ามมิให้ดัดแปลงเนื้อหา และต้องอ้างอิงถึงเจ้าของเอกสารทุกครั้งที่มีการนำไปใช้

สัมประสิทธิ์ในการเปิดวาล์ว  $R_x$  มีค่าเป็น 0 (ปิดวาล์ว) เราจะได้กระบวนการแบบ SISO สองกระบวนการซึ่งเราสามารถออกแบบตัวควบคุมได้ง่าย ซึ่งเราจะนำเหตุผลดังกล่าวมาช่วยออกแบบตัวควบคุมสำหรับกระบวนการนี้ แต่การที่จะแยกจุดเชื่อมต่อออกจากกันก็ต้องการชดเชยกระบวนการด้วยเพื่อที่จะทำให้การออกแบบตัวควบคุมถูกต้อง

## 2.2.2 การ์ดแปลงสัญญาณ Analog to Digital และ Digital to Analog

เป็นที่รู้กันดีว่าในการติดต่อระหว่างคอมพิวเตอร์กับอุปกรณ์อาร์ตแวร์ภายนอกจำเป็นต้องมีอุปกรณ์ในการแปลงสัญญาณดิจิทัลไปเป็นสัญญาณอะนาล็อก (Digital to Analog: D/A) และแปลงจากสัญญาณอะนาล็อกไปเป็นสัญญาณดิจิทัล (Analog to Digital: A/D) ซึ่งในงานวิจัยนี้ได้ใช้การ์ดของบริษัท Advantech รุ่น PCI-1711 ซึ่งเป็นการ์ดที่สามารถต่อกับสล็อต PCI ของเครื่องคอมพิวเตอร์แบบตั้งโต๊ะได้ สาเหตุที่ใช้การรุ่นนี้เนื่องจากราคาไม่สูงมากนัก ติดตั้งและกำหนดค่าง่ายและที่สำคัญคือสามารถทำงานร่วมกับโปรแกรม MatLab คุณสมบัติเด่นๆ ของการ์ดรุ่นนี้อธิบายได้ดังนี้



รูปที่ 2.2 การ์ดแปลงสัญญาณ A/D และ D/A รุ่น PCI-1711

เอกสารนี้เป็นเอกสารที่สงวนไว้สำหรับการใช้งานเพื่อการศึกษาเท่านั้น ไม่อนุญาตให้นำไปใช้ประโยชน์ด้านการค้าไม่ว่ากรณีใดๆ ทั้งสิ้น อีกทั้งห้ามมิให้ตัดแปลงเนื้อหา และต้องอ้างอิงถึงเจ้าของเอกสารทุกครั้งที่มีการนำไปใช้

## คุณสมบัติของการ์ดแปลงสัญญาณ PCI-1711

### Analog Input

Channels:	16 Single-Ended
Resolution:	12-bit
On-board FIFO :	1K Samples
Conversion Time:	10 $\mu$ s
Input Range :	$\pm 10V$ , $\pm 5V$ , $\pm 2.5V$ , $\pm 1.25V$ , $\pm 0.625V$
Maximum Input Over Voltage :	$\pm 15V$
Maximum Sampling Rate:	100 kHz
DC Accuracy:	
INLE:	$\pm 0.5$ LSB
Monotonicity:	12 bits
Offset error:	Adjustable to Zero
Gain error:	0.005% FSR (Gain = 1)
AC Accuracy:	
SNR:	68 dB
ENOB:	11 bits
Input Protect:	30 Vp-p
Input Impedance:	2M ohm, 5pF
Trigger Mode:	Software, on-board Programmable Pacer or External

### Analog Output

Channels:	2
Resolution:	12-bit
Accuracy:	$\pm 1/2$ LSB
Gain error:	Adjustable to Zero
Throughput:	38 kHz (min.)
Slew Rate:	11 $V/\mu$ s
Drift:	40 ppm/ $^{\circ}$ C
Output Impedance:	0.81 Ohms

เอกสารนี้เป็นเอกสารที่สงวนไว้สำหรับการใช้งานเพื่อการศึกษาเท่านั้น ไม่อนุญาตให้นำไปใช้ประโยชน์ด้านการค้า  
ไม่ว่ากรณีใดๆ ทั้งสิ้น อีกทั้งห้ามมิให้ดัดแปลงเนื้อหา และต้องอ้างอิงถึงเจ้าของเอกสารทุกครั้งที่มีการนำไปใช้

Settling Time:	26 $\mu$ s (to $\pm 1/2$ LSB of FSR)
Output Range:	Software Programmable
Internal reference:	0 ~ 5 V and 0 ~ 10 V
External reference:	0 ~ +x V @ -x V ( $-10 \leq x \leq 10$ )
Driving Capability:	3 mA

### Digital Input

Channels:	16
Input voltage: Low:	0.8 V max.
High:	2.0 V min.

### Digital Output

Channels:	16
Output Voltage: Low:	0.8 V max. @ 8.0 mA (sink)
High:	2.0 V min. @ -0.4 mA (source)

### Programmable Timer/Counter

Channels:	1
Counters:	16 bits
Compatibility:	TTL level
Base Clock:	10 MHz
Max. Input Frequency:	10 MHz

### General

I/O Connector:	68-pin SCSI-II female connector
Operating Temperature:	32 to 140 °F (0 to 60 °C)
Storage Temperature:	-4 to 158 °F (-20 to 70 °C)
Humidity:	5 to 95% (RH non-condensing)
Power:	5 V @ 850 mA (typical) 5 V @ 1 A (max.)
Dimensions:	6.9 x 3.9 in (17.5 x 10 cm)
Compliances:	CE

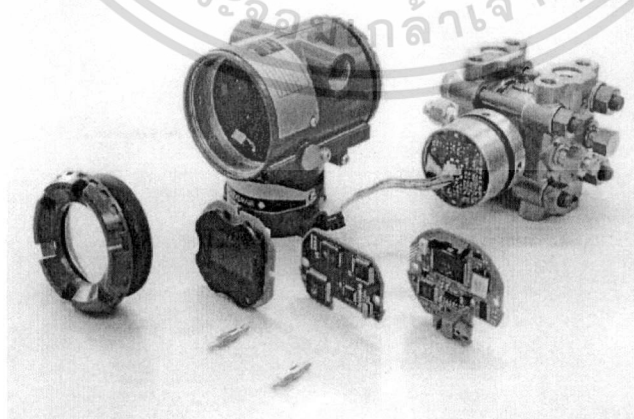
เอกสารนี้เป็นเอกสารที่สงวนไว้สำหรับการใช้งานเพื่อการศึกษาเท่านั้น ไม่อนุญาตให้นำไปใช้ประโยชน์ด้านการค้า  
ไม่ว่ากรณีใดๆ ทั้งสิ้น อีกทั้งห้ามมิให้ดัดแปลงเนื้อหา และต้องอ้างอิงถึงเจ้าของเอกสารทุกครั้งที่มีการนำไปใช้

A0	68	34	A1
A2	67	33	A3
A4	66	32	A5
A6	65	31	A7
A8	64	30	A9
A10	63	29	A11
A12	62	28	A13
A14	61	27	A15
AIGND	60	26	AIGND
*A00_REF	59	25	AOI_REF*
*A00_OUT	58	24	AOI_OUT*
*A0GND	57	23	A0GND*
DI0	56	22	DI1
DI2	55	21	DI3
DI4	54	20	DI5
DI6	53	19	DI7
DI8	52	18	DI9
DI10	51	17	DI11
DI12	50	16	DI13
DI14	49	15	DI15
DGND	48	14	DGND
DO0	47	13	DO1
DO2	46	12	DO3
DO4	45	11	DO5
DO6	44	10	DO7
DO8	43	9	DO9
DO10	42	8	DO11
DO12	41	7	DO13
DO14	40	6	DO15
DGND	39	5	DGND
CNT0_CLK	38	4	PACER_OUT
CNT0_OUT	37	3	TRG_GATE
CNT0_GATE	36	2	EXT_TRG
+12V	35	1	+5V

รูปที่ 2.3 รายละเอียดสัญญาณของแต่ละขา

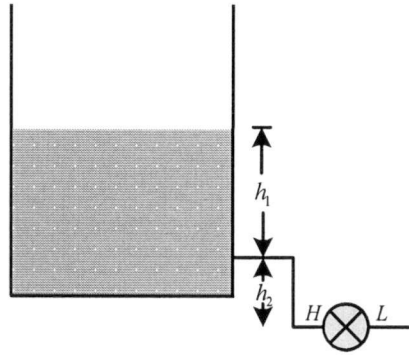
### 2.2.3 อุปกรณ์ตรวจวัดสัญญาณ (Sensor and Transducer)

การวัดระดับโดยวิธีวัดความดันแตกต่าง เป็นวิธีที่เลือกใช้ในการวัดระดับของกระบวนการระดับน้ำสองถังที่มีผลต่อกัน มีหลักการวัดเบื้องต้น ดังนี้



รูปที่ 2.4 ลักษณะของอุปกรณ์วัดความดันแตกต่าง

เอกสารนี้เป็นเอกสารที่สงวนไว้สำหรับการใช้งานเพื่อการศึกษาเท่านั้น ไม่อนุญาตให้นำไปใช้ประโยชน์ด้านการค้า ไม่ว่าจะกรณีใดๆ ทั้งสิ้น อีกทั้งห้ามมิให้ดัดแปลงเนื้อหา และต้องอ้างอิงถึงเจ้าของเอกสารทุกครั้งที่มีการนำไปใช้



รูปที่ 2.5 ลักษณะการต่อใช้งานของอุปกรณ์วัดความดันแตกต่างกับถังน้ำ

โดยทั่วไปแล้วการวัดระดับด้วยวิธีการวัดความดันแตกต่างเป็นวิธีที่แพร่หลายในวงการอุตสาหกรรมวิธีหนึ่ง ซึ่งอุปกรณ์วัดความดันแตกต่าง จะวัดระดับของของเหลวในถังโดยตรวจจับความดันที่สองจุดคือ ที่จุดความดันสูงในระดับก้นถัง และที่จุดความดันต่ำในระดับสูงสุดของถัง ความดันแตกต่างที่อุปกรณ์วัดความดันแตกต่างตรวจจับได้จะสัมพันธ์กับระดับความสูงของระดับของน้ำในถัง

การวัดระดับของเหลว ควรติดตั้งอุปกรณ์วัดความดันแตกต่างให้อยู่ต่ำกว่าก้นถัง เพื่อให้สามารถวัดได้ครอบคลุมตลอดช่วงการวัด ซึ่งในกรณีนี้เป็นการวัดระดับของน้ำในถังเปิด นั้นหมายถึงพื้นผิวเหนือของเหลวถูกเปิดสู่ความดันบรรยากาศ ดังนั้นความดันที่สัมพันธ์กับระดับของเหลวจะมีค่าเท่ากับ Hydrostatic Pressure หรือ Pressure Head ซึ่งเป็นความดันที่เกิดจากน้ำหนักของของเหลวในระดับนั้นๆ นั่นเอง

จากรูปที่ 2.5 เป็นกรณีการวัดระดับของน้ำในถัง โดยใช้อุปกรณ์วัดความแตกต่างเป็นตัวตรวจจับความสัมพันธ์ของความดันที่อุปกรณ์วัดความดันดิฟเฟอเรนเชียลตรวจจับได้กับ Hydrostatic Pressure หรือ Pressure Head และความดันบรรยากาศแสดงได้ดังสมการ 2.1 และสมการ 2.2

$$P_{high} = P_{head} + P_{atm} + P_{line} \quad (2.1)$$

$$P_{low} = P_{atm} + P_{line} \quad (2.2)$$

โดยกำหนดให้

$P_{high}$	คือ	ความดันที่ด้านความดันสูงของตัวอุปกรณ์วัดความดันแตกต่าง
$P_{low}$	คือ	ความดันที่ด้านความดันต่ำของตัวอุปกรณ์วัดความดันแตกต่าง
$P_{head}$	คือ	Hydrostatic Pressure หรือ Pressure Head ที่เกิดจากน้ำหนักของของเหลวในช่วงการวัด
$P_{atm}$	คือ	ความดันบรรยากาศ

เอกสารนี้เป็นเอกสารที่สงวนไว้สำหรับการใช้งานเพื่อการศึกษาเท่านั้น ไม่อนุญาตให้นำไปใช้ประโยชน์ด้านการค้า ไม่ว่าจะกรณีใดๆ ทั้งสิ้น อีกทั้งห้ามมิให้ดัดแปลงเนื้อหา และต้องอ้างอิงถึงเจ้าของเอกสารทุกครั้งที่มีการนำไปใช้

$P_{line}$  คือ ความดันที่เกิดจากของเหลวในสายยางจากกันถึงไปยังด้านความดันสูงของตัวอุปกรณ์วัดความดันแตกต่าง

ความสัมพันธ์ของ Hydrostatic Pressure หรือ Pressure Head กับความสูงของของเหลวในถัง แสดงได้ดังสมการ 2.2

$$\text{Hydrostatic Pressure} = P_{head} = h \times SG_m \quad (2.3)$$

โดยกำหนดให้

$P_{head}$  คือ ค่าความดัน Head ที่เกิดจากน้ำหนักของของเหลวในช่วงการวัด มีหน่วยเป็น มิลลิเมตรน้ำ

$h$  คือ ค่าความสูงของของของเหลว มีหน่วยเป็น มิลลิเมตร

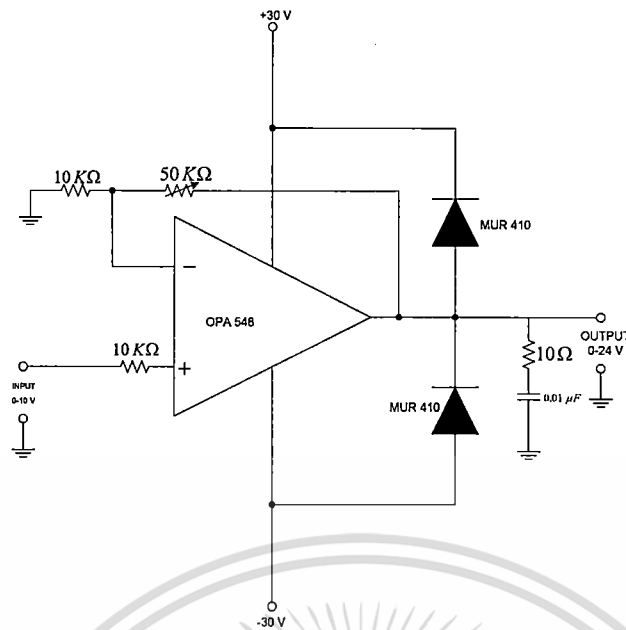
$SG_m$  คือ ค่าความถ่วงจำเพาะของสาร (ไม่มีหน่วย)

พิจารณาสมการที่ 2.3 ค่าความถ่วงจำเพาะของสารเป็นค่าคงที่ซึ่งเป็นคุณสมบัติประจำตัวของสาร เช่น น้ำ มีค่าความถ่วงจำเพาะ เป็น 1 ดังนั้น ความดันที่เกิดขึ้นจึงมีความสัมพันธ์โดยตรงกับความสูงของของเหลว นั่นคือ สมการที่ 2.3

$$h = \frac{P}{SG_m} \quad (2.4)$$

## 2.2.4 อุปกรณ์ควบคุมปั๊มน้ำ

วงจรขับเคลื่อนเป็นวงจรที่ถูกนำมาใช้ในการควบคุมการทำงานของปั๊มน้ำในงานวิจัยชิ้นนี้ เพื่อให้ปั๊มน้ำสามารถจ่ายน้ำตามสัญญาณควบคุมที่ได้รับมาจากตัวควบคุม ซึ่งวงจรขับเคลื่อนแสดงได้ดังรูปที่ 2.6

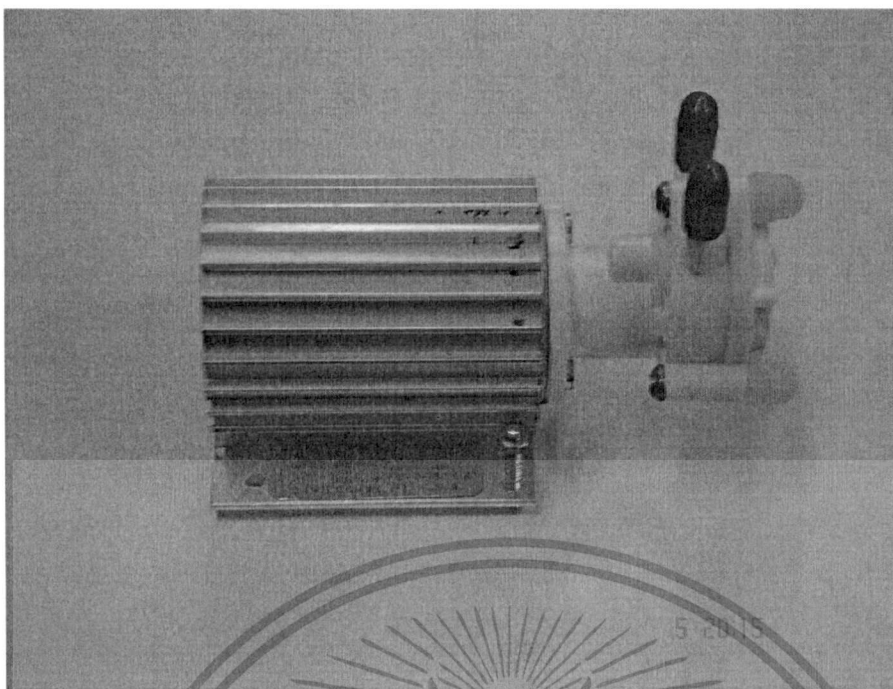


รูปที่ 2.6 ลักษณะของวงจรขับกระแส

จากรูปที่ 2.6 จะเห็นได้ว่าวงจรขับกระแสจะใช้ Op-Amp เพียงอย่างเดียวเท่านั้น โดย Op-Amp ที่ใช้เป็นเบอร์ OPA-548 ของบริษัท Burr-Brown ซึ่งเป็น Power Op-Amp ที่สามารถจ่ายกระแสได้สูงสุดถึง 10 A และสามารถทำงานในช่วงแรงดัน +60V หรือ  $\pm 30V$  ลักษณะของวงจรขับกระแสเป็นวงจรแบบเชิงเส้น โดยรับอินพุตขนาด 0-10 V จากการ์ด D/A และขยายสัญญาณแรงดันเอาต์พุตให้มีขนาด 0-24 V เพื่อจ่ายให้กับปั้มน้ำ วงจรขับกระแสที่ใช้ในวงจรนี้มี 2 ชุด เนื่องจากปั้มน้ำที่ใช้มี 2 ตัว

### 2.2.5 ปั้มน้ำ

ปั้มน้ำที่ใช้ในสายวิจัยนี้มี 2 ตัวสำหรับควบคุมระดับน้ำของถังทั้ง 2 ใบ ซึ่งเป็นปั้มน้ำของบริษัท API Instrument รุ่น P6 10.0006 เป็นปั้มแบบเกียร์ปั้ม ลักษณะของปั้มน้ำแสดงดังรูปที่ 2.7 และข้อมูลคุณสมบัติของปั้มแสดงดังตารางที่ 2.1



รูปที่ 2.7 แสดงลักษณะของปั้มน้ำ

ตาราง 2.1 คุณสมบัติของปั้มน้ำ

รายละเอียด	คุณสมบัติ
Max. Flow rate	2200 ml/min (Vdc)
Max. Suction	10 ft. H <sub>2</sub> O wet, 4" dry
Max. Pressure	20 psig (46 ft. H <sub>2</sub> O)
Port Size (OD)	4.8 mm (0.18") hose barb
Power Require (Vdc)	24 Vdc (up to 28 W)
Max. Operating Temp	93 oC (200 oF)
Ambient Fluid Temp	0 to 93 oC (32 to 200 oF)
Max. Viscosity	200 cps
Dimensions	88 x 81 x 92 mm (4 x 1.75 x 2.63)
Weight	1.4 kg (3 lb)

เอกสารนี้เป็นเอกสารที่สงวนไว้สำหรับการใช้งานเพื่อการศึกษาเท่านั้น ไม่อนุญาตให้นำไปใช้ประโยชน์ด้านการค้า  
ไม่ว่ากรณีใดๆ ทั้งสิ้น อีกทั้งห้ามมิให้ดัดแปลงเนื้อหา และต้องอ้างอิงถึงเจ้าของเอกสารทุกครั้งที่มีการนำไปใช้

### 2.3 การหาสมการคุณลักษณะของกระบวนการ

จากรูปที่ 2.1 เป็นรูปของกระบวนการระดับน้ำสองถังที่มีผลต่อกันซึ่งการจะออกแบบตัวควบคุมสำหรับควบคุมกระบวนการนั้นจำเป็นต้องหาแบบจำลองทางคณิตศาสตร์ของกระบวนการให้ได้ก่อนถึงจะนำแบบจำลองที่ได้นั้นไปออกแบบตัวควบคุมโดยทฤษฎีต่างๆ ต่อไป ซึ่งวิธีการหาแบบจำลองทางคณิตศาสตร์หรือเรียกอีกอย่างหนึ่งว่าการหาสมการคุณลักษณะของกระบวนการนั้นสามารถทำได้หลายวิธีด้วยกัน สำหรับในการวิจัยจะใช้การทฤษฎีกฎทรงมวลของเบอร์นูลลี (Bernoulli's Law) ซึ่งสามารถพิจารณาวิธีการหาสมการคุณลักษณะของกระบวนการระดับน้ำสองถังที่มีผลต่อกันจากพฤติกรรมการทำงานของแต่ละส่วน ดังจะอธิบายต่อไปนี้

สมการพื้นฐานที่สามารถอธิบายพฤติกรรมของระบบถังน้ำได้เป็นอย่างดี คือ สมการสมดุลมวล หรือ Mass Balance

$$\frac{dV(t)}{dt} = a \cdot \frac{dh(t)}{dt} = q_{in} - q_{out} \quad (2.5)$$

โดย  $V$  คือ ปริมาตรของน้ำในถัง

$h$  คือ ระดับน้ำในถัง

$q_{in}$  คือ อัตราการไหลเข้า

$q_{out}$  คือ อัตราการไหลออก

และจากกฎของเบอร์นูลลี (Bernoulli's Law) บอกว่า

$$p + \frac{1}{2} \rho v_w^2 + \rho gh = const \quad (2.6)$$

ณ ตำแหน่งผิวน้ำ ( $v_w = 0$ ) และ ณ ตำแหน่งก้นถัง ( $h = 0$ ) เราทราบว่าอัตราการไหลออกของน้ำในแต่ละถัง ณ ตำแหน่งวาล์วด้านออก จะมีค่าเท่ากับ

$$q_{out} = \beta_i \cdot a_i \cdot v_w = \beta_i \cdot a_i \cdot \sqrt{2g} \cdot \sqrt{h_i(t)} \quad (2.7)$$

โดย  $a_i$  คือ พื้นที่หน้าตัดของวาล์วด้านออกของถังน้ำ

$\beta_i$  คือ ค่าความต้านทานการไหลของวาล์วด้านออกของถัง

$v_w$  คือ ความเร็วการเคลื่อนที่ของน้ำ ณ ด้านออกของถังน้ำ

$h_i(t)$  คือ ระดับน้ำในถัง

$g$  คือ ค่าอัตราการเร่งอันเกิดจากแรงโน้มถ่วงของโลก

และปริมาณในกระบวนการสามารถถ่ายอัตราการไหลที่ค่าต่างๆ สัมพันธ์กับค่าแรงดันไฟฟ้าอินพุตที่

$$q_{pmp,j} = k_p \cdot u_j \quad (2.8)$$

โดย  $k_p$  อัตราขยายของปริมาณน้ำ  $\left(\frac{m^3}{\text{volt} \cdot \text{sec}}\right)$   
 $u_j$  แรงดันไฟฟ้า (โวลท์)

การวิเคราะห์พฤติกรรมของกระบวนการเพื่อหาความสัมพันธ์ของระดับน้ำ เอาต์พุตของระบบ  $h_1(t)$ ,  $h_2(t)$  และแรงดันไฟฟ้าอินพุตของระบบ  $u_1(t)$ ,  $u_2(t)$  ในรูปของ Transfer Matrix ของระบบ ดังต่อไปนี้

ใช้สมการสมดุลมวล กฎของเบอร์นูลลี (Bernoulli's Law) พิจารณาหาสมการดิฟเฟอเรนเชียลแบบไม่เป็นเชิงเส้นของกระบวนการระดับน้ำสองถังที่มีผลต่อกัน ดังนี้

พิจารณาจากถังที่ 1

$$\frac{dh_1(t)}{dt} = -\frac{\beta_1 a_1}{A} \sqrt{2gh_1(t)} - \frac{\beta_x a_x}{A} \operatorname{sgn}(h_1(t) - h_2(t)) \sqrt{2g|h_1(t) - h_2(t)|} + \frac{k_1}{A} u_1(t) \quad (2.9)$$

พิจารณาจากถังที่ 2

$$\frac{dh_2(t)}{dt} = -\frac{\beta_2 a_2}{A} \sqrt{2gh_2(t)} + \frac{\beta_x a_x}{A} \operatorname{sgn}(h_1(t) - h_2(t)) \sqrt{2g|h_1(t) - h_2(t)|} + \frac{k_2}{A} u_2(t) \quad (2.10)$$

โดยที่  $A$  คือ พื้นที่หน้าตัดของถัง ( $cm^2$ )  
 $a_1, a_2$  คือ พื้นที่หน้าตัดของรูทางออกของถังที่ 1 และ 2 ( $cm^2$ )  
 $a_x$  คือ พื้นที่หน้าตัดของรูทางออกระหว่างถังที่ 1 และ ถังที่ 2 ( $cm^2$ )  
 $h_1, h_2$  คือ ระดับน้ำในถังที่ 1 และ 2 ( $cm$ )  
 $u_1, u_2$  คือ แรงดันที่จ่ายให้กับปั๊มตัวที่ 1 และ 2; (Volt)  
 $\beta_1, \beta_2$  คือ ค่าความต้านทานการไหลของวาล์วที่ตำแหน่งทางออกของถังที่ 1 และ 2  
 $\beta_x$  คือ ค่าความต้านทานการไหลของวาล์วที่ตำแหน่งเชื่อมต่อบetween ถังที่ 1 และ 2  
 $g$  คือ ค่าอัตราการเร่งอันเกิดจากแรงโน้มถ่วงของโลก ( $cm/s^2$ )  
 $k_1, k_2$  คือ ค่าอัตราขยายของปริมาณน้ำ ( $cm^3/V \cdot s$ )

อัตราการไหลของน้ำที่ไหลเข้าถังที่ 1 จะเป็นสัดส่วนกับ  $k_{p1}, u_1(t)$  อัตราการไหลของน้ำที่ไหลเข้าถังที่ 2 จะเป็นสัดส่วนกับ  $k_{p2}, u_2(t)$  โดยการรบกวนกันของระบบอันเกิดจากความแตกต่างของระดับระหว่างถังทั้งสอง ส่งผลต่อระดับน้ำในถังและการควบคุมระดับน้ำในถัง สัญญาณอินพุตหรือเอกสารนี้เป็นเอกสารที่สงวนไว้สำหรับการใช้งานเพื่อการศึกษาเท่านั้น ไม่อนุญาตให้นำไปใช้ประโยชน์ด้านการค้า ไม่ว่ากรณีใดๆ ทั้งสิ้น อีกทั้งห้ามมิให้ดัดแปลงเนื้อหา และต้องอ้างอิงถึงเจ้าของเอกสารทุกครั้งที่มีการนำไปใช้

สัญญาณควบคุมที่ป้อนเข้าสู่กระบวนการคือ  $u_1(t), u_2(t)$  (ค่าสัญญาณแรงดันไฟฟ้าที่จ่ายให้กับปั้มน้ำ) และสัญญาณเอาต์พุตที่วัดจากกระบวนการคือระดับน้ำในถังที่ 1 และถังที่ 2  $h_1(t), h_2(t)$

เราสามารถแสดงความสัมพันธ์ระหว่างอินพุตและเอาต์พุตของกระบวนการในรูปของ Transfer Matrix  $G_{ij}(s)$  โดยที่อินพุตของกระบวนการแทนด้วยเวกเตอร์  $U = [U_1(s) \ U_2(s)]^T$  และเอาต์พุตของกระบวนการแทนด้วยเวกเตอร์  $H = [H_1(s) \ H_2(s)]^T$  จากสมการ 2.9 และสมการ 2.10 แสดงกระบวนการในรูปของฟังก์ชัน  $\dot{h} = f(h, u)$  โดยฟังก์ชัน  $f$  เป็นฟังก์ชันของตัวแปรระดับน้ำ  $h$  และค่าแรงดันไฟฟ้าที่จ่ายให้กับปั้มน้ำ  $u$  ซึ่งจะเห็นได้ว่าสมการประกอบไปด้วยพจน์รากกำลังสองของตัวแปร  $h_i(t)$  ดังนั้นฟังก์ชัน  $f(h, u)$  จึงเป็นฟังก์ชันแบบไม่เป็นเชิงเส้น

$$\begin{bmatrix} H_1(s) \\ H_2(s) \end{bmatrix} = \begin{bmatrix} G_{11}(s) & G_{12}(s) \\ G_{21}(s) & G_{22}(s) \end{bmatrix} \begin{bmatrix} U_1(s) \\ U_2(s) \end{bmatrix} \quad (2.11)$$

ในกรณีที่เราต้องการวิเคราะห์สมการของกระบวนการด้วยวิธีทางพีชคณิตแบบเชิงเส้น จำเป็นจะต้องทำการปรับความเป็นเชิงเส้นของฟังก์ชันดังกล่าวให้อยู่ในสถานะคงตัว Steady State  $(\bar{h}, \bar{u})$  ซึ่งในสถานะ Steady State ค่าของฟังก์ชันมีค่าเท่ากับศูนย์  $\dot{h} = f(\bar{h}, \bar{u}) = 0$  โดยจะทำการจัดรูปฟังก์ชัน  $\dot{h} = f(h, u)$  ให้อยู่ในรูปแบบของอนุกรมเทเลอร์ ดังนี้

$$y_1 = \frac{dh_1(t)}{dt} \approx f(\bar{h}_1, \bar{h}_2, \bar{u}_1) + \left. \frac{\partial f(h_1, h_2, u_1)}{\partial h_1} \right|_{h_1=\bar{h}_1} \cdot (h_1(t) - \bar{h}_1) + \left. \frac{\partial f(h_1, h_2, u_1)}{\partial h_2} \right|_{h_2=\bar{h}_2} \cdot (h_2(t) - \bar{h}_2) + \left. \frac{\partial f(h_1, h_2, u_1)}{\partial u_1} \right|_{u_1=\bar{u}_1} \cdot (u_1(t) - \bar{u}_1) \quad (2.12)$$

$$y_2 = \frac{dh_2(t)}{dt} \approx f(\bar{h}_1, \bar{h}_2, \bar{u}_2) + \left. \frac{\partial f(h_1, h_2, u_2)}{\partial h_1} \right|_{h_1=\bar{h}_1} \cdot (h_1(t) - \bar{h}_1) + \left. \frac{\partial f(h_1, h_2, u_2)}{\partial h_2} \right|_{h_2=\bar{h}_2} \cdot (h_2(t) - \bar{h}_2) + \left. \frac{\partial f(h_1, h_2, u_2)}{\partial u_2} \right|_{u_2=\bar{u}_2} \cdot (u_2(t) - \bar{u}_2) \quad (2.13)$$

จากการกระจายสมการในรูปของอนุกรมเทเลอร์ในสมการที่ 2.7 จะได้ดังสมการของกระบวนการระดับน้ำสองถังแบบมีผลต่อกันแบบเชิงเส้นดังสมการที่ 2.14 และสมการ 2.15

$$\frac{dH_1(t)}{dt} = -\frac{1}{T_1} H_1(t) - \frac{1}{T_x} [H_1(t) - H_2(t)] + \frac{k_{p1}}{A} U_1(t) \quad (2.14)$$

$$\frac{dH_2(t)}{dt} = -\frac{1}{T_2} H_2(t) + \frac{1}{T_x} [H_1(t) - H_2(t)] + \frac{k_{p2}}{A} U_2(t) \quad (2.15)$$

โดยที่  $H_i(t) = h_i(t) - \bar{h}_i$  คือ ตัวแปรแสดงความเบี่ยงเบนของระดับน้ำจากค่าที่สถานะ Steady State

เอกสารนี้เป็นเอกสารที่สงวนไว้สำหรับการใช้งานเพื่อการศึกษาเท่านั้น ไม่อนุญาตให้นำไปใช้ประโยชน์ด้านการค้า ไม่ว่าจะกรณีใดๆ ทั้งสิ้น อีกทั้งห้ามมิให้ตัดต่อเอกสาร และต้องอ้างอิงถึงเจ้าของเอกสารทุกครั้งที่มีการนำไปใช้

$U_j(t) = u_j(t) - \bar{u}_j$  คือ เป็นตัวแปรแสดงความเบี่ยงเบนของแรงดันไฟฟ้าอินพุตจากค่าที่สภาวะ

Steady State

เมื่อกำหนดให้

$$T_1 = \frac{A}{\beta_1 a_1} \sqrt{\frac{2h_1}{g}} \quad T_2 = \frac{A}{\beta_2 a_2} \sqrt{\frac{2h_2}{g}} \quad T_x = \frac{A}{\beta_x a_x} \sqrt{\frac{2|h_1 - h_2|}{g}} \quad (2.16)$$

$\bar{h}_1$  และ  $\bar{h}_2$  คือระดับน้ำ ณ จุดทำงานของกระบวนการ,  $T_1$  คือค่าคงตัวของถังที่ 1,  $T_2$  คือค่าคงตัวของถังที่ 2,  $T_x$  คือค่าคงตัวเวลาระหว่างถังที่ 1 และถังที่ 2

เมื่อทำการแปลงลาปลาซและจัดรูประบบสมการเชิงเส้นของกระบวนการระดับน้ำที่ถึงจะสามารถแสดงกระบวนการในรูปของทรานเฟอร์เมทริกซ์ ดังนี้

$$\begin{bmatrix} H_1(s) \\ H_2(s) \end{bmatrix} = \begin{bmatrix} G_{11}(s) & G_{12}(s) \\ G_{21}(s) & G_{22}(s) \end{bmatrix} \begin{bmatrix} U_1(s) \\ U_2(s) \end{bmatrix} \quad (2.17)$$

เมื่อสมาชิกของเมทริกซ์  $G_{ij}(s)$  มีค่าดังต่อไปนี้

$$G_{11}(s) = \frac{\frac{k_1}{A} \left( s + \frac{(T_x + T_2)}{T_2 T_x} \right)}{s^2 + \left( \frac{T_1 T_x + T_2 T_x + 2T_1 T_2}{T_1 T_2 T_x} \right) s + \left( \frac{1}{T_1 T_2} + \frac{1}{T_1 T_x} + \frac{1}{T_2 T_x} \right)} \quad (2.18)$$

$$G_{12}(s) = \frac{\frac{k_2}{A} \cdot \frac{1}{T_x}}{s^2 + \left( \frac{T_1 T_x + T_2 T_x + 2T_1 T_2}{T_1 T_2 T_x} \right) s + \left( \frac{1}{T_1 T_2} + \frac{1}{T_1 T_x} + \frac{1}{T_2 T_x} \right)} \quad (2.19)$$

$$G_{21}(s) = \frac{\frac{k_1}{A} \cdot \frac{1}{T_x}}{s^2 + \left( \frac{T_1 T_x + T_2 T_x + 2T_1 T_2}{T_1 T_2 T_x} \right) s + \left( \frac{1}{T_1 T_2} + \frac{1}{T_1 T_x} + \frac{1}{T_2 T_x} \right)} \quad (2.20)$$

$$G_{22}(s) = \frac{\frac{k_2}{A} \left( s + \frac{(T_x + T_1)}{T_1 T_x} \right)}{s^2 + \left( \frac{T_1 T_x + T_2 T_x + 2T_1 T_2}{T_1 T_2 T_x} \right) s + \left( \frac{1}{T_1 T_2} + \frac{1}{T_1 T_x} + \frac{1}{T_2 T_x} \right)} \quad (2.21)$$

แทนค่าสมาชิกของเมทริกซ์  $G_{ij}(s)$  ลงในสมการ 2.22 จะได้

เอกสารนี้เป็นเอกสารที่สงวนไว้สำหรับการใช้งานเพื่อการศึกษาเท่านั้น ไม่อนุญาตให้นำไปใช้ประโยชน์ด้านการค้า  
ไม่ว่ากรณีใดๆ ทั้งสิ้น อีกทั้งห้ามมิให้ดัดแปลงเนื้อหา และต้องอ้างอิงถึงเจ้าของเอกสารทุกครั้งที่มีการนำไปใช้

$$\begin{bmatrix} G_{11}(s) & G_{12}(s) \\ G_{21}(s) & G_{22}(s) \end{bmatrix} = \begin{bmatrix} \frac{k_1 \left( s + \frac{(T_x + T_2)}{T_2 T_x} \right)}{s^2 + \left( \frac{T_1 T_x + T_2 T_x + 2T_1 T_2}{T_1 T_2 T_x} \right) s + \left( \frac{1}{T_1 T_2} + \frac{1}{T_1 T_x} + \frac{1}{T_2 T_x} \right)} & \frac{\frac{k_2 \cdot 1}{A T_x}}{s^2 + \left( \frac{T_1 T_x + T_2 T_x + 2T_1 T_2}{T_1 T_2 T_x} \right) s + \left( \frac{1}{T_1 T_2} + \frac{1}{T_1 T_x} + \frac{1}{T_2 T_x} \right)} \\ \frac{\frac{k_1 \cdot 1}{A T_x}}{s^2 + \left( \frac{T_1 T_x + T_2 T_x + 2T_1 T_2}{T_1 T_2 T_x} \right) s + \left( \frac{1}{T_1 T_2} + \frac{1}{T_1 T_x} + \frac{1}{T_2 T_x} \right)} & \frac{\frac{k_2 \left( s + \frac{(T_x + T_1)}{T_1 T_x} \right)}{A}}{s^2 + \left( \frac{T_1 T_x + T_2 T_x + 2T_1 T_2}{T_1 T_2 T_x} \right) s + \left( \frac{1}{T_1 T_2} + \frac{1}{T_1 T_x} + \frac{1}{T_2 T_x} \right)} \end{bmatrix} \quad (2.22)$$

โดยกำหนดให้

- $A$  คือ พื้นที่หน้าตัดของถัง ( $cm^2$ )
- $a_1, a_2$  คือ พื้นที่หน้าตัดของรูทางออกของถังที่ 1 และถังที่ 2 ( $cm^2$ )
- $a_x$  คือ พื้นที่หน้าตัดของรูที่เชื่อมต่อระหว่างถังที่ 1 และถังที่ 2 ( $cm^2$ )
- $\beta_1, \beta_2$  คือ ค่าสัมประสิทธิ์การเปิดวาล์วที่ต่อทางด้านออกของถังที่ 1 และถังที่ 2
- $\beta_x$  คือ ค่าสัมประสิทธิ์การเปิดวาล์วที่ต่อระหว่างถังที่ 1 และถังที่ 2
- $g$  คือ แรงโน้มถ่วงของโลก ( $cm / s^2$ )
- $k_1, k_2$  คือ ค่าอัตราขยายของปั๊ม น้ำ ( $cm^3 / V \cdot s$ )

สมการที่ 2.17 นี้เป็นฟังก์ชันถ่ายโอนของกระบวนการที่ใช้ในการออกแบบตัวควบคุม ตัวแปรเอาต์พุตคือระดับน้ำในถังที่ 1 และ 2  $h_1(t), h_2(t)$  ตัวแปรอินพุตคือค่าระดับแรงดันไฟฟ้าที่จ่ายให้กับปั๊มน้ำ ณ ถังที่ 1 และถังที่ 2 เป็นกระบวนการแบบสองอินพุต สองเอาต์พุต  $u_1(t), u_2(t)$  และมีการ Cross Coupling กันระหว่างอินพุตและเอาต์พุตทั้งสอง

## 2.4 โปรแกรมที่ใช้ในการทดลองวิจัย

สำหรับโปรแกรมที่ใช้ในงานวิจัยนี้คือ โปรแกรม MatLab ซึ่งสามารถใช้ควบคุมได้เป็นกระบวนการได้อย่างดี อีกทั้งยังสามารถทำงานร่วมกับการ์ด A/D และ D/A ของบริษัท Advantech รุ่น PCI-1711 ได้ โปรแกรม Matlab จะถูกใช้ในการจำลองกระบวนการ สำหรับเครื่องมือหรือโปรแกรมย่อยของโปรแกรม MatLab นั้นมีอยู่มาก ผู้วิจัยจึงขออธิบายถึงส่วนประกอบของโปรแกรมที่ใช้เฉพาะในงานวิจัยนี้เท่านั้น ซึ่งรายละเอียดแสดงได้ดังต่อไปนี้

เอกสารนี้เป็นเอกสารที่สงวนไว้สำหรับการใช้งานเพื่อการศึกษาเท่านั้น ไม่อนุญาตให้นำไปใช้ประโยชน์ด้านการค้า ไม่ว่าจะกรณีใดๆ ทั้งสิ้น อีกทั้งห้ามมิให้ดัดแปลงเนื้อหา และต้องอ้างอิงถึงเจ้าของเอกสารทุกครั้งที่มีการนำไปใช้

### 2.4.1 โปรแกรม Simulink

Simulink เป็นโปรแกรมที่เป็นส่วนที่เพิ่มเติมเข้ามาในโปรแกรม MATLAB ซึ่งเป็นโปรแกรมที่พัฒนาโดยบริษัท Mathworks โดยเป็นโปรแกรมที่มีความสามารถในการแก้ปัญหาทางคณิตศาสตร์ที่มีประสิทธิภาพสูง ในส่วนของ Simulink นั้นเป็นเครื่องมือที่ใช้ในการเขียนโปรแกรมเพื่อหาคำตอบของสมการทางคณิตศาสตร์โดยใช้ลักษณะการโปรแกรมในรูปแบบของ Block Diagram เป็นหลัก โดยเฉพาะอย่างยิ่งระบบสมการเชิงอนุพันธ์ซึ่งมักจะพบปัญหาในการหา Closed Form Solution หรือการหาคำตอบเมื่อเทียบกับเวลาในช่วงเวลาใดๆ และเนื่องจากระบบทางวิศวกรรมโดยส่วนใหญ่จะสามารถอธิบายด้วยระบบสมการเชิงอนุพันธ์ เช่นกันดังนั้น Simulink จะเข้ามามีบทบาทในการทำให้การจำลองการตอบสนองของระบบมีความสะดวกมากยิ่งขึ้น

สำหรับองค์ประกอบของโปรแกรมนั้นไม่ว่าจะเป็นวงจรทางตรรกศาสตร์ไปจนถึง ระบบควบคุมสำหรับระบบพลศาสตร์ที่ซับซ้อนจะสามารถสร้างแบบจำลองได้โดยอาศัยเพียง Building Blocks พื้นฐานที่มีมาให้จาก Simulink Libraries นอกเหนือจากนั้นยังมีเครื่องมือใน ส่วนอื่นๆ ที่ในปัจจุบันได้เพิ่มเติมเข้ามาเพื่อให้การใช้งานมีประสิทธิภาพมากยิ่งขึ้น เช่น Fuzzy Logic Toolbox, Neural Network Toolbox, Digital Signal Processing (DSP) Toolbox หรือ อื่นๆ ซึ่งในปัจจุบันพบว่าเครื่องมือต่างๆ ที่มีให้ สามารถทำให้การจำลองหรือวิเคราะห์การทำงานของ ระบบสามารถทำได้ตั้งแต่ระบบที่มีความง่าย จนถึงระบบที่มีความซับซ้อนอย่างมากโดยไม่ต้อง มีการเขียนโปรแกรมเพิ่มเติมแต่อย่างใด

### 2.4.2 การจำลองระบบพลศาสตร์ (Dynamic System Simulation) ด้วยโปรแกรม Simulink

ในปัจจุบันคอมพิวเตอร์ได้เข้ามามีส่วนช่วยทำให้การแก้ปัญหาทางวิศวกรรมได้ใช้ประโยชน์จากคณิตศาสตร์อย่างเต็มรูปแบบในการจำลองระบบทางพลศาสตร์ใดๆ โดยไม่ต้องอาศัยการศึกษาหรือทดลองจากระบบทางกายภาพจริงโดยการจำลองการทำงานของระบบพลศาสตร์(Dynamic System Simulation) ดังกล่าวนั้นได้รับการพิสูจน์แล้วว่ามีความเหมาะสมอย่างยิ่งมหาศาลในการทำงานทางวิศวกรรม โดยเฉพาะอย่างยิ่งในงานทางด้านการออกแบบระบบ (System Design) และงานการออกแบบระบบควบคุม (Controller System Design) ทั้งนี้เนื่องจากการจำลองปัญหาช่วยประหยัดทั้งงบประมาณและเวลา (Prototype) ของระบบทางกายภาพที่สนใจซึ่งในอดีตจะต้องสูญเสียให้กับการสร้างระบบต้นแบบ

### 2.4.3 หลักการของสัญญาณและการไหลของตรรก (Signal and Logic Flow)

ในโปรแกรม Simulink นั้นการจำลองปัญหาจะอาศัยการสร้างแผนภูมิ (Simulation Diagram) เพื่อการกำเนิด การรับ หรือส่งผ่านสัญญาณ หรือข้อมูลที่ต้องการทราบ ในแผนภูมิที่ถูกสร้างขึ้นข้อมูลจากบล็อคนั้นๆ จะถูกส่งผ่านไปสู่อีกบล็อกหนึ่ง โดยเส้นสัญญาณที่เชื่อมต่อระหว่าง บล็อกนั้นๆ สัญญาณสามารถที่จะถูกสร้างและส่งไปสู่อีกบล็อกหนึ่ง ทั้งแบบสถิตย์และแบบแปรผันข้อมูลสามารถป้อนให้แก่ฟังก์ชันเพื่อการกระทำทางตรรกศาสตร์หรือทางคณิตศาสตร์ ข้อมูลสามารถที่จะถูกส่งไปสู่แหล่งที่ข้อมูล (Sink) ซึ่งสามารถที่จะแสดงให้เห็นในลักษณะของ Oscilloscope หรือ Display หรือเอกสารนี้เป็นเอกสารที่สงวนไว้สำหรับการใช้งานเพื่อการศึกษาเท่านั้น ไม่อนุญาตให้นำไปใช้ประโยชน์ด้านการค้า

ไม่ว่ากรณีใดๆ ทั้งสิ้น อีกทั้งห้ามมิให้ดัดแปลงเนื้อหา และต้องอ้างอิงถึงเจ้าของเอกสารทุกครั้งที่มีการนำไปใช้

แม้กระทั่งเก็บในรูปของไฟล์ (Save to Files) สิ่งที่ต้องพึงระวังในการจำลองปัญหานั้น ข้อมูลต่างๆ จะถูกดำเนินการ รับและส่ง ในลักษณะเป็นช่วงเวลา (Discrete Times) เท่านั้น ดังนั้น Step Time หรือ Simulation Time Step หรือ Integration Time Step ที่กำหนดเพื่อการจำลองปัญหานั้นจะเป็น ส่วนที่สำคัญอย่างยิ่งโดยการเลือกใช้ Step Time ที่เหมาะสมจะถูกกำหนดโดยระบบย่อยที่มีการ ตอบสนองเร็วที่สุดในแผนภูมิที่กำหนดขึ้น



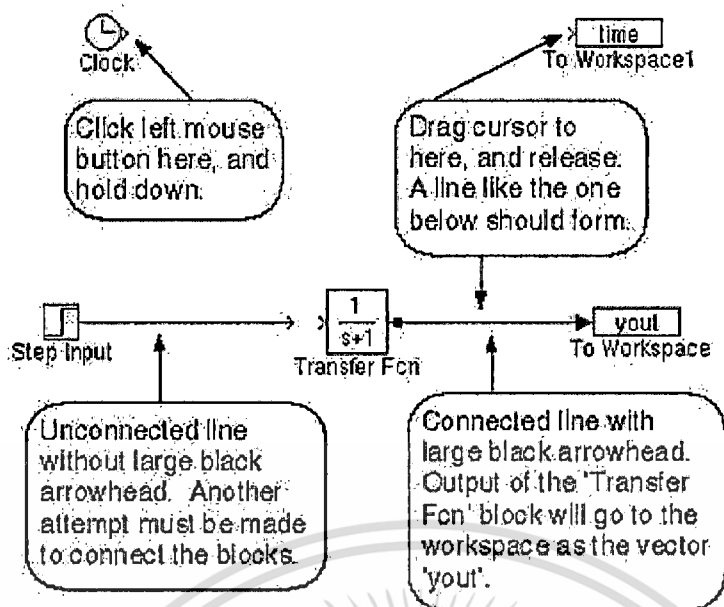
รูปที่ 2.8 .ลักษณะของโปรแกรม Simulink

ลักษณะการเขียนโปรแกรมด้วย Simulink จะเป็นลักษณะการเขียนโปรแกรมโดยใช้บล็อกไดอะแกรมของฟังก์ชันต่างๆ ซึ่งสิ่งสำคัญที่ควรระวังสำหรับการเขียนโปรแกรมในลักษณะนี้คือการกำหนดคุณสมบัติให้กับแต่ละบล็อกนั้นจะต้องถูกต้องไม่เช่นนั้นจะไม่สามารถรันโปรแกรมได้

#### 2.4.4 การเชื่อมต่อบล็อก

ในการเชื่อมต่อบล็อกบน Simulation Diagram นั้น ให้กดเมาส์ปุ่มซ้ายที่ Output ของ บล็อกหนึ่งแล้วค้างปุ่มเอาไว้โดยเคอร์เซอร์ของเมาส์จะเปลี่ยนรูปเป็นเครื่องหมายบวก หลังจาก นั้นลาก (Drag) เมาส์ (จะเห็นเส้นประเกิดขึ้นและวิ่งตามเครื่องหมายบวกดังกล่าว) จากบล็อกหนึ่ง ไปสู่ Input ของบล็อกที่ต้องการจะเชื่อมต่อ เมื่อปล่อยเมาส์ปุ่มซ้ายที่ Input ของอีกบล็อกหนึ่งแล้วเส้นประจะเปลี่ยนเป็นเส้นทึบแสดงถึงการเชื่อมต่อกันของบล็อกทั้งสอง รูปที่ 2.9 แสดงตัวอย่างการ เชื่อมต่อกันของบล็อก

เอกสารนี้เป็นเอกสารที่สงวนไว้สำหรับการใช้งานเพื่อการศึกษาเท่านั้น ไม่อนุญาตให้นำไปใช้ประโยชน์ด้านการค้า ไม่ว่ากรณีใดๆ ทั้งสิ้น อีกทั้งห้ามมิให้ดัดแปลงเนื้อหา และต้องอ้างอิงถึงเจ้าของเอกสารทุกครั้งที่มีการนำไปใช้



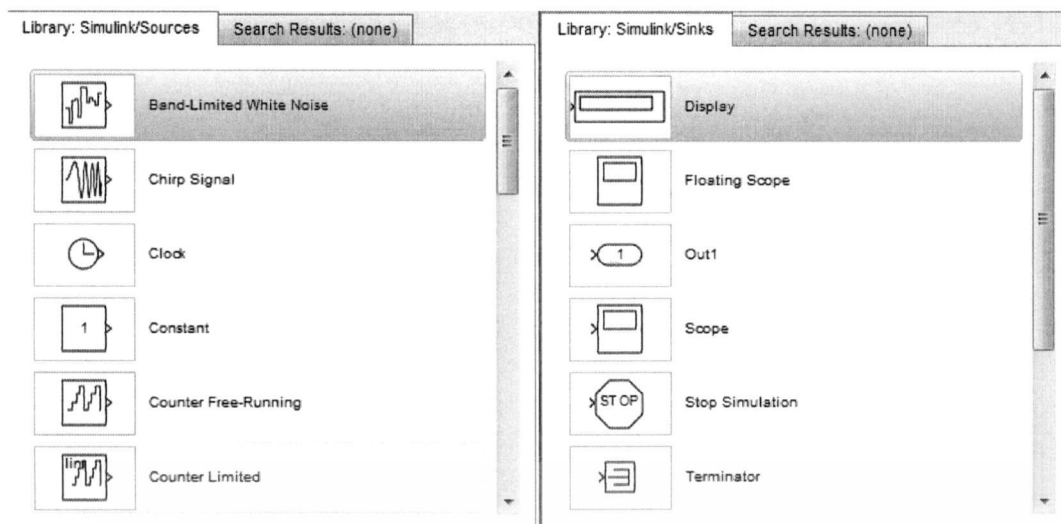
รูปที่ 2.9 แสดงตัวอย่างการเชื่อมต่อกันของบล็อก

#### 2.4.5 กลุ่มของบล็อกที่ใช้งานบ่อยในเบื้องต้น

- แหล่งกำเนิดสัญญาณ (Sources) และแหล่งทิ้งสัญญาณ (Sinks)

กลุ่มบล็อกแหล่งกำเนิดสัญญาณ (Sources) ที่กำหนดมาให้ประกอบด้วยแหล่งกำเนิดข้อมูลหรือสัญญาณ ที่มักใช้บ่อยในการวิเคราะห์ระบบทางพลศาสตร์ เช่น แหล่งกำเนิดค่าคงที่ (Constant) แหล่งกำเนิดสัญญาณคลื่นไซน์ (Sinusoidal Wave) แหล่งกำเนิดสัญญาณแบบ Step หรืออื่นๆ นอกจากนี้ยังมีแหล่งกำเนิดสัญญาณที่ทำหน้าที่เสมือน Signal Generator รูปที่ใช้ในการทดลองทางวิศวกรรมอื่นๆ หรือแหล่งกำเนิดสัญญาณนาฬิกา (Clock) ที่มักจะใช้บ่อยเพื่อ จับเวลาของการจำลอง ปัญหา หรืออื่นๆ กลุ่มบล็อกแหล่งทิ้งสัญญาณ (Sinks) เป็นกลุ่มบล็อกที่มักจะใช้ในการเก็บสัญญาณที่ต้องการมากกว่าการทิ้งสัญญาณอย่างที่ตั้งใจกำหนด โดยทั่วไปแล้วบล็อกที่จะใช้บ่อยคือบล็อกของ Scope ประเภทต่างๆ เพื่อตรวจสอบลักษณะการเปลี่ยนแปลงของสัญญาณในจุดใดๆ ของระบบที่กำลังถูกจำลอง ในขณะที่กำลังทำการจำลอง หรือบล็อกที่เก็บสัญญาณ (To Workspace) เพื่อใช้ในการดำเนินการอื่นๆ ที่พื้นที่ทำงานของ MATLAB รูปที่ 2.10 แสดงบล็อกต่างๆ ของทั้งแหล่งกำเนิด และแหล่งสัญญาณของ Simulink V.7.6

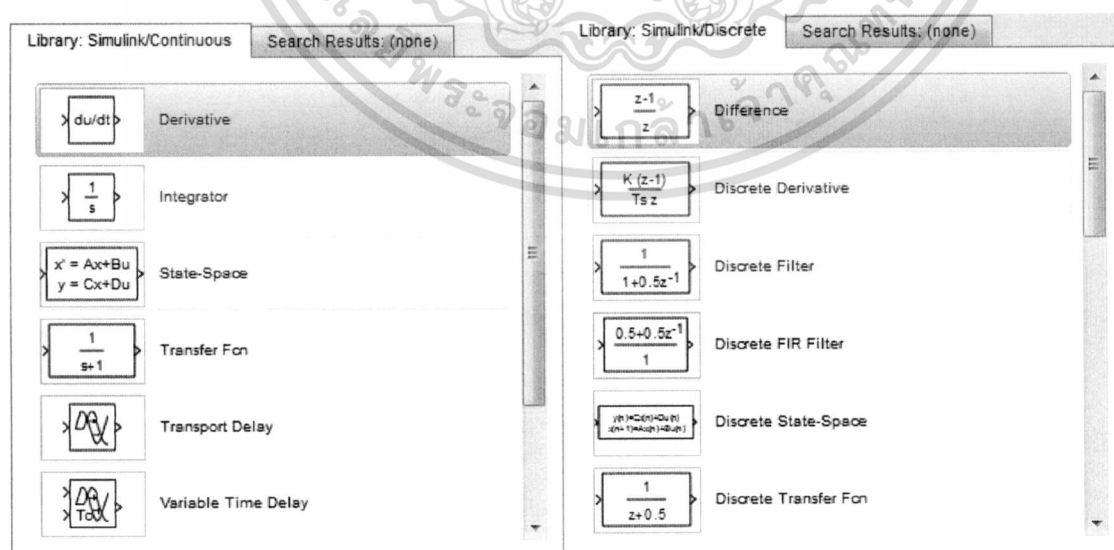
เอกสารนี้เป็นเอกสารที่สงวนไว้สำหรับการใช้งานเพื่อการศึกษาเท่านั้น ไม่อนุญาตให้นำไปใช้ประโยชน์ด้านการค้า  
ไม่ว่ากรณีใดๆ ทั้งสิ้น อีกทั้งห้ามมิให้ดัดแปลงเนื้อหา และต้องอ้างอิงถึงเจ้าของเอกสารทุกครั้งที่มีการนำไปใช้



รูปที่ 2.10 แสดงบล็อกต่างๆ ของแหล่งกำเนิดสัญญาณ (Sources) และแหล่งสัญญาณ (Sinks)

- ระบบต่อเนื่อง (Continuous) และระบบไม่ต่อเนื่อง (Discrete)

กลุ่มบล็อกของระบบต่อเนื่อง (Continuous System) หรือระบบไม่ต่อเนื่อง (Discrete System) เป็นอีกกลุ่มหนึ่งที่มีการใช้ในการจำลองปัญหาของระบบพลศาสตร์ทุกระบบ สามารถที่จะถูกวิเคราะห์ในลักษณะของระบบต่อเนื่อง (Continuous System) หรือระบบไม่ต่อเนื่อง (Discrete System) ซึ่งไม่ว่าระบบจะถูกจำลองในลักษณะใด โปรแกรม Simulink นั้นสามารถตอบสนองต่อลักษณะรูปแบบของระบบได้ในหลายลักษณะ เช่น Transfer Function หรือ Integration Blocks หรือ Delay Blocks หรืออื่นๆ รูปที่ 2.11 แสดงลักษณะบล็อกที่ใช้ในการกำหนดระบบในลักษณะต่างๆ ของทั้งระบบต่อเนื่อง (Continuous System) หรือระบบไม่ต่อเนื่อง (Discrete System) ของ Simulink V. 7.6



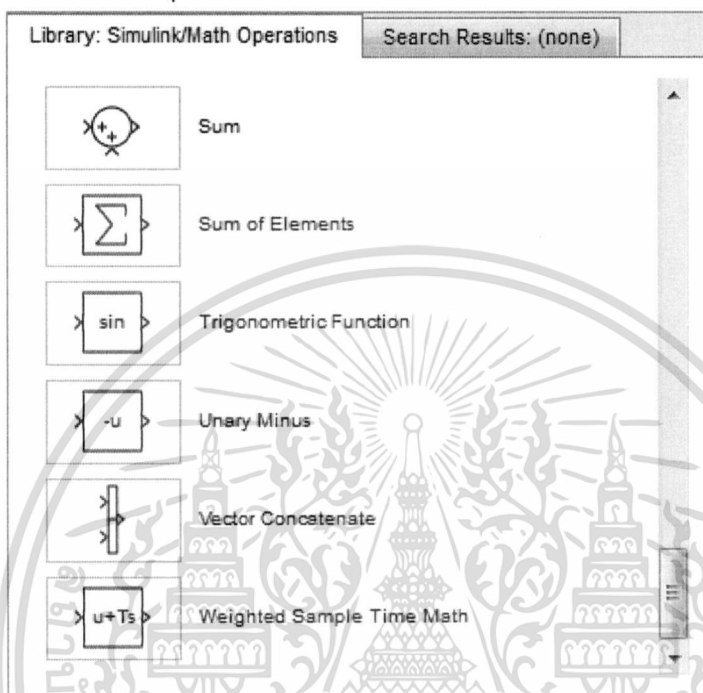
รูปที่ 2.11 แสดงบล็อกต่างๆ ภายในกลุ่มบล็อกของระบบต่อเนื่อง (Continuous System)

และระบบไม่ต่อเนื่อง (Discrete System)

เอกสารนี้เป็นเอกสารที่สงวนไว้สำหรับใช้เฉพาะในโครงการวิจัยเท่านั้น อนุญาตให้นำไปใช้ประโยชน์ด้านการค้า  
ไม่ว่ากรณีใดๆ ทั้งสิ้น อีกทั้งห้ามมิให้ตัดแปลงเนื้อหา และต้องอ้างอิงถึงเจ้าของเอกสารทุกครั้งที่มีการนำไปใช้

### - การดำเนินการทางคณิตศาสตร์ (Math Operations)

กลุ่มบล็อกการดำเนินการทางคณิตศาสตร์เป็นอีกกลุ่มหนึ่งที่มีการใช้ในการจำลองปัญหาบ่อยกลุ่มบล็อกนี้จะประกอบไปด้วยบล็อกย่อยๆ ที่มีหน้าที่เกี่ยวข้องกับการดำเนินการต่างๆ ทางคณิตศาสตร์ เช่น การนำสัญญาณมาบวกกัน (Sum) การคูณสัญญาณด้วยค่าคงที่ (Gain) หรืออื่นๆ รูปที่ 2.12 แสดงลักษณะบล็อกย่อยในกลุ่มบล็อกการดำเนินการทางคณิตศาสตร์ ของ Simulink V. 7.6



รูปที่ 2.12 แสดงบล็อกต่างๆ ภายในกลุ่มบล็อกการดำเนินการทางคณิตศาสตร์ (Math Operations)

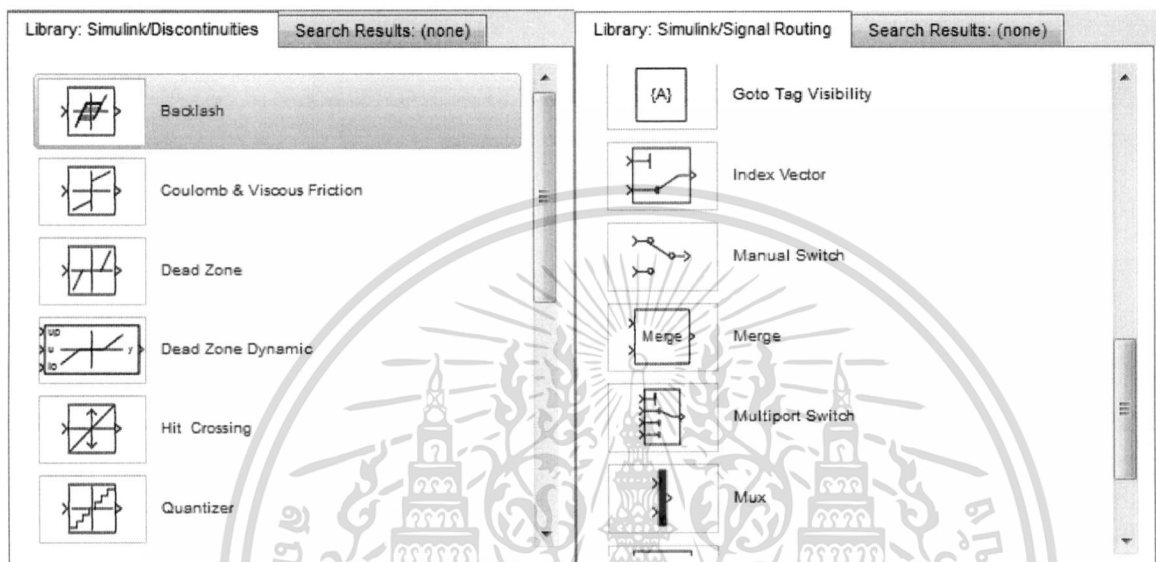
### - ความไม่ต่อเนื่อง (Discontinuities)

ข้อได้เปรียบข้อหนึ่งของโปรแกรม Simulink คือความสามารถในการจำลองระบบแบบไม่เป็นเชิงเส้น (Nonlinear System Simulation) ซึ่งในการหาคำตอบด้วยมือ หรือการหา Closed Form Solution โดยทั่วไปจะเป็นการยากฟังก์ชันหรือลักษณะของความไม่เป็นเชิงเส้นที่พบบ่อยคือ Saturation, Signum, Limited Slew Rate หรืออื่นๆ รูปที่ 2.13 แสดงกลุ่มบล็อก Discontinuities ซึ่ง แสดงความไม่เป็นเชิงเส้นซึ่งสามารถใช้ในการจำลองปรากฏการณ์ทางวิศวกรรมได้หลายเหตุการณ์ เช่นการใช้ Saturation บล็อกมักจะใช้แทนข้อจำกัดทางกายภาพเช่นขีดจำกัดของแรงดันทางเข้ามอเตอร์ไฟฟ้า หรือระดับแรงดันสูงสุดในระบบไฮดรอลิกส์ บล็อก Switches เป็นอีก บล็อกหนึ่งที่ใช้บ่อย เป็นบล็อกที่ใช้ในการจำลองปัญหา IF-THEN เช่นเดียวกับที่พบในการเขียน โปรแกรมโดยทั่วไป บล็อก Slew Rates ใช้ในการจำกัดอัตราการเปลี่ยนแปลงของค่าทางกายภาพ เช่น ความเร็วของมอเตอร์ไฟฟ้ากระแสตรง เป็นต้น

เอกสารนี้เป็นเอกสารที่สงวนไว้สำหรับการใช้งานเพื่อการศึกษาเท่านั้น ไม่อนุญาตให้นำไปใช้ประโยชน์ด้านการค้าไม่ว่ากรณีใดๆ ทั้งสิ้น อีกทั้งห้ามมิให้ดัดแปลงเนื้อหา และต้องอ้างอิงถึงเจ้าของเอกสารทุกครั้งที่มีการนำไปใช้

### - ทางเดินสัญญาณ (Signal Routing)

ในการจำลองระบบที่มีความซับซ้อน บางครั้งมีความจำเป็นที่จะต้องมีการรับ/ส่งสัญญาณจากส่วนหนึ่งของระบบ ไปสู่อีกส่วนหนึ่งของระบบ ซึ่งการใช้เส้นเชื่อมอาจจะไม่สะดวกในการทำงานซึ่งบล็อกในชุดนี้เป็นประเภท GOTO บล็อกหรือ FROM บล็อกคบบล็อกประเภท Multiplexing จะมีประโยชน์ในการจัดระเบียบของแผนภูมิให้มีความเป็นระเบียบมากขึ้นรูปที่ 2.13 แสดงกลุ่มบล็อก Signal Routing



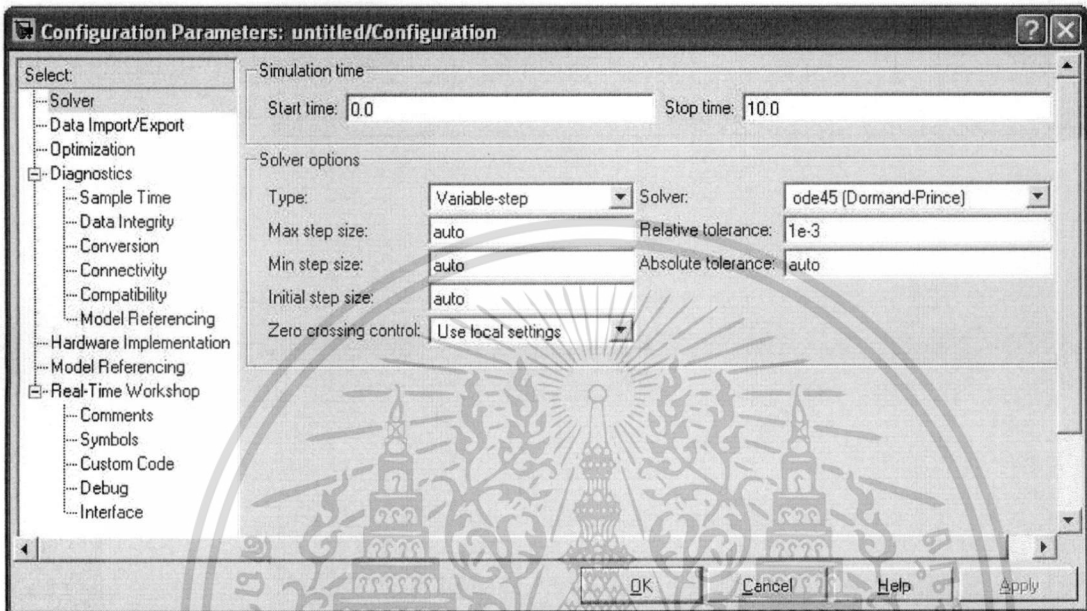
รูปที่ 2.13 แสดงกลุ่มบล็อก Discontinuities และกลุ่ม Signal Routing

### - การกำหนดค่าคงที่ในการจำลองปัญหา (Parameters Configuration)

การจำลองปัญหาบนคอมพิวเตอร์จะต้องอาศัยเทคนิคของระเบียบวิธีเชิงตัวเลข (Numerical Method) ในการแก้ปัญหาและหาคำตอบของสมการเชิงอนุพันธ์ สำหรับโปรแกรม Simulink นั้น ระบบในรูปแบบต่างๆ สามารถที่จะจำลองทั้งในแบบของระบบต่อเนื่อง (Continuous System) หรือระบบไม่ต่อเนื่อง (Discrete System) ขึ้นอยู่กับลักษณะองค์ประกอบของระบบย่อย การจำลองสามารถที่จะถูกกำหนดให้เริ่ม หรือหยุดที่ช่วงเวลา หรือส่วนหนึ่งของเวลาได้ตามกำหนด ข้อสังเกตที่ต้องพึงระวังคือระยะเวลาที่สนใจในการจำลองปัญหา กับระยะเวลาที่ใช้ ในการจำลอง ปัญหา หรือระยะเวลาที่คอมพิวเตอร์ใช้ในการหาคำตอบของปัญหาที่สนใจจะไม่ตรงกัน เช่นคอมพิวเตอร์อาจจะใช้ระยะเวลาในการจำลองการตอบสนองในช่วง 10 นาที ของระบบที่สนใจ เพียง 1 วินาที เป็นต้น ในการจำลองแบบปัญหาโดยใช้ระเบียบวิธีเชิงตัวเลขประเภทที่ Step Size มีค่าไม่คงที่นั้น (Variable Step Size) Step Size ที่มากที่สุดและน้อยที่สุดสามารถกำหนดได้ อย่างไรก็ตามระเบียบวิธีเชิงตัวเลขประเภท Step Size คงที่ (Fixed Step Size) เป็นวิธีที่มักจะนิยมใช้ในการจำลองปัญหา ทั้งนี้เนื่องจากสามารถระบุช่วงเวลา หรือจุดของเวลาที่สนใจได้อย่างแม่นยำ Step Size ที่ใช้ในการจำลองปัญหาจะต้องเอกสารเป็นเอกสารที่สงวนไว้สำหรับการใช้งานเพื่อการศึกษาเท่านั้น ไม่นำไปใช้ประโยชน์ด้านการค้า

ไม่ว่ากรณีใดๆ ทั้งสิ้น อีกทั้งห้ามมิให้ตัดแปลงเนื้อหา และต้องอ้างอิงถึงเจ้าของเอกสารทุกครั้งที่มีการนำไปใช้

มีการกำหนดและจะมีค่าขึ้นอยู่กับลักษณะของระบบพลศาสตร์ที่สนใจ เช่น ในระบบทางความร้อน Step Size อาจจะมีค่าประมาณ 2-3 วินาที ในขณะที่ระบบควบคุมมอเตอร์อาจจำเป็นต้องใช้ Step Size ที่มีค่าน้อยถึง 0.002 – 0.003 วินาที โดยทั่วไป กฎที่ใช้ในการเลือก Step Size จะอยู่ที่ประมาณอย่างน้อย 4 – 20 เท่า ของระบบที่มีการตอบสนองที่เร็วที่สุด



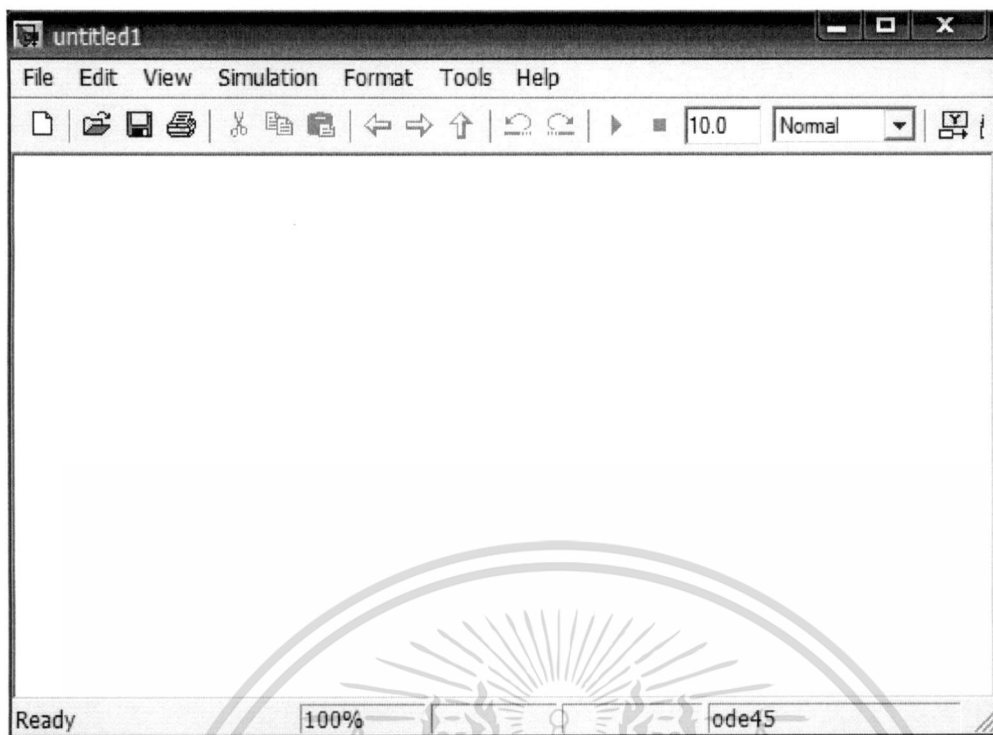
รูปที่ 2.14 แสดงหน้าต่างที่ใช้ในการกำหนดค่าคงที่ในการจำลองปัญหา (Configuration Parameters)

#### 2.4.6 การสร้างแบบจำลองระบบควบคุม

การสร้างแบบจำลองของระบบควบคุมใน Simulink นั้นต้องทำการสร้างหน้าต่างสำหรับสร้างแบบจำลองขึ้นมาก่อนซึ่งขั้นตอนในการสร้างแบบจำลองระบบควบคุมทำได้ดังนี้

- เลือก เมนู File --> New --> Model จากนั้นจะปรากฏหน้าต่างขึ้นมาแสดงได้ดังรูปที่ 2.15 ซึ่งหน้าต่างนี้จะใช้สำหรับการวางบล็อกที่เลือกมาจาก Simulink Library Browser

เอกสารนี้เป็นเอกสารที่สงวนไว้สำหรับการใช้งานเพื่อการศึกษาเท่านั้น ไม่อนุญาตให้นำไปใช้ประโยชน์ด้านการค้า  
ไม่ว่ากรณีใดๆ ทั้งสิ้น อีกทั้งห้ามมิให้ดัดแปลงเนื้อหา และต้องอ้างอิงถึงเจ้าของเอกสารทุกครั้งที่มีการนำไปใช้



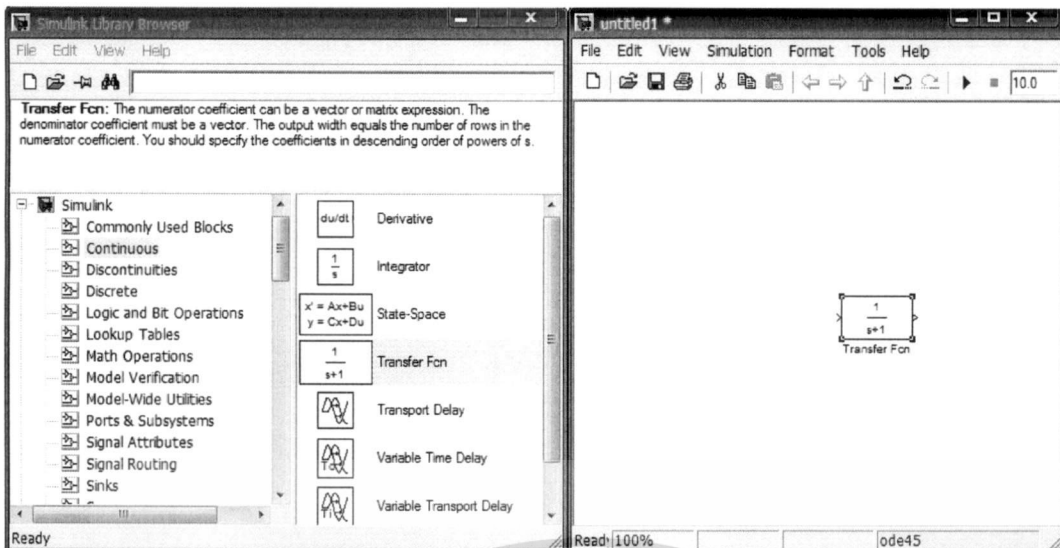
รูปที่ 2.15 หน้าต่างสำหรับสร้างแบบจำลอง

ในส่วนบนของหน้าต่างสำหรับสร้างแบบจำลองจะเป็นเมนูบาร์สำหรับคำสั่งต่างๆ ดังนี้

1. เมนู File เป็นคำสั่งเกี่ยวกับการจัดการทางด้านแฟ้มข้อมูลทั้งหมด เช่น การเปิดไฟล์ การบันทึกไฟล์ และการกำหนดคุณลักษณะของโปรแกรม Simulink
2. เมนู Edit เป็นคำสั่งเกี่ยวกับการแก้ไขแบบจำลองที่สร้างขึ้นมา
3. เมนู View เป็นคำสั่งเกี่ยวกับการแสดงเครื่องมืออุปกรณ์บนหน้าจอแบบจำลอง
4. เมนู Simulation เป็นคำสั่งเกี่ยวกับการจัดการการทำงานจากระบบควบคุมที่ทำการสร้างขึ้นมา
5. เมนู Format เป็นคำสั่งเกี่ยวกับรูปแบบการแสดงผลบนหน้าจอจำลอง
6. เมนู Tools เป็นคำสั่งเกี่ยวกับการเลือกใช้เครื่องมือต่างๆ
7. เมนู Help เป็นคำสั่งเกี่ยวกับการขอความช่วยเหลือ

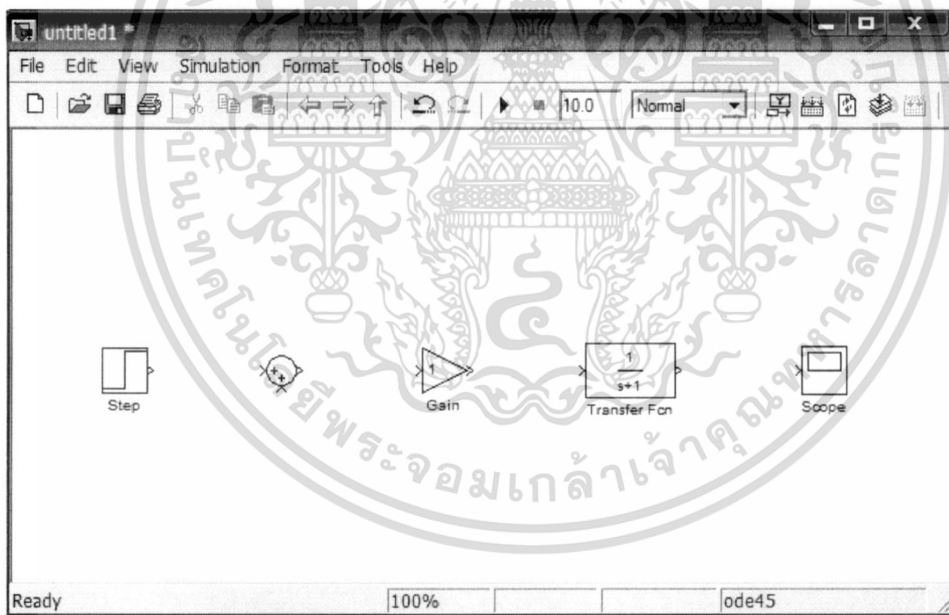
- เมื่อทำการสร้างหน้าต่างสำหรับสร้างแบบจำลองแล้วทำบล็อกใน Simulink Library Browser มาวางในหน้าต่างสำหรับสร้างแบบจำลองได้โดยทำการคลิกบล็อกที่ต้องการค้างไว้จากนั้นทำการลากมาไว้ในหน้าต่างสำหรับสร้างแบบจำลองจากนั้นปล่อยปุ่มจะปรากฏบล็อกที่ต้องการบน หน้าต่างสำหรับสร้างแบบจำลองแสดงได้ดังรูปที่ 2.16

เอกสารนี้เป็นเอกสารที่สงวนไว้สำหรับการใช้งานเพื่อการศึกษาเท่านั้น ไม่อนุญาตให้นำไปใช้ประโยชน์ด้านการค้า ไม่ว่าจะกรณีใดๆ ทั้งสิ้น อีกทั้งห้ามมิให้ดัดแปลงเนื้อหา และต้องอ้างอิงถึงเจ้าของเอกสารทุกครั้งที่มีการนำไปใช้



รูปที่ 2.16 การเลือกบล็อกที่ต้องการจาก Simulink Library Browser

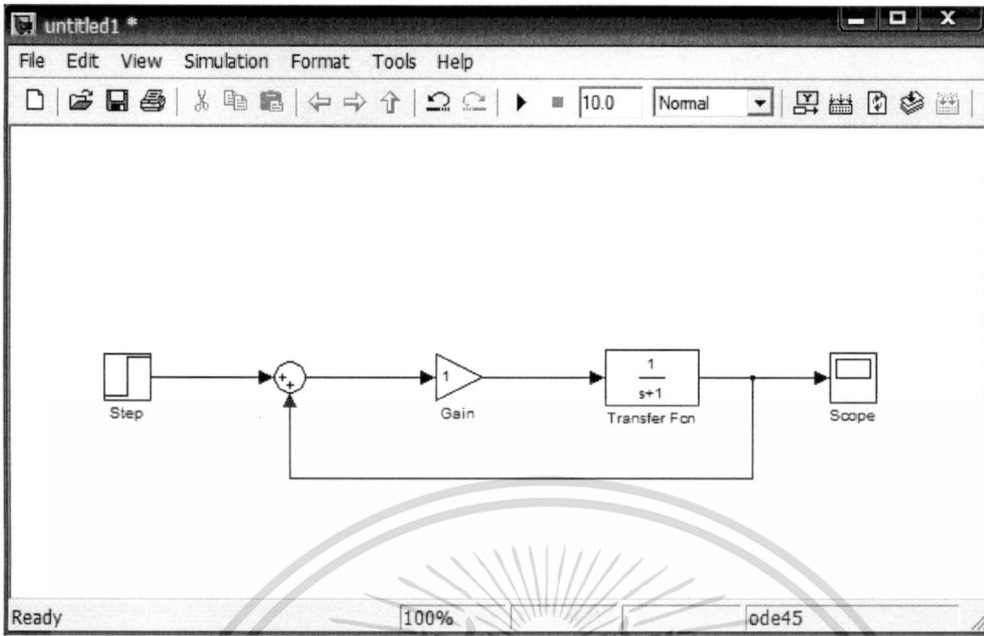
- เมื่อได้บล็อกที่ต้องการแล้วเราสามารถนำบล็อกอื่นๆ มาวางบนหน้าต่างสำหรับ สร้างแบบจำลองได้เช่นกัน ต่อไปจะแสดงบล็อกของระบบตัวอย่าง



รูปที่ 2.17 บล็อกของระบบตัวอย่าง

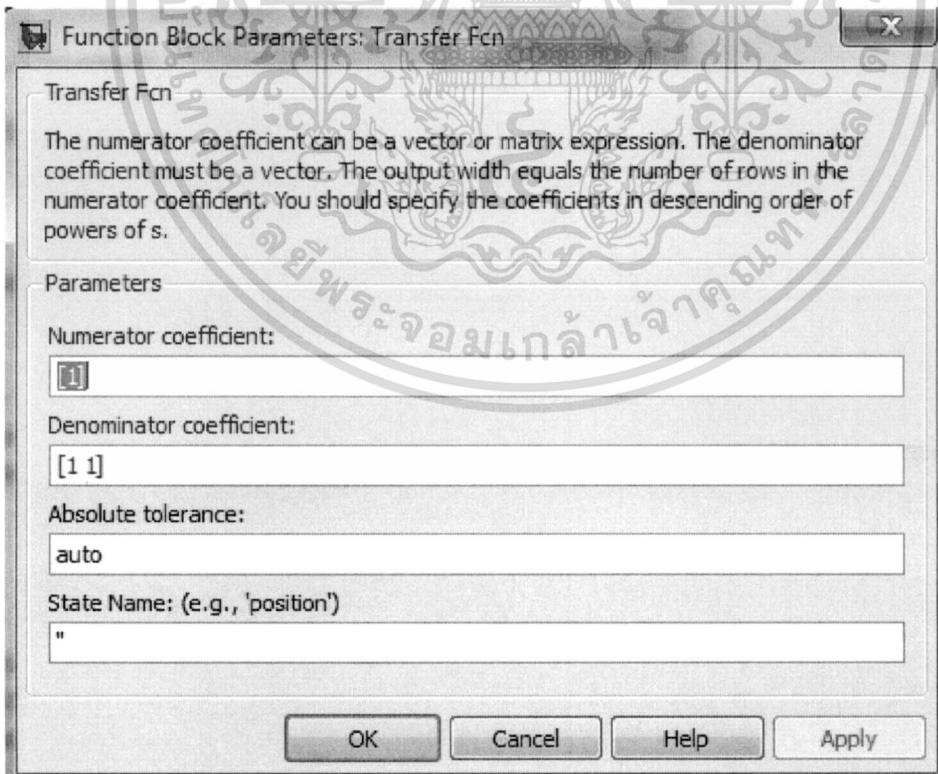
- รูปที่ 2.17 สังเกตได้ว่าแต่ละบล็อกจะมีช่องสัญญาณเข้าและสัญญาณออก ไว้สำหรับลากเส้นสัญญาณเชื่อมต่อระหว่างบล็อกต่างๆ เข้าด้วยกัน การลากเส้นเชื่อมต่อระหว่างบล็อกต่างๆ นั้น ทำได้โดยเลื่อนเมาส์ให้ไปที่จุดต่อสัญญาณของบล็อกที่ต้องการ ตัวชี้ของเมาส์จะเปลี่ยนเป็นเครื่องหมายกากบาท จากนั้นคลิกค้างไว้แล้วลากตัวชี้ไปที่จุดต่อสัญญาณของบล็อกที่ต้องการ แสดงได้ดังรูปที่ 2.18

เอกสารนี้เป็นเอกสารที่สงวนไว้สำหรับการใช้งานเพื่อการศึกษาเท่านั้น ไม่อนุญาตให้นำไปใช้ประโยชน์ด้านการค้า ไม่ว่าจะกรณีใดๆ ทั้งสิ้น อีกทั้งห้ามมิให้ดัดแปลงเนื้อหา และต้องอ้างอิงถึงเจ้าของเอกสารทุกครั้งที่มีการนำไปใช้



รูปที่ 2.18 การเชื่อมต่อสัญญาณระหว่างบล็อก

- การเปลี่ยนแปลงค่าพารามิเตอร์ของบล็อกสามารถทำได้โดยดับเบิลคลิกที่บล็อกซึ่งจะปรากฏ ไดอะล็อกสำหรับให้ใส่ค่าพารามิเตอร์ของบล็อก



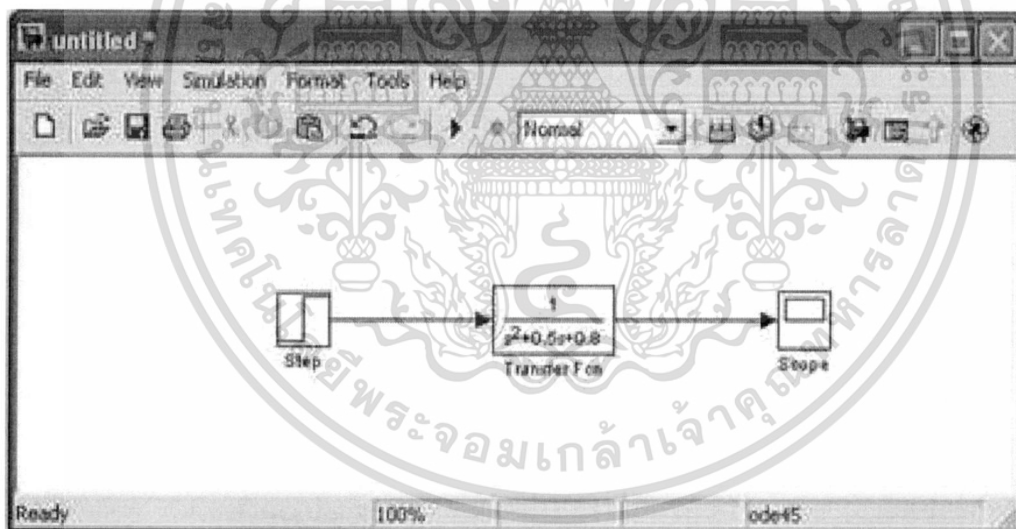
รูปที่ 2.19 การเปลี่ยนแปลงค่าพารามิเตอร์ของบล็อก

เอกสารนี้เป็นเอกสารที่สงวนไว้สำหรับการใช้งานเพื่อการศึกษาเท่านั้น ไม่อนุญาตให้นำไปใช้ประโยชน์ด้านการค้า ไม่ว่าจะกรณีใดๆ ทั้งสิ้น อีกทั้งห้ามมิให้ดัดแปลงเนื้อหา และต้องอ้างอิงถึงเจ้าของเอกสารทุกครั้งที่มีการนำไปใช้

เพื่อให้เข้าใจหลักการทํางานและวิธีการสร้างโปรแกรมด้วย Simulink จะขอแสดงถึงวิธีการสร้างแบบจำลองของระบบควบคุมใน Simulink โดยการสร้างแบบจำลองของกระบวนการใน Simulink นั้นสามารถแบ่งเป็น 3 วิธีด้วยกัน คือ

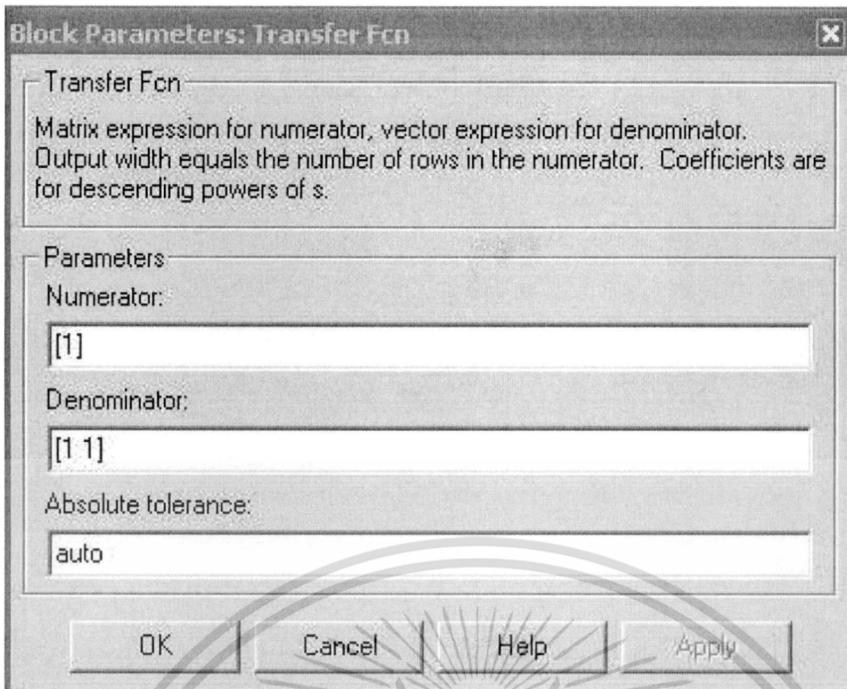
1. การสร้างแบบจำลองกระบวนการจากสมการ Differential Equation
2. การสร้างแบบจำลองกระบวนการจากทรานส์เฟอร์ฟังก์ชัน
3. การสร้างแบบจำลองระบบควบคุมจากสมการ State-Space

ซึ่งในงานวิจัยนี้จะใช้วิธีการสร้างแบบจำลองกระบวนการจากทรานส์เฟอร์ฟังก์ชัน การสร้างแบบจำลองของระบบที่แสดงอยู่ในรูป 2.20 Transfer Function นั้นจะใช้บล็อก Transfer Fcn แสดงแทนระบบ การใส่ค่าโพลีโนเมียลในส่วนของ Numerator และ Denominator นั้นทำได้โดยดับเบิลคลิกที่บล็อกซึ่งจะปรากฏได้อะล๊อคที่ให้ใส่ค่าขึ้นมาแสดงได้ดังรูปที่ 2.21 โดยการใส่ค่าลงไปนั้นมีเงื่อนไขอยู่ว่าส่วน Numerator นั้นต้องมีอันดับน้อยกว่า ส่วน Denominator ซึ่งสังเกตได้ว่าการสร้างแบบจำลองของระบบจาก Transfer Function นั้นจะทำการวัดผลตอบสนองได้ที่ส่วนเอาต์พุตของระบบเท่านั้น



รูปที่ 2.20 ได้อะล๊อคใส่ค่าพารามิเตอร์ของบล็อก Transfer Fcn

เอกสารนี้เป็นเอกสารที่สงวนไว้สำหรับการใช้งานเพื่อการศึกษาเท่านั้น ไม่อนุญาตให้นำไปใช้ประโยชน์ด้านการค้า ไม่ว่าจะกรณีใดๆ ทั้งสิ้น อีกทั้งห้ามมิให้ดัดแปลงเนื้อหา และต้องอ้างอิงถึงเจ้าของเอกสารทุกครั้งที่มีการนำไปใช้



รูปที่ 2.21 แบบจำลองระบบทางกลในรูปแบบของ Transfer Function

## 2.5 บทสรุป

สำหรับเนื้อหาหลักๆ ในบทนี้ได้กล่าวถึงองค์ประกอบโดยรวมของกระบวนการระดับน้ำสองถึงที่มีผลต่อกัน ซึ่งในทางปฏิบัติแล้วการเรียนรู้หรือทำความเข้าใจกระบวนการนั้นถือว่าสำคัญเนื่องจากว่าเป็นเงื่อนไขแรกๆ ที่ต้องนำไปพิจารณาในการออกแบบตัวควบคุมสำหรับควบคุมกระบวนการซึ่งถ้าเราไม่เข้าใจองค์ประกอบทั้งหมดของกระบวนการแล้วนั้น คงจะเป็นการยากที่เราจะสามารถออกแบบตัวควบคุมได้ ส่วนในเรื่องของโปรแกรมที่ใช้ในการทดลองก็เป็นอีกหนึ่งปัจจัยที่จะต้องคำนึงถึงเช่นกัน การที่เรานำโปรแกรมมาช่วยในการวิเคราะห์ ออกแบบ หรือควบคุมกระบวนการนั้นถ้าเราเรียนรู้และเข้าใจการทำงานและฟังก์ชันการใช้งานต่างๆ ของโปรแกรมก็จะทำให้ง่ายและสะดวกในการทำงาน แต่ในทางตรงกันข้ามถ้าเราไม่เข้าใจการทำงานของโปรแกรมหรือใช้งาน โปรแกรมไม่เป็นแล้วก็จะเป็นการสร้างอุปสรรคเช่นกัน โดยสรุปแล้วคือเราต้องการที่จะหาสมการคุณลักษณะหรือหาโมเดลของกระบวนการนั่นเอง เพื่อที่จะนำโมเดลที่ได้ไว้วิเคราะห์และออกแบบต่อไป องค์ประกอบทั้งหมดโปรแกรมที่กล่าวถึงในบทนี้จะเป็นส่วนที่ช่วยให้เราหาแบบจำลองกระบวนการได้นั่นเอง

เอกสารนี้เป็นเอกสารที่สงวนไว้สำหรับการใช้งานเพื่อการศึกษาเท่านั้น ไม่อนุญาตให้นำไปใช้ประโยชน์ด้านการค้า  
ไม่ว่ากรณีใดๆ ทั้งสิ้น อีกทั้งห้ามมิให้ดัดแปลงเนื้อหา และต้องอ้างอิงถึงเจ้าของเอกสารทุกครั้งที่มีการนำไปใช้

## บทที่ 3

# ทฤษฎีที่เกี่ยวข้องกับงานวิจัย

### 3.1 กล่าวนำ

เนื้อหาในบทนี้จะกล่าวถึงทฤษฎีทั้งหมดที่นำมาใช้กับงานวิจัยนี้ เพื่อให้รู้ถึงที่มาของหลักการคิดและสมการแต่ละสมการ รวมไปถึงการนำทฤษฎีไปออกแบบตัวควบคุม ซึ่งในเนื้อหาจะประกอบไปด้วย ทฤษฎีของตัวควบคุมพีไอดี ทฤษฎีคิ่คัปปลิง ระบบควบคุมแบบปรับตัวได้ การควบคุมแบบปรับตัวโดยใช้โมเดลอ้างอิง และบทสรุป ซึ่งรายละเอียดทั้งหมดได้ถูกอธิบายไว้ดังต่อไปนี้

### 3.2 ทฤษฎีของตัวควบคุมพีไอดี

ตัวควบคุม เป็นส่วนประกอบที่สำคัญของระบบควบคุมแบบอัตโนมัติ การควบคุมอัตโนมัติคือ การใช้ตัวควบคุม (Controller) ทำหน้าที่เปรียบเทียบกับตัดสินใจและปรับแทนมนุษย์ให้มีผลตอบสนองเป็นไปตามต้องการ ซึ่งสัญญาณดังกล่าวจะเป็นไปตามกฎ และรูปแบบของการควบคุมที่ผู้ควบคุมได้เลือก และกำหนดไว้ล่วงหน้า การควบคุม ไม่ว่าจะเป็นการควบคุมด้วยมือหรืออัตโนมัติ ผลการควบคุมจะถูกรวดและป้อนกลับ ไปยังตัวควบคุมเพื่อทำการเปรียบเทียบ ตัดสิน และออกคำสั่ง ปรับใหม่ การกระทำจะดำเนินไปซ้ำๆ กันเช่นนี้ตามลำดับ ปัจจุบันเครื่องควบคุมสามารถแบ่งตามโครงสร้างการทำงานได้ 3 ชนิด คือเครื่องควบคุมแบบนิวมेटริกส์ที่ทำงานโดยใช้สัญญาณลม เครื่องควบคุมแบบอิเล็กทรอนิกส์ที่ทำงานโดยใช้วงจรรวม (Linear Circuit) ในการสร้างสัญญาณควบคุม และเครื่องควบคุมแบบดิจิทัลทำงานโดยใช้วงจรรวม (Logic Circuit) หรือไมโครโปรเซสเซอร์สร้างสัญญาณควบคุม โดยตัวควบคุมที่ถูกนำมาใช้และเป็นที่รู้จักกันดีมากที่สุดในการอุตสาหกรรมการผลิตก็คือ ตัวควบคุมแบบ PID

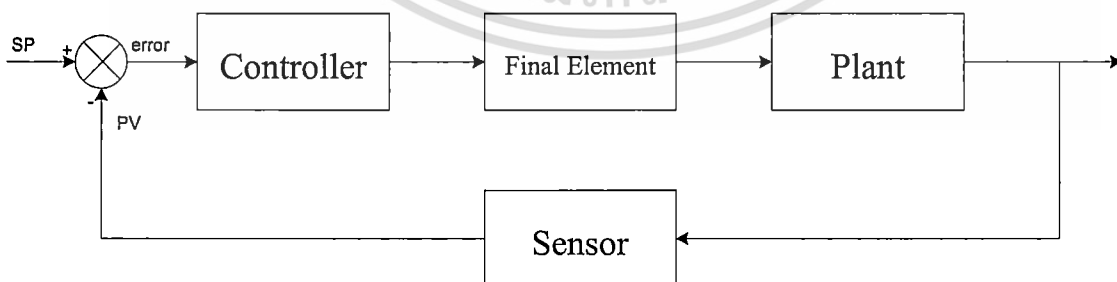
#### 3.2.1 การควบคุมแบบป้อนกลับด้วยตัวควบคุมพีไอดี

ระบบควบคุมแบบ Closed-Loop เป็นระบบควบคุมแบบหนึ่งซึ่งสัญญาณเอาต์พุตจะมีผลโดยตรงต่อการควบคุมดังนั้นระบบควบคุมแบบ Closed-Loop ก็คือระบบควบคุมป้อนกลับนั่นเอง สัญญาณค่าความคลาดเคลื่อนซึ่งเป็นสัญญาณแตกต่างระหว่างสัญญาณอินพุตกับสัญญาณป้อนกลับจะถูกป้อนให้ตัวควบคุม เพื่อที่จะได้ลดความคลาดเคลื่อนให้น้อยลงและทำให้เอาต์พุตของระบบมีค่าตามที่ต้องการ สัญญาณป้อนกลับนี้อาจเป็นสัญญาณเอาต์พุตโดยตรงหรือเป็นสัญญาณที่เป็นฟังก์ชันของสัญญาณเอาต์พุต

เอกสารนี้เป็นเอกสารที่สงวนไว้สำหรับการใช้งานเพื่อการศึกษาเท่านั้น ไม่อนุญาตให้นำไปใช้ประโยชน์ด้านการค้า  
ไม่ว่ากรณีใดๆ ทั้งสิ้น อีกทั้งห้ามมิให้ตัดแปลงเนื้อหา และต้องอ้างอิงถึงเจ้าของเอกสารทุกครั้งที่มีการนำไปใช้

ระบบควบคุมป้อนกลับโดยทั่วไปประกอบด้วยอุปกรณ์ ดังนี้

1. ตัวควบคุม (Controller) คือ ตัวรับสัญญาณวัดเพื่อนำมาเปรียบเทียบกับค่าเป้าหมายแล้วคำนวณหาค่าที่เหมาะสมเพื่อส่งเป็นสัญญาณควบคุมออกไปควบคุมกระบวนการ ซึ่งเราสามารถตั้งเป้าหมายให้กับตัวควบคุมนี้ได้ แบบการควบคุมมีหลายแบบ เช่น ON-OFF Control, P Control, PI Control, PID Control เป็นต้น
2. อุปกรณ์วัด (Measuring Instruments) หมายถึง อุปกรณ์ได้แก่ Sensor, Transducer หรือ อุปกรณ์แปลงสัญญาณ (Converter) หรือวัดสัญญาณอื่นๆที่มีเอาต์พุตตามสัญญาณมาตรฐานเอาต์พุต
3. อุปกรณ์ปรับกระบวนการ (Final Control Element) เป็นอุปกรณ์ที่ทำหน้าที่ปรับสถานะของกระบวนการด้วยสถานะของกระบวนการเปลี่ยนแปลงตามค่าสัญญาณควบคุม (Manipulated Variable) ของกฎการควบคุมอุปกรณ์พวกนี้ได้แก่ วาล์วควบคุม (Control Valve), Inverter, Actuator ต่างๆ เป็นต้น
4. กระบวนการ (Plant or Process) คือ กระบวนการที่ถูกควบคุมหรือกระบวนการทางฟิสิกส์ที่เราต้องการควบคุมให้มีสถานะตามต้องการ ขณะที่สถานะการทำงานหรือสภาวะแวดล้อมอาจเปลี่ยนแปลงอยู่ตลอดเวลา กระบวนการได้แก่ อุณหภูมิ, ความดัน, อัตราการไหล, ระดับความเป็นกรดด่าง เป็นต้น
5. สัญญาณมาตรฐาน (Standard Signal) ในการที่ต้องการเชื่อมต่ออุปกรณ์ในระบบควบคุมอัตโนมัติให้ทำงานได้ตามต้องการนั้นจำเป็นต้องมีมาตรฐานรองรับซึ่งวิวัฒนาการตั้งแต่เริ่มมีระบบควบคุมอัตโนมัติมานั้นก็มีการเปลี่ยนแปลงระบบ ตัวอุปกรณ์เครื่องมือวัดมาตั้งแต่ยุคลม (Pneumatic), ไฟฟ้า (Electrical) แล้วปัจจุบันเริ่มมีการใช้สัญญาณดิจิทัลกันแล้ว สัญญาณลม 3-15 PSI, สัญญาณไฟฟ้า 1-5 Vdc หรือ 4-20 mA



รูปที่ 3.1 แสดงโครงสร้างของระบบควบคุมแบบป้อนกลับโดยทั่วไป

เอกสารนี้เป็นเอกสารที่สงวนไว้สำหรับการใช้งานเพื่อการศึกษาเท่านั้น ไม่อนุญาตให้นำไปใช้ประโยชน์ด้านการค้า  
ไม่ว่ากรณีใดๆ ทั้งสิ้น อีกทั้งห้ามมิให้ตัดแปลงเนื้อหา และต้องอ้างอิงถึงเจ้าของเอกสารทุกครั้งที่มีการนำไปใช้

การควบคุมกระบวนการทางอุตสาหกรรม โดยทั่วไปนิยมใช้ตัวควบคุมแบบพีไอดี (PID) เพราะรูปแบบของตัวควบคุมเป็นตัวควบคุมที่สามารถควบคุมกระบวนการต่างๆ ได้อย่างกว้างขวาง เนื่องจากมีโครงสร้างการทำงานที่ไม่ซับซ้อน สามารถเข้าใจได้ง่าย การใช้งานตัวควบคุมพีไอดีขึ้นอยู่กับค่าพารามิเตอร์ของตัวควบคุม PID ให้เหมาะสม เพื่อให้ได้ผลตอบสนองของกระบวนการตามต้องการ

ตัวควบคุม PID ประกอบด้วยตัวควบคุมแบบ Proportional (P) ตัวควบคุมแบบ Integral (I) ตัวควบคุมแบบ Derivative (D) ซึ่งมีฟังก์ชันถ่ายโอน (Transfer Function) ดังนี้

$$m(t) = K_p \left( e(t) + \frac{1}{T_i} \int_0^t e(t) dt + T_d \frac{de(t)}{dt} \right) \quad (3.1)$$

โดยที่  $K_p$  = ค่าอัตราขยายของตัวควบคุมแบบ P (Proportional Gain)

$T_i$  = ค่าเวลา Integral (Integral Time)

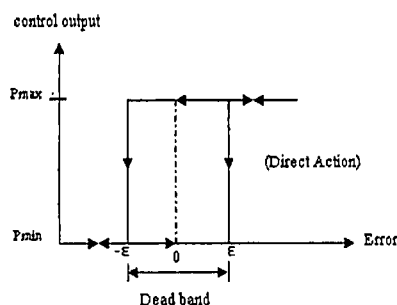
$T_d$  = ค่าเวลา Derivative (Derivative Time)

จากรูปที่ 3.1 จะเห็นได้ว่าสัญญาณควบคุม หรือตัวแปรปรับกระบวนการ ( $mv$ ) ที่ได้จากตัวควบคุม PID จะถูกกำหนดด้วยความสัมพันธ์ระหว่างสัญญาณขาเข้าตัวควบคุมกับตัวแปรกระบวนการ ( $pv$ ) กับสัญญาณอ้างอิงหรือค่าเป้าหมาย ( $sp$ ) โดยที่ความสัมพันธ์ดังกล่าวจะขึ้นอยู่กับกฎเกณฑ์การควบคุมที่ผู้ควบคุมปรับแต่งไว้ล่วงหน้า ค่าพารามิเตอร์ของตัวควบคุมจะเป็นไปตามกฏควบคุมแบบต่างๆ ดังที่กล่าวต่อไปนี้

### 3.2.2 กฏการควบคุมแบบป้อนกลับ

#### - กฏการควบคุมแบบ ON-OFF

การควบคุมแบบ ON-OFF เป็นการควบคุมที่ง่ายที่สุด และนิยมใช้ในการควบคุมกระบวนการที่ไม่ต้องการความเที่ยงตรงสูง โดยการควบคุมจะทำงานเพียง 2 สถานะ คือ เปิด (100%) กับปิด (0%) กฏการควบคุมแบบ ON-OFF ดังแสดง รูปที่ 3.2



รูปที่ 3.2 แสดงกฏการควบคุมแบบ ON-OFF

เอกสารนี้เป็นเอกสารที่สงวนไว้สำหรับกรใช้งานเพื่อการศึกษาค้นคว้า ไม่นำไปใช้ประโยชน์ด้านการค้า  
ไม่ว่ากรณีใดๆ ทั้งสิ้น อีกทั้งห้ามมิให้ดัดแปลงเนื้อหา และต้องอ้างอิงถึงเจ้าของเอกสารทุกครั้งที่มีการนำไปใช้

จากรูปที่ 3.2 จะเห็นว่าถ้าค่าความคลาดเคลื่อนมากกว่าค่าวิกฤต ( $+\varepsilon$ ) ค่าเอาต์พุตของตัวควบคุมจะเปลี่ยนจาก 0% เป็น 100% เมื่อค่าความคลาดเคลื่อนน้อยกว่าค่าวิกฤต ( $-\varepsilon$ ) ค่าเอาต์พุตของตัวควบคุมจะเปลี่ยนจาก 100% เป็น 0% ค่าเอาต์พุตที่อยู่ในช่วงเขตแบนด์ (Dead Band) จะไม่มีการเปลี่ยนแปลงแต่อย่างใดซึ่งอาจจะเป็นผลมาจากการเสียดทานที่ไม่ได้คาดไว้ก่อน หรือบางครั้งก็จำเป็นต้องทำให้เกิดช่วงเขตแบนด์ขึ้น เพื่อป้องกัน ON-OFF บ่อยเกินไปอันจะทำให้อุปกรณ์ควบคุมหรือกระบวนการได้รับความเสียหาย แต่ช่วงเขตแบนด์นี้ต้องไม่กว้างนัก เพราะจะทำให้ค่าความเที่ยงตรงของการควบคุมลดลง ฏริยการควบคุมแบบ ON-OFF สามารถเขียนเป็นสมการ (3.2) ได้ดังนี้

$$m(t) = \begin{cases} 0\% & , e < -\varepsilon \\ 100\% & , e > +\varepsilon \end{cases} \quad (3.2)$$

เมื่อ  $m(t)$  = สัญญาณควบคุมหรือเอาต์พุตของตัวควบคุม

$e(t)$  = ค่าความคลาดเคลื่อน

$\varepsilon$  =  $\frac{1}{2}$  ของค่าเขตแบนด์

#### - ฏริยการควบคุมแบบ Proportional (P)

ฏริยการควบคุม P นั้น ค่าเอาต์พุตของตัวควบคุมจะแปรผันตรงกับค่าความคลาดเคลื่อน กล่าวคือ ถ้าค่าความคลาดเคลื่อนมีค่ามากขึ้น ค่าเอาต์พุตของตัวควบคุมก็จะมีค่ามากขึ้นตาม และถ้าค่าความคลาดเคลื่อนมีค่าน้อยลง ค่าเอาต์พุตของตัวควบคุมก็จะมีค่าน้อยลงตาม ฏริยการควบคุมแบบ P สามารถเขียนสมการ (3.3) ได้ดังนี้

$$m_p(t) = K_p e(t) + \bar{m} \quad (3.3)$$

$m_p(t)$  = ค่าเอาต์พุตของตัวควบคุมแบบ Proportional

$K_p$  = อัตราขยายของตัวควบคุมแบบ Proportional

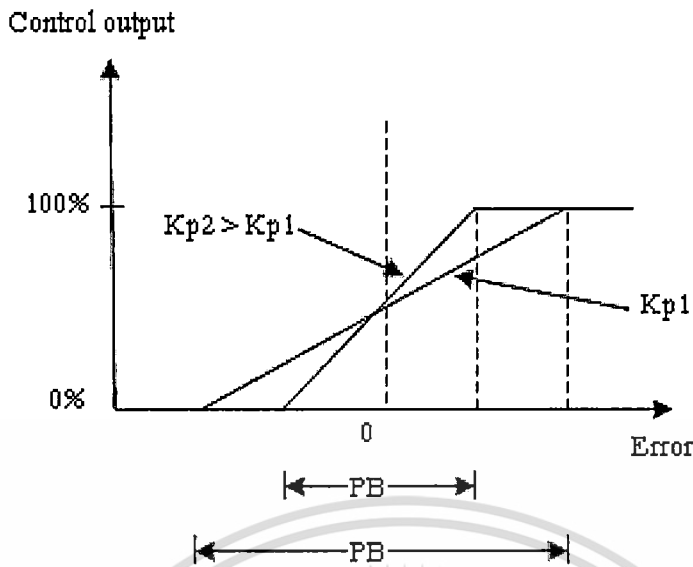
$\bar{m}$  = ค่าเอาต์พุตของตัวควบคุมที่ค่าความคลาดเคลื่อนเท่ากับศูนย์

ตัวควบคุมแบบ P บางตัวอาจจะใช้ค่า Proportional Band (PB) แทนการใช้ค่า  $K_p$  ซึ่ง PB คือช่วงของค่าความคลาดเคลื่อนระหว่างที่เอาต์พุตของตัวควบคุมมีค่า 0-100% ดังสมการ

$$PB = \frac{100\%}{K_p} \quad (3.4)$$

ข้อเสียของฏริยการควบคุมแบบ Proportional คือ ไม่สามารถกำจัดค่าออฟเซตได้

เอกสารนี้เป็นเอกสารที่สงวนไว้สำหรับการใช้งานเพื่อการศึกษาเท่านั้น ไม่อนุญาตให้นำไปใช้ประโยชน์ด้านการค้า ไม่ว่าจะกรณีใดๆ ทั้งสิ้น อีกทั้งห้ามมิให้ดัดแปลงเนื้อหา และต้องอ้างอิงถึงเจ้าของเอกสารทุกครั้งที่มีการนำไปใช้



รูปที่ 3.3 แสดงคุณสมบัติของกริยาการควบคุมแบบ Proportional

- กริยาการควบคุมแบบ Integral (I)

กริยาการควบคุมแบบ I หรือเรียกอีกอย่างหนึ่งว่า การควบคุมแบบรีเซ็ต (Reset Control) โดยค่าเอาต์พุตของตัวควบคุม หาได้จากค่าพื้นที่ทั้งหมดภายใต้กราฟของค่าความคลาดเคลื่อนต่อเวลาคูณกับค่าคงที่ที่เรียกว่า อัตราขยายของตัวควบคุมแบบ I (Integral Gain) ดังสมการ (3.5) ต่อไปนี้

$$m_I(t) = K_I \int_0^t e(t) dt + \bar{m}_I(0) \quad (3.5)$$

เมื่อ  $m_I(t)$  = ค่าเอาต์พุตของตัวควบคุมแบบ Integral

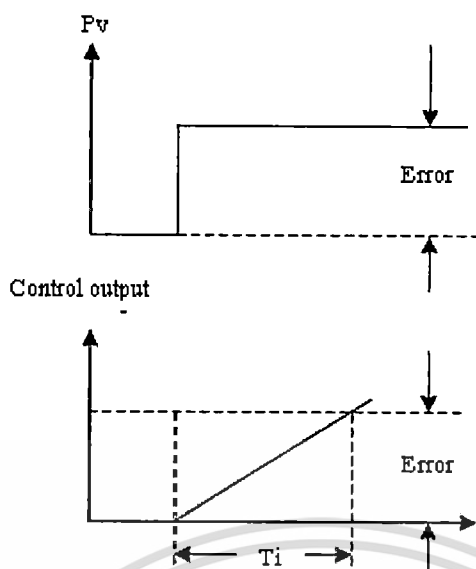
$K_I$  = อัตราขยายของตัวควบคุมแบบ Integral

$\int_0^t e(t) dt$  = พื้นที่ทั้งหมดของค่าความคลาดเคลื่อน

$\bar{m}_I(0)$  = ค่าเอาต์พุตของตัวควบคุมที่เวลา  $t$  เท่ากับศูนย์

ผลของกริยาการควบคุมแบบ I นี้จะทำให้ไม่เกิดออฟเซตจึ้นในระบบ และลดค่าพุ่งเกิน (Overshoot) ของระบบลงได้ แต่ถ้ากริยาการควบคุมมีค่าสูงเกินไป จะทำให้ผลตอบสนองของกระบวนการช้าลง ผลตอบสนองของกริยาการควบคุมแบบ I ดังแสดงในรูปที่ 3.4

เอกสารนี้เป็นเอกสารที่สงวนไว้สำหรับการใช้งานเพื่อการศึกษาเท่านั้น ไม่อนุญาตให้นำไปใช้ประโยชน์ด้านการค้า ไม่ว่ากรณีใดๆ ทั้งสิ้น อีกทั้งห้ามมิให้ดัดแปลงเนื้อหา และต้องอ้างอิงถึงเจ้าของเอกสารทุกครั้งที่มีการนำไปใช้



รูปที่ 3.4 แสดงผลตอบสนองของกริยาการควบคุมแบบ Integral

- กริยาการควบคุมแบบ Derivative (D)

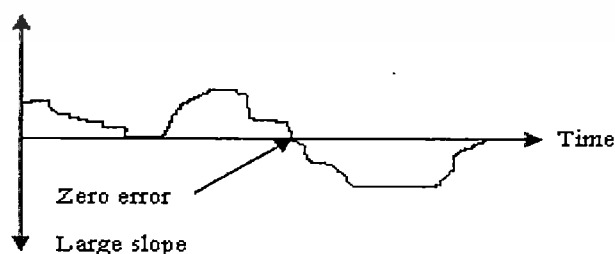
กริยาการควบคุมแบบ D ยกอีกชื่อหนึ่งว่า การควบคุมแบบอัตราส่วน (Rate Action) โดยสัญญาณเอาต์พุตของตัวควบคุมจะขึ้นอยู่กับอัตราการเปลี่ยนแปลงของค่าความคลาดเคลื่อนต่อเวลา จะเห็นว่าค่าความคลาดเคลื่อนนี้มีโอกาสเป็นศูนย์ได้ และค่าเอาต์พุตก็สามารถเปลี่ยนแปลงให้มีค่าสูงขึ้น เมื่อความคลาดเคลื่อนเปลี่ยนแปลง ซึ่งเรียกการกระทำดังกล่าวว่า อัตราการกระทำ (Rate Action) ดังสมการ (3.6) ต่อไปนี้

$$m_D(t) = K_D \frac{de(t)}{dt} \quad (3.6)$$

เมื่อ  $m_D(t)$  = ค่าเอาต์พุตของตัวควบคุมแบบ Derivative

$K_D$  = อัตราขยายของตัวควบคุมแบบ Derivative

$\frac{de}{dt}$  = ค่าความคลาดเคลื่อนที่เวลา  $t$



รูปที่ 3.5 แสดงตัวอย่างผลตอบสนองของกริยาการควบคุมแบบ Derivative

เอกสารนี้เป็นเอกสารที่สงวนไว้สำหรับการใช้งานเพื่อการศึกษาเท่านั้น ไม่อนุญาตให้นำไปใช้ประโยชน์ด้านการค้า ไม่ว่าจะกรณีใดๆ ทั้งสิ้น อีกทั้งห้ามมิให้ดัดแปลงเนื้อหา และต้องอ้างอิงถึงเจ้าของเอกสารทุกครั้งที่มีการนำไปใช้

- ฏการการควบคุมแบบ **Proportional- Integral (PI)**

ตามทก่กล่าวมาแล้ว่าฏการการควบคุมแบบ P นั้น จะมีออฟเซ็ทเกิดขึ้น ซึ่งการกำจ้ค่าออฟเซ็ทนี้ สามารถทำได้โดยการเพิ่มฏการการควบคุมแบบ I เข้าไป ดังสมการต่อไปนี้

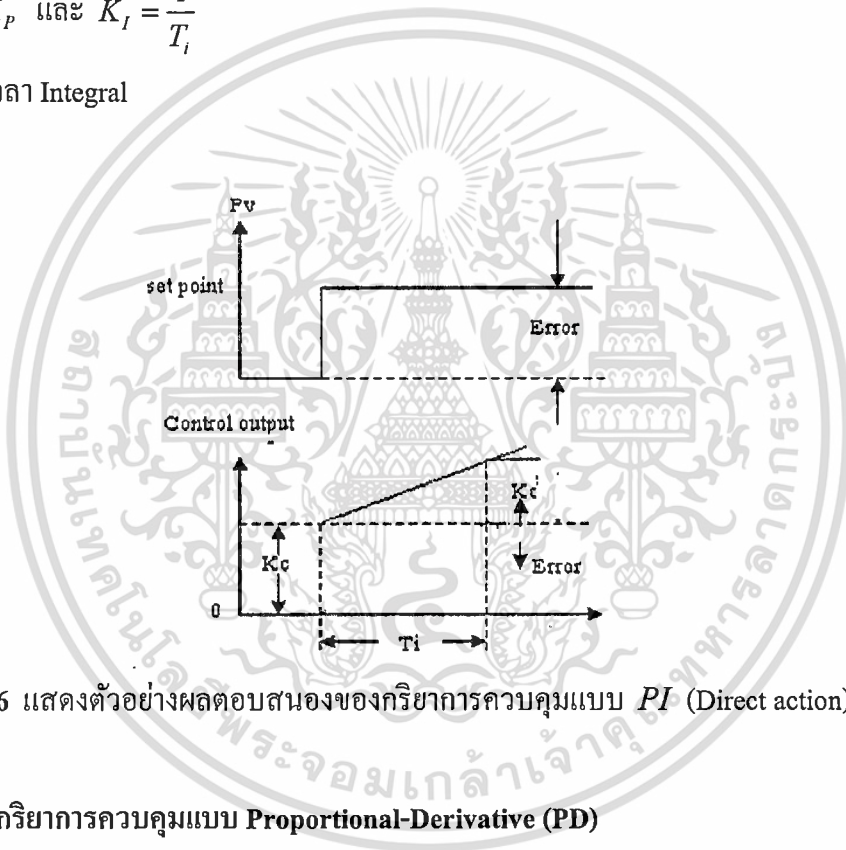
$$m_{PI}(t) = \bar{m} + K_p e(t) + K_p K_I \int_0^t e(t) dt \quad (3.7)$$

หรือ

$$m_{PI}(t) = \bar{m} + K_c e(t) + \frac{K_c}{T_i} \int_0^t e(t) dt \quad (3.8)$$

เมื่อ  $K_C = K_p$  และ  $K_I = \frac{1}{T_i}$

$T_i$  = ค่าเวลา Integral



รูปที่ 3.6 แสดงตัวอย่างผลตอบสนองของฏการการควบคุมแบบ PI (Direct action)

- ฏการการควบคุมแบบ **Proportional-Derivative (PD)**

การประยุกต์ใช้ฏการการควบคุมแบบ P ร่วมกับฏการการควบคุมแบบ D เพื่อให้ผลตอบสนองของระบบรวดเร็วขึ้น แต่จะไม่มีผลโดยตรงต่อผลตอบสนองของระบบที่สภาวะคงที่ซึ่งสมการเอาท์พุทของฏการการควบคุมแบบ PD แสดงดังสมการ (3.9) ต่อไปนี้

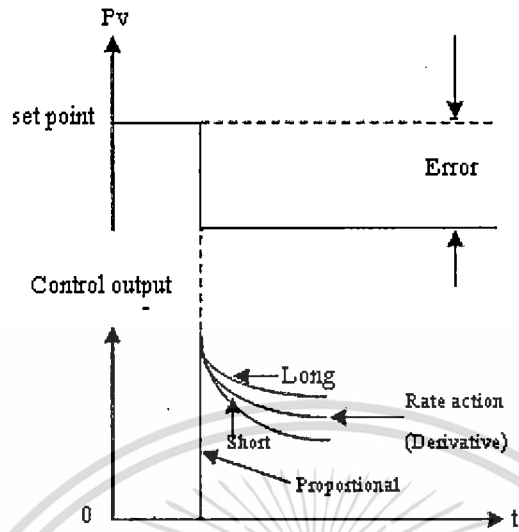
$$m_{PD}(t) = \bar{m} + K_p e(t) + K_p K_D \frac{de(t)}{dt} \quad (3.9)$$

หรือ

$$m_{PD}(t) = \bar{m} + K_c e(t) + K_c T_d \frac{de(t)}{dt} \quad (3.10)$$

เอกสารนี้เป็นเอกสารที่สงวนไว้สำหรับการใช้งานเพื่อการศึกษาเท่านั้น ไม่อนุญาตให้นำไปใช้ประโยชน์ด้านการค้า ไม่ว่ากรณีใดๆ ทั้งสิ้น อีกทั้งห้ามมิให้ดัดแปลงเนื้อหา และต้องอ้างอิงถึงเจ้าของเอกสารทุกครั้งที่มีการนำไปใช้

เมื่อ  $K_D = T_d$   
 $T_d =$  ค่าเวลา Derivative



รูปที่ 3.7 แสดงตัวอย่างผลตอบสนองของกิริยาการควบคุมแบบ PD

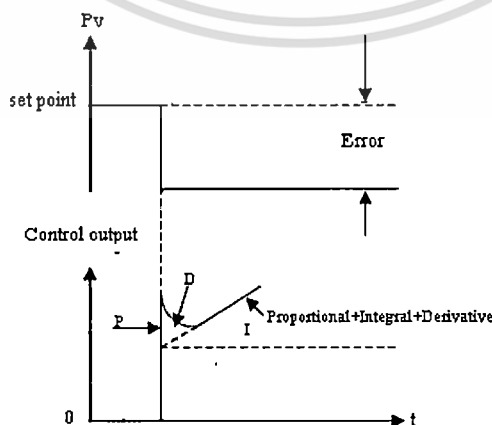
- กิริยาการควบคุมแบบ Proportional – Integral- Derivative (PID)

เพื่อให้ผลตอบสนองของระบบควบคุมมีสมรรถนะเป็นไปตามต้องการ จึงใช้กิริยาการควบคุมทั้ง 3 แบบ ร่วมกัน ซึ่งจะทำให้ได้กิริยาการควบคุมแบบ PID ที่มีสมการดัง (3.11) ต่อไปนี้

$$m_{PID}(t) = \bar{m} + K_p e(t) + K_p K_i \int_0^t e(t) dt + K_p K_D \frac{de(t)}{dt} \tag{3.11}$$

หรือ

$$m_{PID}(t) = \bar{m} + K_c e(t) + \frac{K_c}{T_i} \int_0^t e(t) dt + K_c T_d \frac{de(t)}{dt} \tag{3.12}$$



รูปที่ 3.8 แสดงตัวอย่างผลตอบสนองของกิริยาการควบคุมแบบ PI (Direct action)

เอกสารนี้เป็นเอกสารที่สงวนไว้สำหรับการใช้งานเพื่อการศึกษาเท่านั้น ไม่อนุญาตให้นำไปใช้ประโยชน์ด้านการค้า  
 ไม่ว่ากรณีใดๆ ทั้งสิ้น อีกทั้งห้ามมิให้ตัดแปลงเนื้อหา และต้องอ้างอิงถึงเจ้าของเอกสารทุกครั้งที่มีการนำไปใช้

### 3.3 ทฤษฎีของดีคัปปลิง

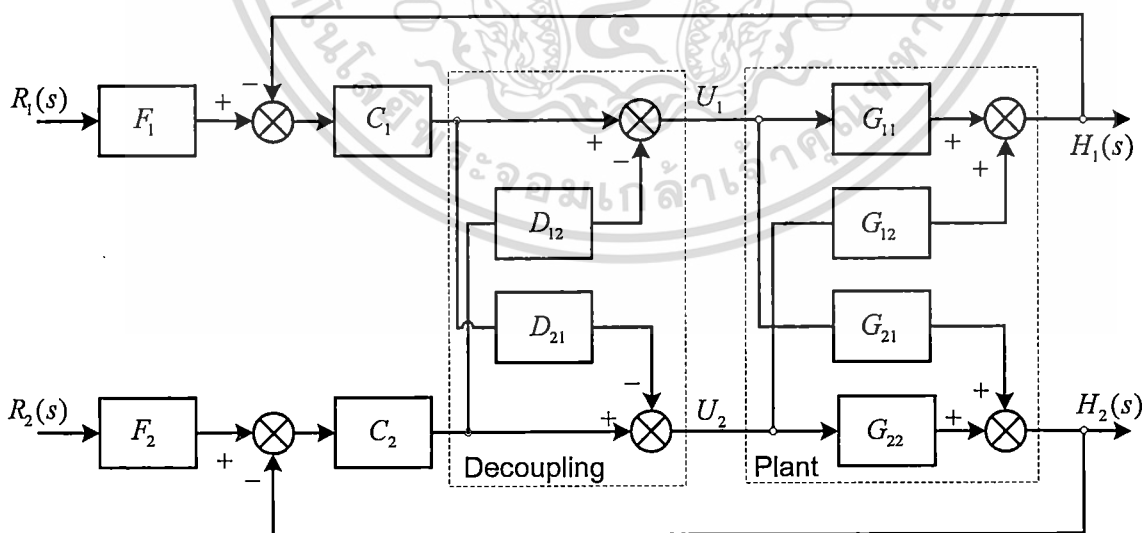
ดีคัปปลิงไม่ใช่วิธีการออกแบบตัวควบคุมอย่างที่หลายคนเข้าใจแต่อย่างใด แต่จะเป็นวิธีการที่ช่วยให้การออกแบบหาค่าพารามิเตอร์ของตัวควบคุมสำหรับกระบวนการที่มีความซับซ้อนให้สามารถออกแบบได้ง่ายขึ้นซึ่งจะเหมาะกับกระบวนการที่มีสองอินพุตสองเอาต์พุตขึ้นไป สำหรับกระบวนการระดับน้ำสองถังที่มีผลต่อกันเป็นอีกหนึ่งกระบวนการที่มีสองอินพุตสองเอาต์พุตและระบบมีการคัปเปิลกันทำให้เกิดการกวนกันของระบบ วิธีดีคัปปลิงจึงเหมาะกับวิธีการนี้เป็นอย่างมากเนื่องจากวิธีการดังกล่าวจะช่วยลดผลกระทบระหว่างถังน้ำทั้งสอง

หลักการการทำงานของวิธีการดังกล่าวจะเป็นการนำดีคัปปลิงมาต่อร่วมกับกระบวนการเพื่อลดผลกระทบที่มีต่อกันระหว่างระดับน้ำของทั้งสองถัง ถ้ากำหนดให้ทรานส์เฟอร์ฟังก์ชันของกระบวนการระดับน้ำสองถังที่มีผลกระทบต่อกันคือ  $G(s)$  และทรานส์เฟอร์ฟังก์ชันของดีคัปปลิงคือ  $D(s)$  วิธีการก็นำดีคัปปลิงไปคูณกับกระบวนการแล้วจะได้ทรานส์เฟอร์ฟังก์ชันของกระบวนการใหม่ขึ้นมาคือ  $G_n(s)$  ซึ่งทรานส์เฟอร์ฟังก์ชันของกระบวนการใหม่ที่เกิดขึ้นถ้าเขียนให้อยู่ในรูปของ ทรานส์เฟอร์เมทริกซ์แล้วจะต้องเป็นเมทริกซ์ทแยงมุม [1] แสดงได้ดังสมการที่ 3.14

$$D(s)G(s) = G_n(s) \quad (3.13)$$

จากสมการที่ 3.13 เขียนให้อยู่ในรูปทรานส์เฟอร์เมทริกซ์จะได้

$$\begin{bmatrix} D_{11}(s) & D_{12}(s) \\ D_{21}(s) & D_{22}(s) \end{bmatrix} \begin{bmatrix} G_{11}(s) & G_{12}(s) \\ G_{21}(s) & G_{22}(s) \end{bmatrix} = \begin{bmatrix} G_{n1}(s) & 0 \\ 0 & G_{n2}(s) \end{bmatrix} \quad (3.14)$$



รูปที่ 3.9 แสดงโครงสร้างของกระบวนการเมื่อต่อร่วมกับตัวควบคุม

เอกสารนี้เป็นเอกสารที่สงวนไว้สำหรับการใช้งานเพื่อการศึกษาเท่านั้น ไม่อนุญาตให้นำไปใช้ประโยชน์ด้านการค้า ไม่ว่ากรณีใดๆ ทั้งสิ้น อีกทั้งห้ามมิให้ดัดแปลงเนื้อหา และต้องอ้างอิงถึงเจ้าของเอกสารทุกครั้งที่มีการนำไปใช้

จากรูปที่ 3.9 เป็นโครงสร้างของกระบวนการระดับน้ำสองถังที่มีผลต่อกัน (Coupled-Tank Process) ที่ต่อร่วมกับโครงสร้างของดีคัปปลิ่ง โดยที่  $R_1$  และ  $R_2$  คือค่าเป้าหมาย (Set Point) ของกระบวนการ,  $c_1$  และ  $c_2$  คือตัวควบคุม (Controller) ของกระบวนการ,  $u_1$  และ  $u_2$  คือ Manipulate Variable :MV,  $h_1$  และ  $h_2$  คือค่าเอาต์พุต (Process Variable) ของกระบวนการ เราสามารถหาสมการของตัวควบคุมในรูปของเมทริกซ์ทแยงมุม (Diagonal Matrix) ได้ดังสมการที่ 3.15

$$C(s) = \begin{bmatrix} C_1(s) & 0 \\ 0 & C_2(s) \end{bmatrix} \quad (3.15)$$

แทนสมการที่ 3.14 ลงในสมการที่ 3.13 จะได้

$$\begin{aligned} D(s) &= G(s)^{-1} G_n(s) \\ &= \frac{1}{G_{11}(s)G_{22}(s) - G_{12}(s)G_{21}(s)} \begin{bmatrix} G_{22}(s)G_{n1}(s) & -G_{12}(s)G_{n2}(s) \\ -G_{21}(s)G_{n1}(s) & G_{11}(s)G_{n2}(s) \end{bmatrix} \end{aligned} \quad (3.16)$$

เมื่อค่าสมาชิก  $G_{11}(s)$ ,  $G_{12}(s)$ ,  $G_{21}(s)$  และ  $G_{22}(s)$  ในสมการที่ 3.16 เป็นค่าตัวแปรที่รู้ค่า เนื่องจากเป็นค่าของตัวแปรที่ได้จากกระบวนการ แต่ค่าที่เราไม่รู้ค่าก็คือค่าสมาชิกของ  $G_{n1}(s)$  และ  $G_{n2}(s)$  ซึ่งจะต้องออกแบบดีคัปปลิ่งเพื่อหาค่าของค่าตัวแปรดังกล่าว

### 3.3.1 ดีคัปปลิ่งในทางอุดมคติ (Ideal Decoupling)

กฎข้อแรกในการพิจารณาการออกแบบดีคัปปลิ่งสำหรับกระบวนการที่ประกอบไปด้วยทรานส์เฟอร์ฟังก์ชันของ  $G_{n1}(s)$  และ  $G_{n2}(s)$  เมื่อทรานส์เฟอร์เมทริกซ์ของดีคัปปลิ่งคือ  $D(s)$  โดยพิจารณาจากสมการที่ 3.16 ค่าสมาชิกของตัวควบคุม  $C_1(s)$  และ  $C_2(s)$  จะต้องแยกอิสระจากกันและจะถูกนำไปควบคุมกระบวนการ  $G_{n1}(s)$  และ  $G_{n2}(s)$  ตามลำดับ ส่วนเงื่อนไขในการเลือก  $G_n(s)$  ก็คือเลือกค่า  $G_{n1}(s) = G_{11}(s)$  และ  $G_{n2}(s) = G_{22}(s)$  ซึ่งวิธีการเลือกแบบนี้จะทำให้ตัวควบคุมที่ออกแบบสามารถควบคุมกระบวนการได้ทั้งสองรูปแบบถ้าหากว่ารูปแบบใดรูปแบบหนึ่งถูกปรับให้อยู่ในโหมดปกติ (Manual Mode) เทคนิคนี้ถูกเรียกว่า “ดีคัปปลิ่งในทางอุดมคติ (Ideal Decoupling)” ถูกคิดขึ้นโดย Luyben [1] อย่างไรก็ตามการนำเทคนิคดังกล่าวไปใช้งานจริงหลายครั้งมักจะเกิดปัญหาตามมา

### 3.3.2 ดีคัปปลิ่งแบบง่าย (Simplified Decoupling)

กฎข้อที่ 2 สำหรับการออกแบบดีคัปปลิ่งของ ลูเบน (Luyben) [1] เรียกว่า “ดีคัปปลิ่งแบบง่าย (Simplified Decoupling)” ซึ่งมีวิธีการเลือกดีคัปปลิ่งสามารถทำได้ตามสมการด้านล่าง

$$D_{11}(s) = D_{22}(s) = 1 \quad (3.17)$$

$$D_{12}(s) = -\frac{G_{12}(s)}{G_{11}(s)} \quad (3.18)$$

เอกสารนี้เป็นเอกสารที่จัดทำขึ้นไว้สำหรับการใช้งานเพื่อการศึกษาเท่านั้น ไม่อนุญาตให้นำไปใช้ประโยชน์ด้านการค้า  
ไม่ว่ากรณีใดๆ ทั้งสิ้น อีกทั้งห้ามมิให้ตัดแปลงเนื้อหา และต้องอ้างอิงถึงเจ้าของเอกสารทุกครั้งที่มีการนำไปใช้

$$D_{21}(s) = -\frac{G_{21}(s)}{G_{22}(s)} \quad (3.19)$$

จากสมการที่ 3.17, 3.18 และสมการที่ 3.19 เขียนให้อยู่ในรูปของทรานส์เฟอร์เมทริกซ์จะได้

$$D(s) = \begin{bmatrix} 1 & -\frac{G_{12}(s)}{G_{11}(s)} \\ -\frac{G_{21}(s)}{G_{22}(s)} & 1 \end{bmatrix} \quad (3.20)$$

หลังจากที่เราเพิ่มดีคัปปลิ่งเข้าไปในกระบวนการจะทำให้กระบวนการมีลักษณะเหมือนกับระบบแบบ SISO สองกระบวนการแยกจากกันคือ

$$H_1(s) = C_1(s)G_{n_1}(s)E_1(s) \quad (3.21)$$

$$H_2(s) = C_2(s)G_{n_2}(s)E_2(s) \quad (3.22)$$

จากสมการที่ 3.20 ทำให้เราได้ค่าดีคัปปลิ่งและทำให้เราสามารถนำค่าของดีคัปปลิ่งไปคำนวณหาค่าทรานส์เฟอร์ฟังก์ชันของกระบวนการใหม่ได้ดังนี้

$$G_{n_1}(s) = G_{11}(s) + D_{21}(s)G_{12}(s) = G_{11}(s) - \frac{G_{21}(s)}{G_{22}(s)}G_{12}(s) \quad (3.23)$$

$$G_{n_2}(s) = G_{22}(s) + D_{12}(s)G_{21}(s) = G_{22}(s) - \frac{G_{12}(s)}{G_{11}(s)}G_{21}(s) \quad (3.24)$$

จากสมการที่ 3.23 และสมการที่ 3.24 เขียนให้อยู่ในรูปของทรานส์เฟอร์เมทริกซ์จะได้

$$G_n(s) = \begin{bmatrix} G_{11}(s) - \frac{G_{12}(s)G_{21}(s)}{G_{22}(s)} & 0 \\ 0 & G_{22}(s) - \frac{G_{12}(s)G_{21}(s)}{G_{11}(s)} \end{bmatrix} \quad (3.25)$$

จากสมการที่ 3.25 เราจะได้กระบวนการใหม่ขึ้นมาสองกระบวนการคือ  $G_{n_1}(s)$  และ  $G_{n_2}(s)$  ซึ่งกระบวนการทั้งสองแยกอิสระต่อกัน ทำให้เราสามารถนำสมการที่ได้ไปออกแบบตัวควบคุมได้

สำหรับกฎข้อที่ 2 สำหรับการออกแบบดีคัปปลิ่งของ ลูเบน (Luyben) นี้ทำให้สามารถหาค่าของดีคัปปลิ่งได้ง่าย แต่สมการของทรานส์เฟอร์ฟังก์ชันใหม่ที่ได้มาจะมีความซับซ้อนพอสมควรเนื่องจากการบวกกันของทรานส์เฟอร์ฟังก์ชัน [2] แต่อย่างไรก็ตามวิธีการนี้เมื่อนำไปเปรียบเทียบกับวิธีการแรกแล้วการคำนวณหาค่าดีคัปปลิ่งนั้นง่ายกว่าและสามารถนำไปใช้งานจริงได้ ดังนั้นในงานวิจัยนี้ผู้วิจัยจึงได้นำเอากฎในการออกแบบดีคัปปลิ่งข้อที่ 2 ของ ลูเบน (Luyben) มาใช้

เอกสารนี้เป็นเอกสารที่สงวนไว้สำหรับการใช้งานเพื่อการศึกษาเท่านั้น ไม่อนุญาตให้นำไปใช้ประโยชน์ด้านการค้า  
ไม่ว่ากรณีใดๆ ทั้งสิ้น อีกทั้งห้ามมิให้ดัดแปลงเนื้อหา และต้องอ้างอิงถึงเจ้าของเอกสารทุกครั้งที่มีการนำไปใช้

### 3.3.3 ตัวอย่างการออกแบบดีคัปปลิ่ง

สำหรับในหัวข้อนี้จะยกตัวอย่างการหาค่าดีคัปปลิ่งสมมุติให้ค่าทรานส์เฟอร์เมทริกซ์ของฟังก์ชันหนึ่งเป็น

$$G(s) = \begin{bmatrix} \frac{4}{1+10s} & \frac{3}{1+10s} \\ \frac{3}{1+10s} & \frac{4}{1+10s} \end{bmatrix} \quad (3.26)$$

จากทรานส์เฟอร์เมทริกซ์จะเห็นได้ว่ากระบวนการเป็นกระบวนการแบบอันดับหนึ่งโดยสมาชิกทุกตัวของทรานส์เฟอร์เมทริกซ์ไม่มีซีโรและมีโพลวงรอบเปิด (Open-Loop Pole) อยู่ที่ตำแหน่งเดียวกันคือ  $s = -0.1$  สามารถหาค่าดีคัปปลิ่งได้จากสมการที่ 3.17 สมการที่ 3.18 และสมการที่ 3.19 จะได้ว่า

$$D_{11}(s) = D_{22}(s) = 1 \quad (3.27)$$

หาค่า  $D_{12}(s)$  จากสมการที่ 3.18 จะได้ว่า

$$D_{12}(s) = -\frac{G_{12}}{G_{11}} = -\left(\frac{3}{1+10s} \cdot \frac{1+10s}{4}\right) = -\frac{3}{4} \quad (3.28)$$

หาค่า  $D_{21}(s)$  จากสมการที่ 3.19 จะได้ว่า

$$D_{21}(s) = -\frac{G_{21}}{G_{22}} = -\left(\frac{3}{1+10s} \cdot \frac{1+10s}{4}\right) = -\frac{3}{4} \quad (3.29)$$

เขียนให้อยู่ในรูปของทรานส์เฟอร์เมทริกซ์จะได้

$$D(s) = \begin{bmatrix} 1 & -3/4 \\ -3/4 & 1 \end{bmatrix} \quad (3.30)$$

หาทรานส์เฟอร์ฟังก์ชันใหม่ที่เกิดขึ้นหลังจากที่เพิ่มดีคัปปลิ่งเข้าไปได้จากสมการที่ 3.23 และสมการที่ 3.24 ซึ่งจะหา  $G_{m1}(s)$  ได้ดังนี้

$$\begin{aligned} G_{m1}(s) &= G_{11} - \frac{G_{12}G_{21}}{G_{22}} \\ &= \frac{3}{1+10s} - \left(\frac{4}{1+10s} \cdot \frac{4}{1+10s}\right) \left(\frac{1+10s}{3}\right) \\ &= -\frac{7}{3(1+10s)} \end{aligned} \quad (3.31)$$

และหา  $G_{m2}(s)$  ได้ดังนี้

เอกสารนี้เป็นเอกสารที่สงวนไว้สำหรับการใช้งานเพื่อการศึกษาเท่านั้น ไม่อนุญาตให้นำไปใช้ประโยชน์ด้านการค้า ไม่ว่าจะกรณีใดๆ ทั้งสิ้น อีกทั้งห้ามมิให้ดัดแปลงเนื้อหา และต้องอ้างอิงถึงเจ้าของเอกสารทุกครั้งที่มีการนำไปใช้

$$\begin{aligned}
 G_{n_{22}}(s) &= G_{22} - \frac{G_{12}G_{21}}{G_{22}} \\
 &= \frac{3}{1+10s} - \left( \frac{4}{1+10s} \cdot \frac{4}{1+10s} \right) \left( \frac{1+10s}{3} \right) \\
 &= -\frac{7}{3(1+10s)}
 \end{aligned} \tag{3.32}$$

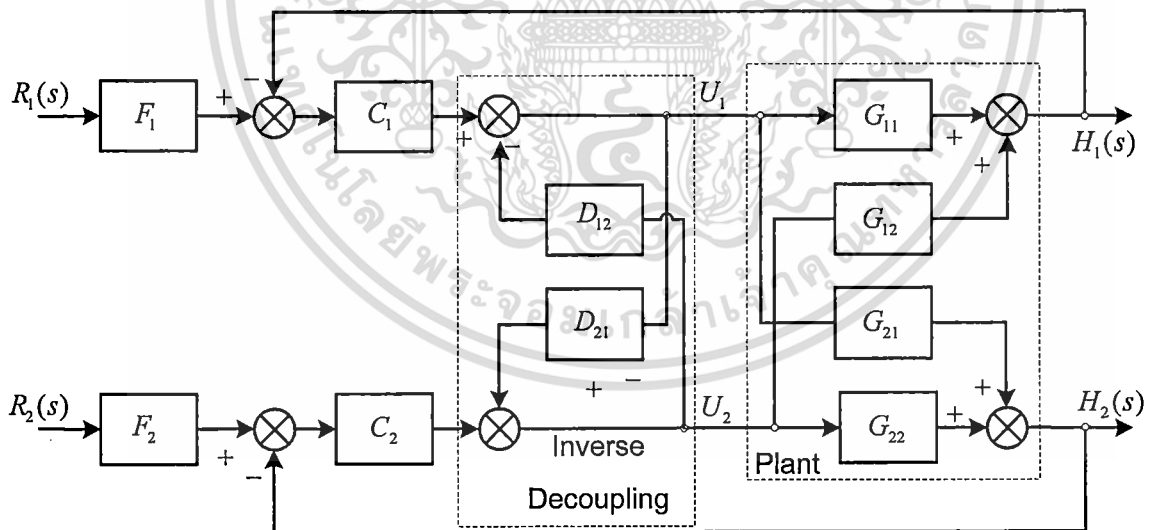
เขียนสมการใหม่ให้อยู่ในรูปแบบของทรานส์เฟอร์เมทริกซ์ได้ดังนี้

$$G_n(s) = \begin{bmatrix} -\frac{7}{3(1+10s)} & 0 \\ 0 & -\frac{7}{3(1+10s)} \end{bmatrix} \tag{3.33}$$

ค่า  $G_n(s)$  ใหม่ที่ได้นี้สามารถนำไปออกแบบตัวควบคุมสำหรับควบคุมต่อไป

### 3.3.4 ดีคัปปลิงแบบอินเวอร์ส (Inverse Decoupling)

หลักการออกแบบชุดดีคัปปลิงแบบอินเวอร์สนั้นการหาค่าพารามิเตอร์ของชุดดีคัปปลิงมีหลักการเช่นเดียวกับการออกแบบดีคัปปลิงแบบพื้นฐานแต่การเชื่อมต่อเข้ากับกระบวนการ TITO นั้นจะมีลักษณะการเชื่อมต่อดังแสดงได้ในรูปที่ 3.10



รูปที่ 3.10 โครงสร้างระบบควบคุมสำหรับกระบวนการระดับน้ำแบบ 4 ถัง  
ที่ประกอบด้วยชุดอินเวอร์สดีคัปปลิง

เอกสารนี้เป็นเอกสารที่สงวนไว้สำหรับการใช้งานเพื่อการศึกษาเท่านั้น ไม่อนุญาตให้นำไปใช้ประโยชน์ด้านการค้า  
ไม่ว่ากรณีใดๆ ทั้งสิ้น อีกทั้งห้ามมิให้ดัดแปลงเนื้อหา และต้องอ้างอิงถึงเจ้าของเอกสารทุกครั้งที่มีการนำไปใช้

### 3.4 ระบบควบคุมแบบปรับตัวเอง (Adaptive Control System)

ตัวควบคุมแบบ Adaptive หมายถึงตัวควบคุมที่สามารถปรับตัวเองได้ในการตอบสนองต่อการเปลี่ยนแปลงที่พลศาสตร์ของกระบวนการและคุณสมบัติของสิ่งรบกวน

วิธีการของ Ziegler Nichols คือการกำหนดปฏิบัติการค่าคงที่ให้กับพารามิเตอร์ตัวควบคุมแบบพีไอ คือ  $K_c$ ,  $T_i$  และ  $T_d$  แต่บางระบบผลตอบสนองไม่สามารถบอกได้จึงทำให้ค่าพารามิเตอร์ของตัวควบคุมแบบพีไอเหล่านี้ไม่สามารถทำงานได้อย่างมีประสิทธิภาพ แต่ตัวควบคุมแบบปรับตัวเองได้ (Adaptive Controller) สามารถช่วยให้ทั้งเสถียรรูปและการตอบสนองของระบบมีผลที่ดี. การเปลี่ยนแปลงสัมประสิทธิ์และอัลกอริทึมของการควบคุมแบบ Real time เพื่อชดเชยการเปลี่ยนแปลงในระบบด้วยตัวของมันเอง. โดยทั่วไปตัวควบคุมจะตรวจสอบการทำงานของระบบเป็นระยะๆ จากทรานส์เฟอร์ฟังก์ชันของระบบและปรับเปลี่ยนอัลกอริทึมการควบคุม. โดยมันสามารถเรียนรู้เกี่ยวกับพฤติกรรมของกระบวนการในขณะที่กำลังทำการควบคุมไปพร้อมๆ กันได้

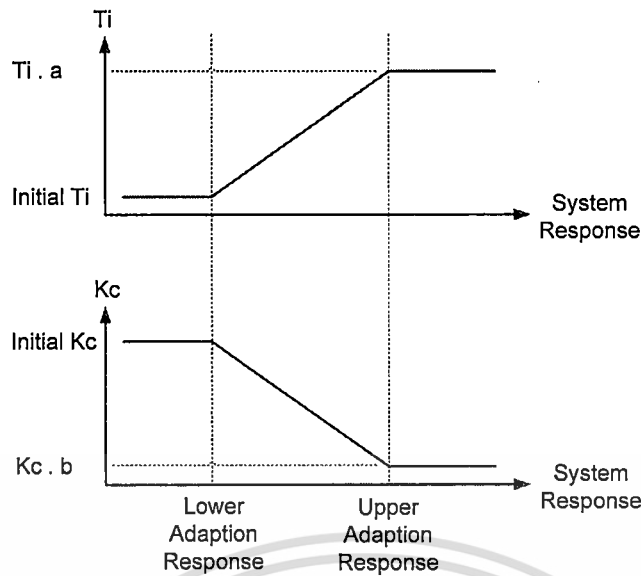
#### 3.4.1 อัลกอริทึมการปรับตัวเองสำหรับพารามิเตอร์ ( $K_c$ ) และ ( $T_i$ ) ของตัวควบคุมพีไอดี

เกณฑ์ ( $K_c$ ) และ ( $T_i$ ) ของตัวควบคุมพีไอดีมีผลโดยตรงต่อผลตอบสนองของระบบ เทอมของ  $T_i$  มีผลต่อความสัมพันธ์กับความผิดพลาดของระบบที่แตกต่างกันระหว่างระบบอ้างอิงกับเอาต์พุตของระบบและเกณฑ์ ( $K_c$ ) มีผลโดยตรงต่อค่าคงที่เวลา (Time Constant) และค่าพุ่งเกิน (Overshoot) ของระบบ บางครั้งก็ไม่ได้กล่าวถึง ( $T_d$ ) เนื่องจากตัวควบคุม PI ก็เพียงพอแล้วสำหรับระบบในอุตสาหกรรม ซึ่งตรงกันข้าม เกณฑ์ ( $K_c$ ) และเทอมของ ( $T_i$ ) ที่ใช้ในการปรับตัวเองของพีไอดี เนื่องจากว่าตัวควบคุมแบบพีไอดีจะกลายเป็นตัวควบคุมแบบ PI-Adaptive Self Tune Based และ D-Self Tune Based (PI-D) อัลกอริทึมของเทอมพีไอกำหนดไว้ดังรูปที่ 3.11 และสมการของพีไอกำหนดไว้ดังสมการ 3.34

$$T_{i_{ADAPT}} = \frac{T_{i(S.TUNE)}(a-1)}{U_{ADAPT} - L_{ADAPT}} (R_{RESPONSE} - L_{ADAPT}) + T_{i(S.TUNE)} \quad a > 1$$

$$T_{C_{ADAPT}} = \frac{K_{C(S.TUNE)}(b-1)}{U_{ADAPT} - L_{ADAPT}} (R_{RESPONSE} - L_{ADAPT}) + K_{C(S.TUNE)} \quad 1 > b \geq 0$$
(3.34)

เอกสารนี้เป็นเอกสารที่สงวนไว้สำหรับการใช้งานเพื่อการศึกษาเท่านั้น ไม่อนุญาตให้นำไปใช้ประโยชน์ด้านการค้า  
ไม่ว่ากรณีใดๆ ทั้งสิ้น อีกทั้งห้ามมิให้ดัดแปลงเนื้อหา และต้องอ้างอิงถึงเจ้าของเอกสารทุกครั้งที่มีการนำไปใช้



รูปที่ 3.11 อัลกอริทึมในการปรับตัวเอง

ในรูปที่ 3.11 ค่าเริ่มต้นของ ( $K_c$ ) และค่าเริ่มต้นของ  $T_i$  เป็นค่าสัมประสิทธิ์ที่พบในวิธีการหาปฏิกริยาของกระบวนการของ Ziegler-Nichols “a” คือสัมประสิทธิ์ของเทอม ( $T_i$ ) เหนือเส้นกราฟ และ “b” คือสัมประสิทธิ์ของเทอม ( $K_c$ ) ใต้เส้นกราฟซึ่งสามารถกล่าวได้ว่า a มีค่ามากกว่า 1 และ b มีค่าอยู่ระหว่าง 0 ถึง 1 ผลตอบสนองของระบบแทนด้วยสัญลักษณ์ทางเอาต์พุต (Voltage, Degrees, Speed, Moment etc.) ตัวอย่างเช่น ผลตอบสนองเอาต์พุตของความเร็วมอเตอร์, Lower Adaption Response คือ ค่าที่ต่ำกว่าความเร็วมอเตอร์ (rpm) และ Upper Adaption Response คือค่าที่สูงกว่าความเร็วมอเตอร์ (rpm) ซึ่งอัลกอริทึมของ Adaptive จะทำงานอยู่ในช่วงนี้

จากเส้น lower adaption อัลกอริทึมจะเริ่มทำงาน โดยเพิ่มค่า ( $T_i$ ) และลดค่า ( $K_c$ ) ซึ่งเหตุผลในการเพิ่มค่า  $T_i$  เพื่อให้ค่าผิดพลาดมีค่าน้อยที่สุดก่อนเข้าสู่ภาวะคงตัวและเหตุผลในการลดค่า ( $K_c$ ) เพื่อไม่ให้มีค่าพุ่งเกินหรือไม่ให้ผลตอบสนองของระบบมีค่าพุ่งเกินที่สูงเกินไป

### 3.5 Model Reference Adaptive Control

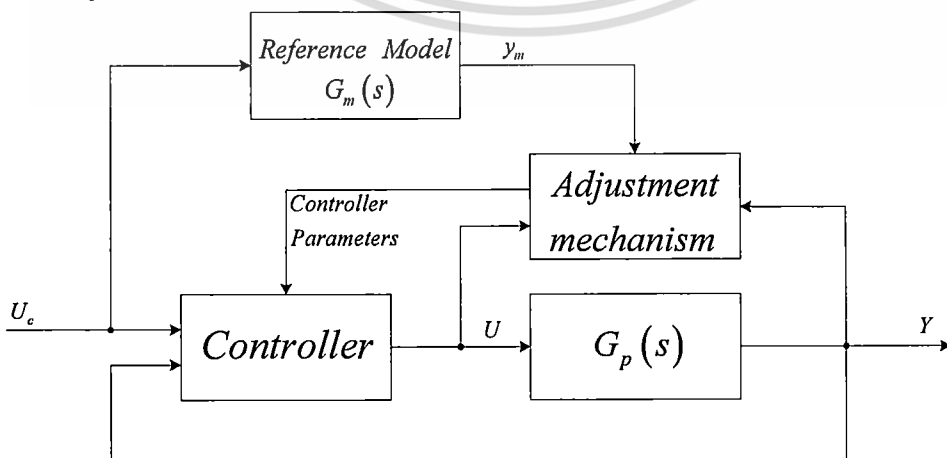
การควบคุมที่ปรับตัวได้ ในระหว่างการพัฒนาทฤษฎีการควบคุมแนวใหม่ จะพบว่าการควบคุมที่ถูกสังเคราะห์โดยการประมาณระบบที่ต้องการควบคุมให้อยู่ในรูปของสมการอนุพันธ์เชิงเส้นไม่แปรตามเวลา และออกแบบตัวควบคุมโดยวิธีสเตป้อนกลับ มีคุณสมบัติที่ถูกกำหนดค่าตายตัว (ซึ่งต่อไปจะเรียกตัวควบคุมชนิดนี้ว่า การควบคุมคงที่ หรือ Fixed Controller) การควบคุมคงที่ดังกล่าวไม่สามารถควบคุมพฤติกรรมของระบบให้เป็นไปตามความต้องการ ได้ทุกสถานการณ์ โดยเฉพาะอย่างยิ่งถ้ากระบวนการที่ถูกควบคุมมีตัวแปรที่ไม่ทราบค่า หรือ แปรค่าไปตามเวลา

เอกสารนี้เป็นเอกสารที่สงวนไว้สำหรับการใช้งานเพื่อการศึกษาเท่านั้น ไม่อนุญาตให้นำไปใช้ประโยชน์ด้านการค้า ไม่ว่าจะกรณีใดๆ ทั้งสิ้น อีกทั้งห้ามมิให้ดัดแปลงเนื้อหา และต้องอ้างอิงถึงเจ้าของเอกสารทุกครั้งที่มีการนำไปใช้

ในช่วงหลังของยุค 1950 ได้มีความสนใจในเรื่องการควบคุมที่ปรับตัวได้มากขึ้น โดยเริ่มจาก gain scheduling technique ซึ่งเป็นการควบคุมที่ปรับพารามิเตอร์ของตัวควบคุมไปตามสภาวะแวดล้อมที่สังเกตได้ (คล้ายกับเป็นการสังเกตสภาวะแวดล้อมจากนั้นเปิดตารางเพื่อหาค่าพารามิเตอร์หรือเกณฑ์ที่เหมาะสม) การจะออกแบบตัวควบคุมแบบนี้สามารถทำได้เมื่อเรารู้ความสัมพันธ์ที่แน่นอนระหว่างพฤติกรรมของกระบวนการกับสภาวะภายนอกซึ่งสามารถวัดได้ เช่น ปฏิกริยาของเครื่องบินจากคำสั่งของนักบินนี้โดยตรงกับระดับความสูงของเครื่องบิน เนื่องจากพฤติกรรมของเครื่องบินเป็นที่ทราบกันว่าเป็นฟังก์ชันอย่างไรก็ตามกับความสูง ดังนั้นจึงสามารถออกแบบตัวควบคุมที่สามารถปรับตัวไปตามระดับความสูงต่างๆ

คำนิยามของ ระบบควบคุมที่ปรับตัวได้ มีอยู่หลายนิยาม ยกตัวอย่างเช่น ระบบที่มีการควบคุมซึ่งสามารถปรับตัวเองให้เหมาะสมตามการเปลี่ยนแปลงของกระบวนการ แต่นิยามที่ใช้กันมากที่สุดคือ ระบบที่ประกอบด้วย การป้อนกลับปฐมภูมิ (Primary Feedback) ซึ่งคอยดูการเปลี่ยนแปลงสัญญาณของกระบวนการ และการป้อนกลับทุติยภูมิ (Secondary Feedback) ซึ่งเกี่ยวข้องกับการเปลี่ยนแปลงพารามิเตอร์ของส่วนควบคุม จากนิยามนี้การป้อนกลับปฐมภูมิเป็นเช่นดังการควบคุมที่ไม่สามารถปรับตัวได้โดยทั่วไป ในขณะที่การป้อนกลับทุติยภูมิจะทำให้เกิดสภาวะที่สามารถปรับตัวได้ การควบคุมที่ปรับตัวได้ดังที่ได้นิยามข้างต้นต่างจากเทคนิค Gain Scheduling ตรงที่ Gain Scheduling ไม่ได้ใช้การป้อนกลับทุติยภูมิเป็นกลไกในการปรับพารามิเตอร์ แต่ใช้กลไกของการวัดสภาวะแวดล้อมภายนอก ดังนั้น เทคนิค Gain Scheduling อาจไม่นับว่าเป็นการควบคุมที่ปรับตัวได้ จุดประสงค์ของการเปลี่ยนแปลงพารามิเตอร์ในการป้อนกลับทุติยภูมิคือต้องการรักษาสมรรถนะ (Performance) ให้สูง แม้ว่าพารามิเตอร์ของกระบวนการอาจไม่ทราบค่าหรือมีค่าที่เปลี่ยนแปลง

การควบคุมแบบปรับตัวเองตามโมเดลอ้างอิง หรือ Model Reference Adaptive Control: MRAC ถูกคิดขึ้นโดย Whitaker เมื่อปี ค.ศ. 1958 โดยการสร้างลูการควบคุมเพิ่มขึ้นมาเพื่อปรับค่าพารามิเตอร์ของตัวควบคุม ทำให้ผลตอบสนองของระบบเปลี่ยนตามโมเดลอ้างอิง โครงสร้างของ MRAC แสดงดังรูปที่ 3.12



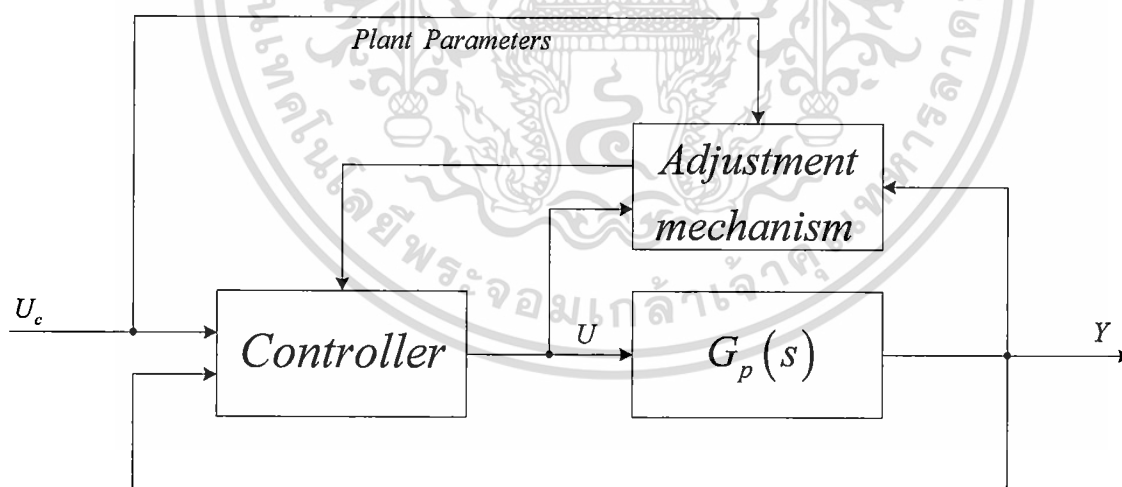
รูปที่ 3.12 โครงสร้างทั่วไปของ MRAC

เอกสารนี้เป็นเอกสารที่สงวนไว้สำหรับใช้เฉพาะในเชิงวิชาการเท่านั้น ไม่อนุญาตให้นำไปใช้ประโยชน์ด้านการค้า  
ไม่ว่ากรณีใดๆ ทั้งสิ้น อีกทั้งห้ามมิให้ตัดแปลงเนื้อหา และต้องอ้างอิงถึงเจ้าของเอกสารทุกครั้งที่มีการนำไปใช้

จากรูปที่ 3.12 มีการแบ่งลูปควบคุมออกเป็นสองลูป โดยที่ลูปป้อนกลับเดิมของระบบเรียกว่า ลูปภายในและลูปการปรับพารามิเตอร์ตัวควบคุมเรียกว่าลูปภายนอก การหาพารามิเตอร์ของตัวควบคุม คำนวณได้จากค่าความแตกต่างของสัญญาณเอาต์พุตของกระบวนการจริง  $y_p$  กับสัญญาณเอาต์พุต โมเดลอ้างอิง  $y_m$  เพื่อปรับพารามิเตอร์ของตัวควบคุม ให้เหมาะสม เพื่อลดค่าความแตกต่างของ สัญญาณเอาต์พุตทั้งสองให้น้อยลง หรือเป็นศูนย์ สำหรับงานวิจัยนี้จะออกแบบ MRAC ด้วยกฎของ MIT (MIT Rule) ซึ่งเริ่มจากการการคำนวณหาความแตกต่างของสัญญาณเอาต์พุตของกระบวนการจริง กับ โมเดลอ้างอิง

ความสามารถในการปรับตัวได้ของระบบปรับตัวทางอ้อมในรูปที่ 3.12 เกิดจากการป้อนกลับ ทดเทียบโดยส่วนประมาณจะประมาณพารามิเตอร์ของกระบวนการและส่งต่อไปให้กับส่วนออกแบบเพื่อ ออกแบบพารามิเตอร์ให้กับส่วนควบคุม เมื่อกระบวนการมีการเปลี่ยนแปลงพารามิเตอร์ ส่วนออกแบบ จะออกแบบพารามิเตอร์ของส่วนควบคุมให้เหมาะสมกับกระบวนการที่เปลี่ยนไป ส่วนควบคุมที่ได้รับการ ปรับพารามิเตอร์ตามกระบวนการนี้ จะควบคุมพฤติกรรมของกระบวนการ ด้วยกลไกของลูปป้อนกลับ ภูมิต่อไป

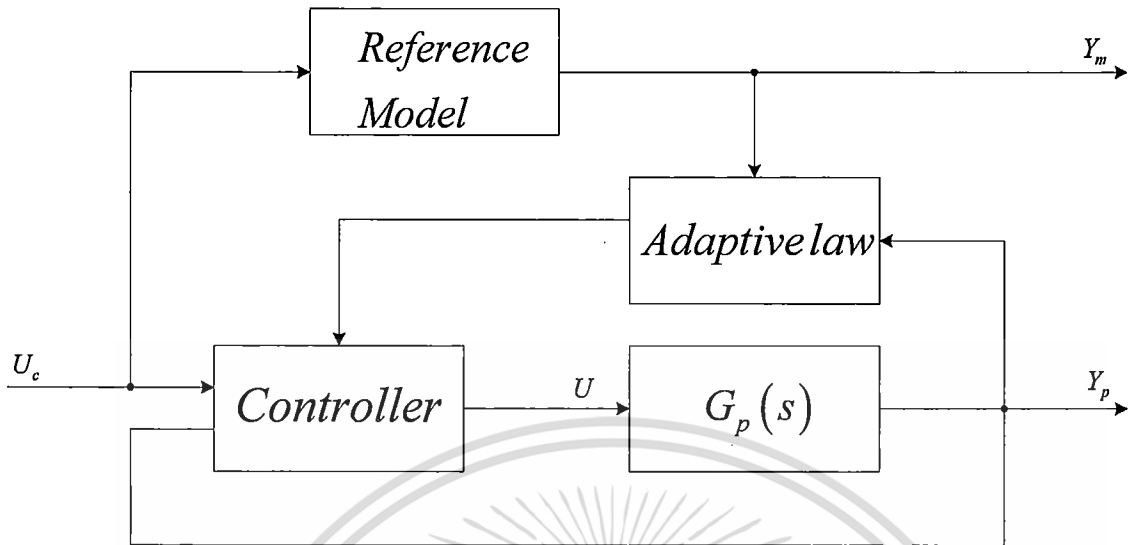
โครงสร้างระบบปรับตัวเองโดยตรงมีรูปแบบคล้ายกับระบบปรับตัวเองโดยอ้อมในรูปที่ 3.12 เพียงแต่ลบส่วนออกแบบทิ้ง และเปลี่ยนส่วนประมาณเป็นส่วนปรับพารามิเตอร์ของส่วนควบคุมดังใน รูปที่ 3.13



รูปที่ 3.13 โครงสร้างระบบปรับตัวเองโดยตรง

ทั้งโครงสร้างของ การปรับตัวโดยตรง และโดยอ้อม มีข้อดีและข้อเสีย ข้อดีแบบทางอ้อมคือ ความอิสระที่จะเลือกรูปแบบของส่วนออกแบบ ข้อดีที่สองของแบบทางอ้อมคือ การมีส่วนประมาณ พารามิเตอร์ จะทำให้ผู้ปฏิบัติการได้รู้ถึงสถานะปัจจุบันของกระบวนการและข้อผิดพลาดต่างๆ ของ กระบวนการ อย่างไรก็ตามการปรับตัวเองโดยอ้อมไม่สะดวกต่อการวิเคราะห์ทางทฤษฎี เพราะว่ เอกสารนี้เป็นเอกสารที่สงวนไว้สำหรับการใช้งานเพื่อการศึกษาเท่านั้น ไม่อนุญาตให้นำไปใช้ประโยชน์ด้านการค้า ไม่ว่ากรณีใดๆ ทั้งสิ้น อีกทั้งห้ามมิให้ดัดแปลงเนื้อหา และต้องอ้างอิงถึงเจ้าของเอกสารทุกครั้งที่มีการนำไปใช้

ระบบจะซับซ้อน โครงสร้างการปรับตัวเองโดยตรงมักจะซับซ้อนน้อยกว่า ดังนั้นเราสามารถพิสูจน์เสถียรรูปของระบบโดยรวมได้ง่ายกว่า



รูปที่ 3.14 บล็อกไดอะแกรม MRAC

ในรูปที่ 3.14 แสดงให้เห็นว่าส่วนควบคุมปฐมภูมิจะทำหน้าที่ควบคุมพฤติกรรมของระบบลูปปิดในลักษณะเดียวกันกับระบบที่ปรับตัวเองโดยทั่วไป อย่างไรก็ตามสถานการณ์ที่เราไม่ทราบค่าพารามิเตอร์ของระบบ หรือ พารามิเตอร์ของระบบแปลค่าไปตามเวลา การตั้งค่าพารามิเตอร์ของส่วนควบคุมปฐมภูมิให้ตายตัว จะไม่สามารถควบคุมพฤติกรรมของระบบลูปปิดให้เป็นไปตามต้องการได้ทุกสถานการณ์

โดยเทคนิคของ MRAC ผลตอบสนองหรือพฤติกรรมของระบบต่ออินพุต  $U_c$  ตามที่เราต้องการสามารถกำหนดโดยรูปแบบอ้างอิง หรือ Reference Model ซึ่งแสดงด้วย  $y_m$  องค์ประกอบในการปรับตัวจะติดตามเปรียบเทียบผลตอบสนองของกระบวนการ  $y_p$  กับ  $y_m$  และ ตั้งค่าพารามิเตอร์ให้กับส่วนควบคุมปฐมภูมิเพื่อที่จะนำผลตอบสนองของกระบวนการให้เข้าสู่ผลตอบสนองของโมเดลอ้างอิง ในองค์ประกอบของส่วนปรับตัว นอกจากใช้ผลตอบสนองของกระบวนการ  $y_p$  แล้วยังอาจใช้ สเตต (State) ของกระบวนการ  $x_p$  และอินพุตของกระบวนการ  $U_c$  ลักษณะของ MRAC ส่วนใหญ่มักจะเป็นการปรับตัวเองโดยตรง เพราะไม่มีส่วนของการประมาณพารามิเตอร์ของกระบวนการอย่างชัดเจน

จากรูปที่ 3.14 แสดงระบบ MRAC ซึ่งประกอบด้วยลูปป้อนกลับสองลูป ซึ่งได้กล่าวไว้ในรูปที่ 3.12 และ 3.13 ลูปในประกอบด้วยลูปป้อนกลับปฐมภูมิ ลูปนอกประกอบด้วยส่วนที่ทำหน้าที่ปรับตัวเองโดยทั่วไป ลูปป้อนกลับปฐมภูมิจะทำงานที่ความเร็วสูงกว่าลูปปรับตัวเอง ดังนั้นพารามิเตอร์ของกระบวนการจะถูกสมมุติว่า เปลี่ยนแปลงช้ากว่าสเตตของกระบวนการ

ในกรณีรูปที่ 3.14 แสดงว่าโมเดลอ้างอิงจะขนานกับกระบวนการ แต่ไม่จำเป็นว่าระบบปรับตัวเอง MRAC จำเป็นต้องมีโมเดลอ้างอิงที่ขนานกับกระบวนการเสมอไป ระบบ MRAC ไม่ว่าจะกรณีใดๆ ทั้งสิ้น อีกทั้งห้ามมิให้ตัดแปลงเนื้อหา และต้องอ้างอิงถึงเจ้าของเอกสารทุกครั้งที่มีการนำไปใช้

บางครั้งจะนำโมเดลอ้างอิงต่ออนุกรมกับกระบวนการ ในการต่ออนุกรมนี้ โมเดลอ้างอิงจะทำหน้าที่เป็นตัวกำเนิดอินพุตอ้างอิง และให้ประโยชน์ต่อการควบคุมตรงที่ระบบ โดยทั่วไปจะไม่สามารถตอบสนองต่ออินพุตที่เป็นขั้นบันไดได้ ดังนั้นตัวกำเนิดอินพุตอ้างอิงจะกรองสัญญาณอินพุตให้เรียบขึ้น และตอบสนองต่อกระบวนการจะเป็นไปตามอินพุตได้ดีขึ้น ในลักษณะนี้มีผลต่อการอิ่มตัวของระบบด้วย (Saturation) นอกจากโมเดลอ้างอิงจะต่อขนาน และต่ออนุกรมกับกระบวนการแล้วยังสามารถนำทั้งสองแบบมารวมกันเป็น MRAC แบบ อนุกรม-ขนานได้อีก ซึ่งมีข้อดีข้อเสียต่างกัน ในงานวิจัยนี้จะศึกษาเฉพาะ MRAC แบบที่มีรูปแบบอ้างอิงที่ต่อขนานกับกระบวนการ (Parallel MRAC) ส่วนสำคัญที่สุดใน MRAC ได้แก่ การออกแบบกฎการปรับตัวเอง ซึ่งมีหลายวิธี ซึ่งในงานวิจัยนี้จะศึกษา และทดลองเฉพาะวิธีของ MIT

### 3.5.1 องค์ประกอบของ MRAC

ในหัวข้อนี้จะกล่าวถึงส่วนประกอบที่สำคัญของระบบ MRAC อันได้แก่ กระบวนการ (Process) ตัวควบคุมปฐมภูมิ (Process) ตัวควบคุมปฐมภูมิ (Primary Controller) รูปแบบอ้างอิง (Reference Model) และที่มาของกฎการปรับตัว

#### - กระบวนการ

แม้ว่ากระบวนการจะไม่อยู่ในส่วนของการออกแบบตัวควบคุมที่ปรับตัวเองได้ แต่เนื่องจากกระบวนการเป็นส่วนที่ตัวควบคุมจะต้องเกี่ยวข้องกับ จึงจำเป็นที่จะได้พิจารณาในส่วนนี้ ในการออกแบบตัวควบคุมนั้นต้องสมมุติกระบวนการให้เป็นไปในทิศทางบางอย่างที่อาจไม่เป็นจริงในธรรมชาติ ยกตัวอย่างเช่นทฤษฎีการปรับตัวที่จะพิจารณาต่อไปจะต้องสมมุติว่ากระบวนการควรจะเป็นเชิงเส้น ควรทราบอันดับของทรานเฟอร์ฟังก์ชัน และควรรู้ถึงเครื่องหมายของ DC Gain รวมทั้งทรานส์เฟอร์ฟังก์ชันควรเป็นแบบเฟสต่ำสุด และ กระบวนการควรจะปราศจากการรบกวน (Disturbance)

ดังที่กล่าวไว้แล้วว่ากระบวนการจะไม่มีทางสอดคล้องกับเงื่อนไขทั้งหมดนี้ ยกตัวอย่างเช่น อันดับของกระบวนการที่แน่นอนเราไม่สามารถรู้ได้ ซึ่งโดยมากอันดับของกระบวนการที่นำมาใช้จะมาจากการวิเคราะห์ถึงส่วนประกอบของระบบ หรือ ดูผลตอบสนองทั้งในโดเมนของเวลา หรือ โดเมนความถี่ และเป็นที่แน่นอนว่าไม่มีกระบวนการที่เป็นเชิงเส้นอย่างแท้จริง หรือปราศจากการรบกวน

อย่างไรก็ตามถึงแม้ว่าคุณสมบัติของกระบวนการจะไม่สามารถเป็นไปตามที่สมมุติได้ทั้งหมดก็ไม่ได้หมายความว่า การควบคุมที่สามารถปรับตัวได้จะไม่สามารถเป็นไปได้ ดังนั้นสิ่งสำคัญในอันดับต่อมา ก็คือจะทำการอย่างไรให้ตัวควบคุมที่ปรับตัวได้สามารถทำงานได้ในสภาวะที่ไม่สมบูรณ์ นั่นคือสามารถทำงานได้ในกระบวนการจริงๆ

เอกสารนี้เป็นเอกสารที่สงวนไว้สำหรับการใช้งานเพื่อการศึกษาเท่านั้น ไม่อนุญาตให้นำไปใช้ประโยชน์ด้านการค้า ไม่ว่ากรณีใดๆ ทั้งสิ้น อีกทั้งห้ามมิให้ตัดแปลงเนื้อหา และต้องอ้างอิงถึงเจ้าของเอกสารทุกครั้งที่มีการนำไปใช้

### - ส่วนควบคุมปฐมภูมิ (Primary Controller)

ส่วนควบคุมปฐมภูมิดังรูปที่ 3.12 โดยหลักการสามารถมีโครงสร้างใด ๆ ก็ได้ตามการออกแบบตัวควบคุมเชิงเส้น อย่างไรก็ตามควรจะสอดคล้องกับคุณสมบัติบางประการ

ประการแรกจะต้องสอดคล้องกับสภาวะ Perfect Model-Matching ซึ่งหมายถึงการตั้งค่าพารามิเตอร์ของตัวควบคุมจะต้องทำให้พฤติกรรมของลูปวงปิดเท่ากับรูปแบบอ้างอิงได้

ประการที่สองสำหรับการใช้การควบคุมโดยตรง สัญญาณควบคุม  $U_c$  จะต้องมีคุณสมบัติเป็นเชิงเส้นต่อพารามิเตอร์ โดยทั่วไปส่วนควบคุมปฐมภูมิที่ใช้ใน MRAC ประกอบด้วยส่วนที่ทำหน้าที่กำเนิดเวกเตอร์ของสัญญาณ (Signal Vector)

### - รูปแบบอ้างอิง (The Reference Model)

รูปแบบอ้างอิงจะเป็นตัวบ่งชี้ถึงผลตอบสนองต่อสัญญาณอ้างอิง  $U_c$  ที่เราต้องการ รูปแบบอ้างอิงมักจะได้จากการทดลองภายในคอมพิวเตอร์ การกำหนดรูปแบบอ้างอิงจะต้องกระทำให้สมเหตุสมผลคือระบบในความเป็นจริงสามารถเป็นไปตามรูปแบบนั้นๆ ได้ เพราะหากกำหนดรูปแบบอ้างอิงที่มีผลตอบสนองเร็วเกินไปจะทำให้เกิดสภาวะอิ่มตัว (Saturation) ในส่วนหนึ่งส่วนใดของระบบได้ และจะนำมาซึ่งความไม่เสถียรของระบบดังจะได้แสดงถึงผลของการอิ่มตัวต่อการเสถียรรูปของระบบต่อไปในการทดลอง

### - กฎการปรับตัว (Adaptive Laws)

กฎเกณฑ์สำคัญในการออกแบบ MRAC คือ กฎการปรับตัวและการพิสูจน์กฎการปรับตัวซึ่งในที่นี้จะใช้วิธีของ MIT โดยสมมุติว่ากระบวนการเป็นเชิงเส้นที่มีพารามิเตอร์ไม่ทราบค่าหรือแปรค่าตามเวลา และกระบวนการมีหนึ่งอินพุต หนึ่งเอาต์พุต และการควบคุมเป็นสเตป้อนกลับและพารามิเตอร์ของตัวควบคุมที่จะปรับคือเกนป้อนกลับ (Feedback Gain)

สำหรับงานวิจัยนี้จะออกแบบ MRAC ด้วยกฎของ MIT (MIT Rule) ซึ่งเริ่มจากการการคำนวณหาความแตกต่างของสัญญาณเอาต์พุตของกระบวนการจริงกับ โมเดลอ้างอิง

$$e = y_p - y_m \quad (3.35)$$

การปรับพารามิเตอร์ตัวควบคุมเพื่อลดความแตกต่างของสัญญาณเอาต์พุตของกระบวนการจริงกับโมเดลอ้างอิงด้วย *Adjustment Mechanism* เป็นกฎของ MIT ซึ่งมีสมการพื้นฐานคือ

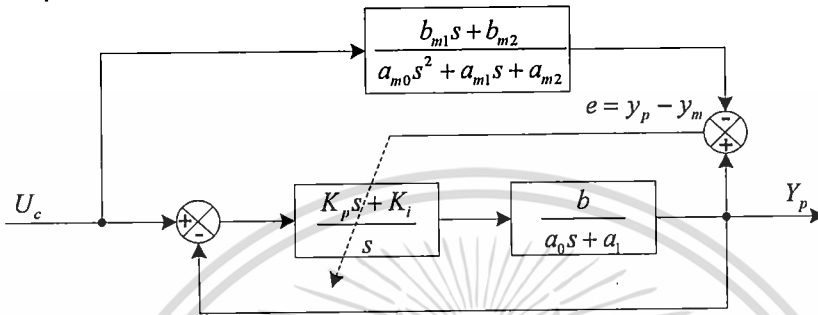
$$\frac{d\theta}{dt} = -\gamma e \frac{\partial \varepsilon}{\partial \theta} \quad (3.36)$$

เอกสารนี้เป็นเอกสารที่สงวนไว้สำหรับการใช้งานเพื่อการศึกษาเท่านั้น ไม่อนุญาตให้นำไปใช้ประโยชน์ด้านการค้า ไม่ว่าจะกรณีใดๆ ทั้งสิ้น อีกทั้งห้ามมิให้ดัดแปลงเนื้อหา และต้องอ้างอิงถึงเจ้าของเอกสารทุกครั้งที่มีการนำไปใช้

เมื่อ  $\theta$  คือพารามิเตอร์ของตัวควบคุม,  $\partial \varepsilon / \partial \theta$  ความไวของค่าผิดพลาดเมื่อเทียบกับ  $\theta$  และ  $\gamma$  ค่าเกณฑ์ในการปรับความเหมาะสม

### 3.5.2 เทคนิคการออกแบบตัวควบคุมพีไอดีด้วย MRAC

ในตอนนี้จะนำเสนอการออกแบบตัวควบคุมพีไอดีด้วย MRAC เมื่อพิจารณากระบวนการควบคุมอันดับหนึ่ง  $\frac{b}{a_0s + a_1}$  จะได้โครงสร้างของระบบควบคุมดังรูปที่ 3.15



รูปที่ 3.15 โครงสร้างของระบบควบคุม

จากบล็อกไดอะแกรมในรูปที่ 3.15 หาทรานส์เฟอร์ฟังก์ชันได้ตามสมการที่ (3.37)

$$\frac{Y_p(s)}{U_c(s)} = \frac{b(K_p s + K_i)}{a_0 s^2 + (a_1 + bK_p)s + bK_i} \quad (3.37)$$

และ

$$Y_p(s) = \frac{b(K_p s + K_i)}{a_0 s^2 + (a_1 + bK_p)s + bK_i} \cdot U_c(s) \quad (3.38)$$

จากสมการที่ (3.37) จะได้จะได้ทรานส์เฟอร์ฟังก์ชันของโมเดลอ้างอิงดังสมการที่ (3.39)

$$\frac{Y_m(s)}{U_m(s)} = \frac{b_m1 s + b_m2}{a_m0 s^2 + a_m1 s + a_m2} \quad (3.39)$$

จากสมการที่ (3.37) มีค่าตัวแปรที่ไม่รู้ค่าคือ  $K_p$  และ  $K_i$  ซึ่งหาได้จากสมการที่ (3.40)

$$\begin{aligned} \frac{dK_p}{dt} &= -\gamma_p \frac{\partial J}{\partial K_p} = -\gamma_p \left( \frac{\partial J}{\partial \varepsilon} \right) \left( \frac{\partial \varepsilon}{\partial y} \right) \left( \frac{\partial y}{\partial K_p} \right) \\ \frac{dK_i}{dt} &= -\gamma_i \frac{\partial J}{\partial K_i} = -\gamma_i \left( \frac{\partial J}{\partial \varepsilon} \right) \left( \frac{\partial \varepsilon}{\partial y} \right) \left( \frac{\partial y}{\partial K_i} \right) \end{aligned} \quad (3.40)$$

เมื่อ  $\partial J / \partial \varepsilon = \varepsilon$ ,  $\partial \varepsilon / \partial y = 1$  และ  $\partial y / \partial K_p$ ,  $\partial y / \partial K_i$  สามารถหาได้จากสมการที่ (3.41, 3.42) ตามลำดับ

$$\frac{\partial Y_p}{\partial K_p} = \frac{bs}{a_0 s^2 + (a_1 + bK_p)s + bK_i} \cdot [-Y_p] \quad (3.41)$$

เอกสารนี้เป็นเอกสารที่สงวนไว้สำหรับการใช้งานเพื่อการศึกษาเท่านั้น ไม่อนุญาตให้นำไปใช้ประโยชน์ด้านการค้า  
ไม่ว่ากรณีใดๆ ทั้งสิ้น อีกทั้งห้ามมิให้ดัดแปลงเนื้อหา และต้องอ้างอิงถึงเจ้าของเอกสารทุกครั้งที่มีการนำไปใช้



### 3.6 บทสรุป

การใช้หลักการหรือทฤษฎีต่างๆ มาช่วยสำหรับการออกแบบตัวควบคุมนั้น จะต้องทำการศึกษาทฤษฎีนั้นเป็นอย่างดี ไม่ว่าจะเป็นข้อดี ข้อเสีย ข้อยกเว้นต่างๆ หรือเรียกสั้นๆ ว่า “กฎ” นั้นเอง เนื่องจากว่าถ้าเราไม่เข้าใจกฎของแต่ละทฤษฎีแล้วนั้นจะทำให้เราไม่สามารถนำทฤษฎีต่างๆ ไปประยุกต์ใช้งานได้เลย เนื่องจากทฤษฎีบางอย่างก็ไม่สามารถใช้กับกระบวนการได้ทุกกระบวนการ เพราะฉะนั้นแล้วเราจะต้องพิจารณาถึงความเป็นไปได้ในการนำไปใช้งานจริง สำหรับในบทนี้ได้กล่าวถึงทฤษฎีต่างๆ ที่ถูกนำมาใช้ในงานวิจัย โดยได้กล่าวถึงทฤษฎีและหลักการของแต่ละวิธีไว้ละเอียดพอสมควร ผู้วิจัยหวังเป็นอย่างยิ่งว่าเนื้อหาในบทนี้จะเป็นประโยชน์อย่างมากในงานวิจัย



เอกสารนี้เป็นเอกสารที่สงวนไว้สำหรับการใช้งานเพื่อการศึกษาเท่านั้น ไม่อนุญาตให้นำไปใช้ประโยชน์ด้านการค้า  
ไม่ว่ากรณีใดๆ ทั้งสิ้น อีกทั้งห้ามมิให้ตัดแปลงเนื้อหา และต้องอ้างอิงถึงเจ้าของเอกสารทุกครั้งที่มีการนำไปใช้

## บทที่ 4

# วิธีการออกแบบตัวควบคุม

### 4.1 กล่าวนำ

การออกแบบตัวควบคุมหมายถึงการคำนวณหาค่าพารามิเตอร์ของตัวควบคุมเพื่อให้เป็นไปตามเงื่อนไขหรือข้อกำหนดที่เราต้องการซึ่งเราจำเป็นต้องออกแบบตัวควบคุมให้เรียบร้อยก่อนที่จะทำการทดลองจริง สำหรับเนื้อหาในบทนี้จะประกอบไปด้วย วิธีการหาสมการคุณลักษณะของกระบวนการ การออกแบบดีคัปปลิง การออกแบบตัวควบคุมพีไอด้วย MRAC โดยวิธีการออกแบบตัวควบคุมดังที่กล่าวมานั้นจะอ้างอิงทฤษฎีในบทที่ 3 เป็นหลัก ซึ่งขั้นตอนการออกแบบมีขั้นตอนดังนี้

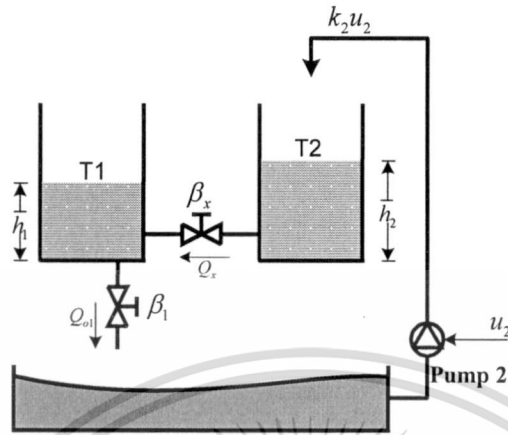
### 4.2 การหาสมการคุณลักษณะของกระบวนการ

การกำหนดจุดทำงานเพื่อหาสมการคุณลักษณะหรือแบบจำลองของกระบวนการนั้นสำคัญมาก เนื่องจากสมการที่ได้จะถูกนำไปออกแบบหาค่าพารามิเตอร์ของตัวควบคุมแล้วจะนำค่าพารามิเตอร์ของตัวควบคุมที่ออกแบบได้ไปควบคุมกระบวนการจริง ถ้าค่าสมการคุณลักษณะที่หามาได้ใกล้เคียงกับกระบวนการจริง โอกาสที่ค่าพารามิเตอร์ของตัวควบคุมจะควบคุมกระบวนการก็มีโอกาสเป็นไปได้สูง แต่ถ้าสมการคุณลักษณะที่หามาได้ไม่ใกล้เคียงกับกระบวนการจริง โอกาสที่ค่าพารามิเตอร์ของตัวควบคุมจะควบคุมกระบวนการก็มีโอกาสเป็นไปได้น้อยหรืออาจจะควบคุมไม่ได้เลย เพราะฉะนั้นการหาสมการคุณลักษณะของกระบวนการจึงถือว่าสำคัญ ซึ่งหลักการหาจุดทำงานของกระบวนการคือ ป้อนแรงดันที่เหมาะสมค่าหนึ่งให้กับปั๊มทั้ง 2 ตัวเพื่อปั้มน้ำนิ่งให้อยู่ในระดับที่เหมาะสม จากนั้นทำการเพิ่มระดับแรงดันให้กับปั๊มทั้ง 2 ซึ่งค่าแรงดันที่จะต้องไม่ทำให้น้ำในถังล้น ณ จุดนั้นจะเป็นจุดทำงานของกระบวนการซึ่งจะทำให้เรารู้ค่าพารามิเตอร์บางตัวเช่น  $u_1, u_2$  (แรงดันที่จ่ายให้กับปั๊มตัวที่ 1 และ 2)  $h_1, h_2$  (ตำแหน่งที่ระดับน้ำในถังทั้ง 2 คงที่) ส่วนค่าพารามิเตอร์อื่นๆ สามารถหาได้จากกราฟหรือดูได้จากคู่มือของอุปกรณ์นั้น เช่น ขนาดพื้นที่ของถังทั้ง 2 ( $A_1, A_2$ ) พื้นที่หน้าตัดของท่อทางออกเอาต์พุต ( $a_1, a_2, a_x$ ) อัตราการขยายของปั๊ม ( $k_1, k_2$ ) เป็นต้น ซึ่งค่าพารามิเตอร์ที่เราหาได้ทั้งหมดจะนำไปแทนค่าลงในสมการที่ 2.22 ซึ่งเป็นสมการคุณลักษณะของกระบวนการที่เขียนอยู่ในรูปของ ทรานส์เฟอร์เมทริกซ์ แต่อย่างไรก็ตามยังมีค่าตัวแปรที่เราไม่ทราบค่าอยู่ 3 ตัวแปรคือค่า  $T_1, T_2$  และ  $T_x$  ( $T_1$  คือค่าคงตัวเวลาของถังที่ 1,  $T_2$  คือค่าคงตัวเวลาของถังที่ 2,  $T_x$  คือค่าคงตัวเวลาระหว่างถังที่ 1 และถังที่ 2) ซึ่งหาได้จากสมการที่ 2.16 แต่สมการที่ 2.16 ก็ยังไม่สามารถหาค่า  $T_1, T_2$  และ  $T_x$  ได้เนื่องจากเรามีค่าตัวแปรที่ไม่รู้ค่าอยู่อีก 3 ตัวแปรคือ  $\beta_1, \beta_2$  และ  $\beta_x$  ( $\beta_1, \beta_2$  คือค่าสัมประสิทธิ์การเปิดวาล์วที่ต่อทางด้านเอาต์พุตของถังที่ 1 และถังที่ 2,  $\beta_x$  คือ ค่าสัมประสิทธิ์การเปิดวาล์วที่ต่อระหว่างถังที่ 1 และถังที่ 2)

เอกสารนี้เป็นเอกสารที่สงวนไว้สำหรับการใช้งานเพื่อการศึกษาเท่านั้น ไม่อนุญาตให้นำไปใช้ประโยชน์ด้านการค้า  
ไม่ว่ากรณีใดๆ ทั้งสิ้น อีกทั้งห้ามมิให้ตัดแปลงเนื้อหา และต้องอ้างอิงถึงเจ้าของเอกสารทุกครั้งที่มีการนำไปใช้

เพราะฉะนั้นแล้วเราจึงจำเป็นต้องหาค่า  $\beta_1, \beta_2$  และ  $\beta_x$  ก่อน ซึ่งพิจารณาได้จากสมการที่ 2.9 และสมการที่ 2.10 ขั้นตอนการหาพารามิเตอร์ของค่า  $\beta_1, \beta_2$  และ  $\beta_x$  พิจารณาตามขั้นตอนดังต่อไปนี้

1. กำหนดให้แรงดันที่จ่ายให้ปั๊มตัวที่ 1 เป็นศูนย์และปิดเอาต์พุตของถังน้ำใบที่ 2 พิจารณาจากรูปที่ 4.1



รูปที่ 4.1 รูปประกอบการพิจารณาเพื่อหาค่า  $\beta_1, \beta_x$

จากรูปที่ 4.1 เมื่อ  $k_2 = 4.8$ ,  $u_2 = 2V$ , และ  $a_x = 0.1963 \text{ cm}^2$  ทำการป้อนแรงดันอินพุตให้กับปั๊มรองจนกว่าระดับน้ำในถังทั้งสองเข้าสู่สภาวะคงตัวแล้วทำการบันทึกค่าระดับน้ำทั้งสองซึ่งได้  $\bar{h}_1 = 1.5 \text{ cm}$ ,  $\bar{h}_2 = 4.4 \text{ cm}$

พิจารณาจากถังที่ 1

$$\frac{dh_1(t)}{dt} = -\frac{\beta_1 a_1}{A} \sqrt{2g\bar{h}_1(t)} + \frac{\beta_x a_x}{A} \text{sgn}(h_1(t) - h_2(t)) \sqrt{2g|\bar{h}_1(t) - \bar{h}_2(t)|} \quad (4.1)$$

พิจารณาจากถังที่ 2

$$\frac{dh_2(t)}{dt} = -\frac{\beta_x a_x}{A} \text{sgn}(h_1(t) - h_2(t)) \sqrt{2g|\bar{h}_1(t) - \bar{h}_2(t)|} + \frac{k_2}{A} u_2(t) \quad (4.2)$$

จากสมการที่ 4.2 คำนวณหาค่า  $\beta_x$  จะได้ว่า

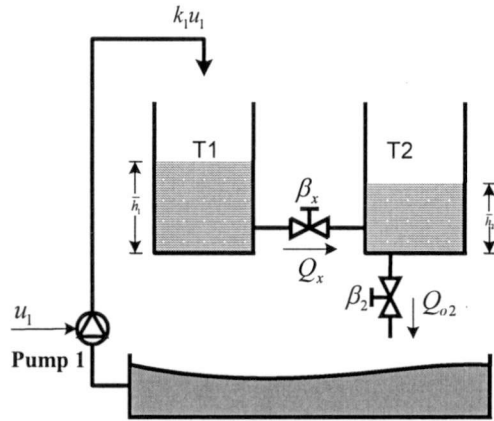
$$\beta_x = \frac{k_2 u_2}{a_x \sqrt{2g(\bar{h}_2 - \bar{h}_1)}} = \frac{4.8 \times 2}{0.1963 \times \sqrt{2 \times 981 \times (4.4 - 1.5)}} = 0.6483 \quad (4.3)$$

จากสมการที่ 4.1 คำนวณหาค่า  $\beta_1$  จะได้ว่า

$$\beta_1 = \frac{\beta_x \sqrt{2g(\bar{h}_2 - \bar{h}_1)}}{\sqrt{2g\bar{h}_1}} = \frac{0.6483 \times \sqrt{2 \times 981 \times (4.4 - 1.5)}}{\sqrt{2 \times 981 \times 1.5}} = 0.9015 \quad (4.4)$$

2. กำหนดให้แรงดันที่จ่ายให้ปั๊มตัวที่ 2 เป็นศูนย์และปิดเอาต์พุตของถังน้ำใบที่ 1 พิจารณาจากรูปที่ 4.2

เอกสารนี้เป็นเอกสารที่สงวนไว้สำหรับการใช้งานเพื่อการศึกษาเท่านั้น ไม่อนุญาตให้นำไปใช้ประโยชน์ด้านการค้า ไม่ว่าจะกรณีใดๆ ทั้งสิ้น อีกทั้งห้ามมิให้ดัดแปลงเนื้อหา และต้องอ้างอิงถึงเจ้าของเอกสารทุกครั้งที่มีการนำไปใช้



รูปที่ 4.2 รูปประกอบการศึกษาหาค่า  $\beta_2, \beta_x$

จากรูปที่ 4.2 เมื่อ  $k_1 = 5.4$ ,  $u_1 = 2.5V$ , และ  $a_x = 0.1963 \text{ cm}^2$  ทำการป้อนแรงดันอินพุตให้กับปั๊มจนกว่าระดับน้ำในถังทั้งสองเข้าสู่สภาวะคงตัวแล้วทำการบันทึกค่าระดับน้ำทั้งสองซึ่งได้  $\bar{h}_1 = 5.25 \text{ cm}$ ,  $\bar{h}_2 = 2.45 \text{ cm}$

พิจารณาจากถังที่ 1

$$\frac{dh_1(t)}{dt} = -\frac{\beta_x a_x}{A} \text{sgn}(h_1(t) - h_2(t)) \sqrt{2g|h_1(t) - h_2(t)|} + \frac{k_1}{A} u_1(t) \quad (4.5)$$

พิจารณาจากถังที่ 2

$$\frac{dh_2(t)}{dt} = -\frac{\beta_2 a_2}{A} \sqrt{2g h_2(t)} + \frac{\beta_x a_x}{A} \text{sgn}(h_1(t) - h_2(t)) \sqrt{2g|h_1(t) - h_2(t)|} \quad (4.6)$$

จากสมการที่ 4.5 คำนวณหาค่า  $\beta_x$  จะได้ว่า

$$\beta_x = \frac{k_1 u_1}{a_x \sqrt{2g(\bar{h}_1 - \bar{h}_2)}} = \frac{5.4 \times 2.5}{0.1963 \times \sqrt{2 \times 981 \times (5.25 - 2.45)}} = 0.9279 \quad (4.7)$$

จากสมการที่ 4.6 คำนวณหาค่า  $\beta_2$  จะได้ว่า

$$\beta_2 = \frac{\beta_x \sqrt{2g(\bar{h}_2 - \bar{h}_1)}}{\sqrt{2g\bar{h}_2}} = \frac{0.9279 \times \sqrt{2 \times 981 \times (5.25 - 2.45)}}{\sqrt{2 \times 981 \times 2.45}} = 0.9915 \quad (4.8)$$

เนื่องจากค่า  $\beta_x$  มี 2 ค่า ดังนั้นเราจะเลือกเอาค่าที่มากที่สุดคือค่า  $\beta_x$  จากสมการที่ 4.7 ซึ่งมีค่าเท่ากับ 0.9279 หลังจากที่ได้หาค่าพารามิเตอร์ของ  $\beta_1, \beta_2$  และ  $\beta_x$  ได้แล้วก็จะทำให้สามารถหาค่าตัวแปร  $T_1, T_2$  และ  $T_x$  จากสมการที่ 2.16 ได้ดังนี้

เอกสารนี้เป็นเอกสารที่สงวนไว้สำหรับการใช้งานเพื่อการศึกษาเท่านั้น ไม่อนุญาตให้นำไปใช้ประโยชน์ด้านการค้า ไม่ว่าจะกรณีใดๆ ทั้งสิ้น อีกทั้งห้ามมิให้ตัดแปลงเนื้อหา และต้องอ้างอิงถึงเจ้าของเอกสารทุกครั้งที่มีการนำไปใช้

$$T_1 = \frac{A}{\beta_1 a_1} \sqrt{\frac{2\bar{h}_1}{g}} = \frac{66.25}{0.9015 \times 0.1963} \times \sqrt{\frac{2 \times 5.25}{981}} = 38.7311 \quad (4.9)$$

$$T_2 = \frac{A}{\beta_2 a_2} \sqrt{\frac{2\bar{h}_2}{g}} = \frac{66.25}{0.9919 \times 0.1963} \times \sqrt{\frac{2 \times 2.45}{981}} = 24.047 \quad (4.10)$$

$$T_x = \frac{A}{\beta_x a_x} \sqrt{\frac{2|\bar{h}_1 - \bar{h}_2|}{g}} = \frac{66.25}{0.9279 \times 0.1963} \times \sqrt{\frac{2|5.25 - 2.45|}{981}} = 27.4805 \quad (4.11)$$

จากนั้นแทนค่า  $T_1, T_2$  และ  $T_x$  ลงในสมการ 2.22 จะได้ทรานส์เฟอร์เมทริกซ์ดังสมการ 4.12

$$\begin{bmatrix} G_{11}(s) & G_{12}(s) \\ G_{21}(s) & G_{22}(s) \end{bmatrix} = \begin{bmatrix} \frac{0.08151s + 0.006356}{(s^2 + 0.1402s + 0.003526)} & \frac{2.637 \times 10^{-3}}{(s^2 + 0.1402s + 0.003526)} \\ \frac{2.966 \times 10^{-3}}{(s^2 + 0.1402s + 0.003526)} & \frac{0.07245s + 0.004507}{(s^2 + 0.1402s + 0.003526)} \end{bmatrix} \quad (4.12)$$

ในหัวข้อนี้ได้กล่าวถึงการหาค่าพารามิเตอร์ทั้งหมดของกระบวนการที่จะนำไปใช้ในการออกแบบตัวควบคุมต่อไป ซึ่งพอจะสรุปค่าพารามิเตอร์ต่างๆ ที่หาได้ดังตารางที่ 4.1

ตารางที่ 4.1 สรุปค่าพารามิเตอร์ที่ใช้ในการหาค่าสมการคุณลักษณะของกระบวนการ

สัญลักษณ์	รายละเอียด	ปริมาตร	หน่วย
$k_1, k_2$	อัตราการขยายของบีม 1 และบีม 2	4.4 และ 4.8	$cm^3/v \cdot s$
$u_1, u_2$	แรงดันที่จ่ายให้กับบีมตัวที่ 1 และ 2	2.5 และ 2	Volt
$a_1, a_2, a_x$	พื้นที่หน้าตัดของเอาต์พุตถังที่ 1, 2 และระหว่างถังทั้งสอง	0.1963	$cm^2$
$A_1, A_2$	ปริมาตรของถังที่ 1 และถังที่ 2 ตามลำดับ	66.25	$cm^3$
$D_1, D_2$	เส้นผ่านศูนย์กลางภายในของถังที่ 1 และถังที่ 2	9.4	$cm$
$\bar{h}_1, \bar{h}_2$	ความสูงของถังที่ 1 และถังที่ 2	6.75, 2.35	$cm$
$g$	แรงโน้มถ่วงของโลก	981	$cm/s^2$
$\beta_1, \beta_2$	ค่าสัมประสิทธิ์การเปิดวาล์วที่ต่อทางด้านออกของถังที่ 1 และถังที่ 2	0.7273 0.5402	-
$\beta_x$	ค่าสัมประสิทธิ์การเปิดวาล์วที่ต่อระหว่างถังที่ 1 และถังที่ 2	0.3948	-

เอกสารนี้เป็นเอกสารที่สงวนไว้สำหรับการใช้งานเพื่อการศึกษาเท่านั้น ไม่อนุญาตให้นำไปใช้ประโยชน์ด้านการค้า ไม่ว่าจะกรณีใดๆ ทั้งสิ้น อีกทั้งห้ามมิให้ตัดแปลงเนื้อหา และต้องอ้างอิงถึงเจ้าของเอกสารทุกครั้งที่มีการนำไปใช้

### 4.3 การออกแบบดีคัปปลิง

เนื่องจากสมการที่ 4.12 เป็นทรานส์เฟอร์เมทริกซ์ของกระบวนการที่ยังไม่สามารถนำไปออกแบบตัวควบคุมได้ จึงจำเป็นต้องทำให้ทรานส์เฟอร์เมทริกซ์เป็นเมทริกซ์แยงมุม (Diagonal Matrix) ก่อน ซึ่งจะใช้วิธีการของ Decoupling เข้ามาช่วย โดยวิธีการหาค่า Decoupling สามารถทำได้ดังนี้

$$D_{11}(s) = D_{22}(s) = 1 \quad (4.13)$$

จากนั้นทำการหาค่า  $D_{12}(s)$  ตามสมการที่ 4.14

$$\begin{aligned} D_{12}(s) &= -\frac{G_{12}(s)}{G_{11}(s)} \\ &= -\left( \frac{2.637 \times 10^{-4}}{(s^2 + 0.1402s + 0.003526)} \times \frac{(s^2 + 0.1402s + 0.003526)}{0.08151s + 0.006356} \right) \\ &= -\frac{2.637 \times 10^{-4}}{0.08151s + 0.006356} \end{aligned} \quad (4.14)$$

จากนั้นทำการหาค่า  $D_{21}(s)$  ตามสมการที่ 4.15

$$\begin{aligned} D_{21}(s) &= -\frac{G_{21}(s)}{G_{22}(s)} \\ &= -\left( \frac{2.966 \times 10^{-4}}{(s^2 + 0.1402s + 0.003526)} \times \frac{(s^2 + 0.1402s + 0.003526)}{0.07245s + 0.004507} \right) \\ &= -\frac{2.966 \times 10^{-4}}{0.07245s + 0.004507} \end{aligned} \quad (4.15)$$

จากสมการที่ 4.13, 4.14 และ 4.15 เขียนให้อยู่ในรูปของทรานส์เฟอร์เมทริกซ์จะได้

$$D(s) = \begin{bmatrix} 1 & -\frac{2.637 \times 10^{-4}}{0.08151s + 0.006356} \\ -\frac{2.966 \times 10^{-4}}{0.07245s + 0.004507} & 1 \end{bmatrix} \quad (4.16)$$

หลังจากที่คำนวณหาค่าของดีคัปปลิงได้แล้ว นำดีคัปปลิงไปต่อเข้ากับกระบวนการผลของดีคัปปลิงจะทำให้ได้สมการที่แยกอิสระจากกันซึ่งในการทดลองข้อกำหนดให้เป็น  $G_{n_1}(s)$  และ  $G_{n_2}(s)$  โดยสามารถหาได้ตามสมการ 4.17 และ 4.18 ตามลำดับ

เอกสารนี้เป็นเอกสารที่สงวนไว้สำหรับการใช้งานเพื่อการศึกษาเท่านั้น ไม่อนุญาตให้นำไปใช้ประโยชน์ด้านการค้า  
ไม่ว่ากรณีใดๆ ทั้งสิ้น อีกทั้งห้ามมิให้ดัดแปลงเนื้อหา และต้องอ้างอิงถึงเจ้าของเอกสารทุกครั้งที่มีการนำไปใช้

$$\begin{aligned}
G_{n1}(s) &= G_{11}(s) - \frac{G_{21}}{G_{22}} G_{12}(s) = G_{11}(s) - D_{21}(s) G_{12}(s) \\
&= \frac{0.08151s + 0.006356}{(s^2 + 0.1402s + 0.003526)} - \left( \frac{2.966 \times 10^{-3}}{(0.07245s + 0.004507)} \times \frac{2.637 \times 10^{-3}}{(s^2 + 0.1402s + 0.003526)} \right) \\
&= \frac{0.08151s^4 + 0.02285s^3 + (2.177 \times 10^{-3})s^2 + (8.059 \times 10^{-5})s + 1.014 \times 10^{-6}}{s^5 + 0.3426s^4 + 0.04415s^3 + (2.65 \times 10^{-3})s^2 + (7.394 \times 10^{-5})s + 7.736 \times 10^{-7}} \\
&= \frac{0.08151}{s + 0.06221}
\end{aligned} \tag{4.17}$$

$$\begin{aligned}
G_{n2}(s) &= G_{22}(s) - \frac{G_{12}}{G_{11}} G_{21}(s) = G_{22}(s) - D_{12}(s) G_{21}(s) \\
&= \frac{0.07245s + 0.004507}{(s^2 + 0.1402s + 0.003526)} - \left( \frac{2.637 \times 10^{-3}}{(0.08151s + 0.006356)} \times \frac{2.966 \times 10^{-3}}{(s^2 + 0.1402s + 0.003526)} \right) \\
&= \frac{0.07245s^4 + 0.02031s^3 + (1.935 \times 10^{-3})s^2 + (7.163 \times 10^{-5})s + 9.01 \times 10^{-7}}{s^5 + 0.3583s^4 + 0.04857s^3 + (3.071 \times 10^{-3})s^2 + (8.953 \times 10^{-5})s + 9.697 \times 10^{-7}} \\
&= \frac{0.07245}{s + 0.07797}
\end{aligned} \tag{4.18}$$

จากสมการที่ 4.17 และ 4.18 สามารถเขียนให้อยู่ในรูปของทรานส์เฟอร์เมทริกซ์ได้ดังสมการที่ 4.19

$$G_n(s) = \begin{bmatrix} \frac{0.08151}{s + 0.06221} & 0 \\ 0 & \frac{0.07245}{s + 0.07797} \end{bmatrix} \tag{4.19}$$

#### 4.4 การออกแบบตัวควบคุมพีไอด้วย MRAC

หลังจากที่หาคุณลักษณะของกระบวนการและออกแบบดีคัปปลิ่งแล้วต่อไปเราจะทำการออกแบบตัวควบคุมพีไอด้วยเทคนิคของ MRAC ซึ่งไปบทที่ 3 ได้กล่าวถึงทฤษฎีในการออกแบบไว้แล้วเบื้องต้น การออกแบบจะพิจารณาเป็นสองลูปตามสมการที่ 4.19 โดยทรานส์เฟอร์ฟังก์ชันของลูปแรกคือ  $\frac{0.08151}{s + 0.06221}$  ซึ่งข้อกำหนดในการออกแบบตัวควบคุมพีไอของลูปนี้คือ  $P.O. = 10\%$ ,  $t_r = 150s$  จากสมการที่ 3.41 และ 3.42 จะได้สมการของตัวควบคุม  $K_p$  และ  $K_i$  ดังนี้

$$K_p = \frac{0.08151s}{s^2 + 0.04s + 0.0011}, \quad K_i = \frac{0.08151}{s^2 + 0.04s + 0.0011} \tag{4.20}$$

จากสมการที่ 3.39 จะได้จะได้ทรานส์เฟอร์ฟังก์ชันของโมเดลอ้างอิงดังนี้

เอกสารนี้เป็นเอกสารที่สงวนไว้สำหรับการใช้งานเพื่อการศึกษาเท่านั้น ไม่อนุญาตให้นำไปใช้ประโยชน์ด้านการค้า  
ไม่ว่ากรณีใดๆ ทั้งสิ้น อีกทั้งห้ามมิให้ตัดแปลงเนื้อหา และต้องอ้างอิงถึงเจ้าของเอกสารทุกครั้งที่มีการนำไปใช้

$$\frac{Y_m(s)}{U_m(s)} = \frac{0.0011}{s^2 + 0.04s + 0.0011} \quad (4.21)$$

จากนั้นพิจารณาอุปที่ที่สองคือ  $\frac{0.07245}{s + 0.07797}$  ซึ่งข้อกำหนดในการออกแบบตัวควบคุมฟิโของอุปนี้คือ  $P.O. = 10\%$ ,  $t_s = 100s$  จากสมการที่ 3.41 และ 3.42 จะได้สมการของตัวควบคุม  $K_p$  และ  $K_i$  ดังนี้

$$K_p = \frac{0.07245s}{s^2 + 0.06s + 0.0026}, \quad K_i = \frac{0.07245}{s^2 + 0.06s + 0.0026} \quad (4.22)$$

และจากสมการที่ 3.39 จะได้จะได้ทรานส์เฟอร์ฟังก์ชันของโมเดลอ้างอิงดังนี้

$$\frac{Y_m(s)}{U_m(s)} = \frac{0.0026}{s^2 + 0.04s + 0.0026} \quad (4.23)$$

#### 4.5 สรุปผลการทดลอง

หลังจากที่ได้ค่าพารามิเตอร์ต่างๆ ของตัวควบคุมรวมทั้งพารามิเตอร์ของกระบวนการแล้ว ขั้นตอนต่อไปก็จะนำค่าพารามิเตอร์ที่ได้ไปจำลองและทดลองซึ่งรายละเอียดจะกล่าวถึงในบทที่ 5 สำหรับการออกแบบตัวควบคุมนั้นจะต้องให้แน่ใจว่าค่าพารามิเตอร์ต่างๆ ที่คำนวณได้นั้นถูกต้องเพราะไม่เช่นนั้นแล้วอาจส่งผลต่อการทดลองด้วย ซึ่งขั้นตอนในการออกแบบจึงถือเป็นขั้นตอนที่สำคัญมาก ขั้นตอนหนึ่งที่จะต้องละเอียดและให้เกิดความผิดพลาดน้อยที่สุด

## บทที่ 5

### การจำลองและการทดลอง

#### 5.1 กล่าวนำ

สำหรับเนื้อหาในบทนี้จะว่าด้วยเรื่องเกี่ยวกับการจำลองและการทดลองกระบวนการซึ่งจะนำเอาทฤษฎีทั้งหมดที่ได้กล่าวมาแล้วรวมทั้งเรื่องฮาร์ดแวร์และซอฟต์แวร์มาช่วยในการหาจุดทำงานและหาสมการคุณลักษณะหรือโมเดลของกระบวนการ หลังจากได้สมการคุณลักษณะหรือโมเดลของกระบวนการมาแล้ว การทดลองแบ่งออกเป็น 3 หัวข้อใหญ่ๆ คือ การหาสมการคุณลักษณะของกระบวนการ การจำลองกระบวนการด้วยโปรแกรม MATLAB และการทดลองควบคุมกระบวนการจริง ซึ่งรายละเอียดจะได้กล่าวไว้ดังนี้

#### 5.2 การจำลองกระบวนการ

การจำลองกระบวนการคือการนำเอาสมการคุณลักษณะของกระบวนการที่คำนวณได้ไปจำลองการทำงานในเครื่องคอมพิวเตอร์โดยในการทดลองนี้ใช้โปรแกรม Matlab เป็นโปรแกรมสำหรับจำลองการทำงานของกระบวนการเพื่อทดสอบความเป็นไปได้ก่อนนำไปทดลองจริง โดยการจำลองกระบวนการทำได้ดังนี้

##### 5.2.1 พิจารณารูปที่หนึ่ง

จากการเพิ่มดีคัปปลิ่งเข้าไปในกระบวนการจะทำให้ได้สมการคุณลักษณะของกระบวนการตามสมการที่ 4.8 ซึ่งเขียนอยู่ในรูปของทรานส์เฟอร์เมทริกซ์ จากนั้นทำการพิจารณารูปที่ 1 โดยโครงสร้างของกระบวนการรูปที่ 1 คือ  $G_p(s) = \frac{0.08151}{s + 0.06221}$  ต้องการออกแบบตัวควบคุมแบบพีไอตามโครงสร้างในรูปที่ 2 จากสมการของโมเดลอ้างอิงในสมการที่ 3.39 โดยกำหนดให้  $P.O. = 10\%$  และ  $t_s = 150$  วินาที จะได้ทรานส์ฟังก์ชันของโมเดลอ้างอิงดังสมการที่ (5.20)

$$\frac{Y_m(s)}{U_m(s)} = \frac{s + 0.0011}{s^2 + 0.04s + 0.0011} \quad (5.20)$$

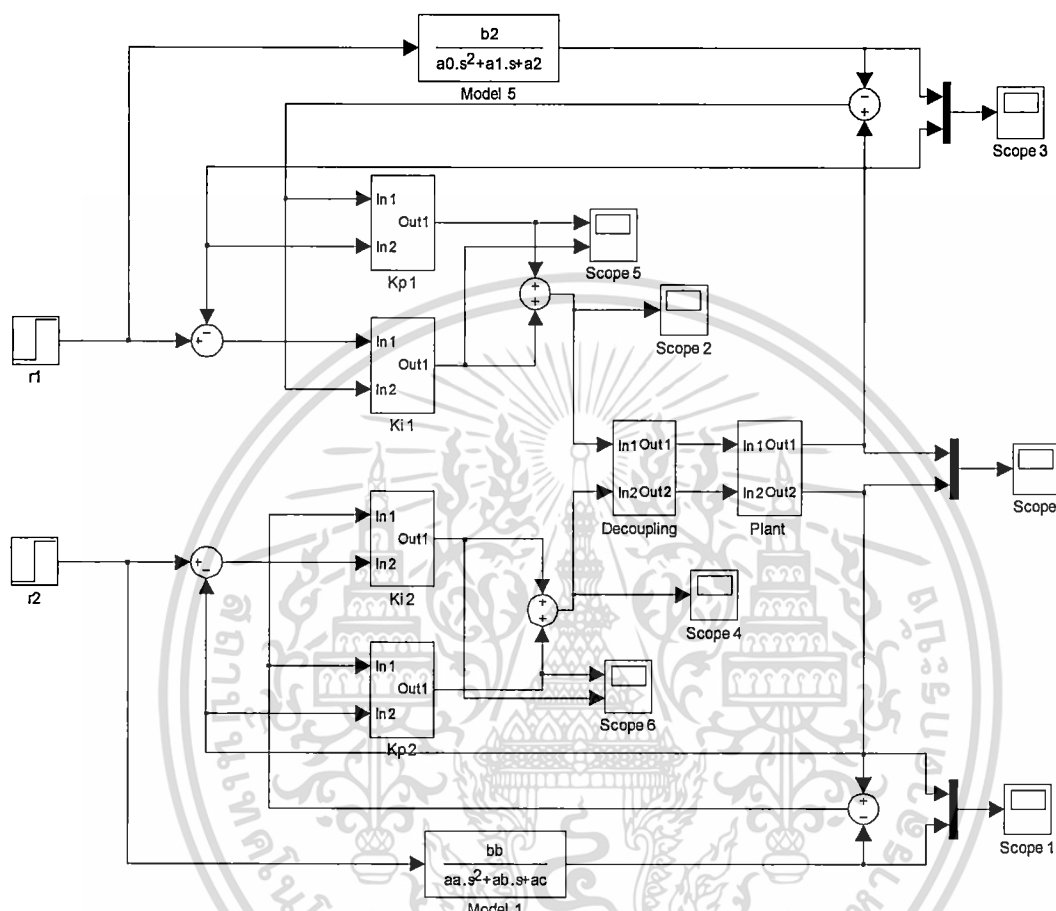
##### 5.2.2 พิจารณารูปที่สอง

พิจารณาโครงสร้างของกระบวนการรูปที่ 2 คือ  $G_p(s) = \frac{0.07245}{s + 0.07797}$  ต้องการออกแบบตัวควบคุมแบบพีไอตามโครงสร้างในรูปที่ 3.12 จากสมการของโมเดลอ้างอิงในสมการที่ 3.39 โดยกำหนดให้  $P.O. = 10\%$  และ  $t_s = 100$  วินาที จะได้ทรานส์ฟังก์ชันของโมเดลอ้างอิงดังสมการที่ (5.21)

เอกสารนี้เป็นเอกสารที่สงวนไว้สำหรับการใช้งานเพื่อการศึกษาเท่านั้น ไม่อนุญาตให้นำไปใช้ประโยชน์ด้านการค้า ไม่ว่ากรณีใดๆ ทั้งสิ้น อีกทั้งห้ามมิให้ดัดแปลงเนื้อหา และต้องอ้างอิงถึงเจ้าของเอกสารทุกครั้งที่มีการนำไปใช้

$$\frac{Y_m(s)}{U_m(s)} = \frac{s + 0.0026}{s^2 + 0.06s + 0.0026} \quad (5.21)$$

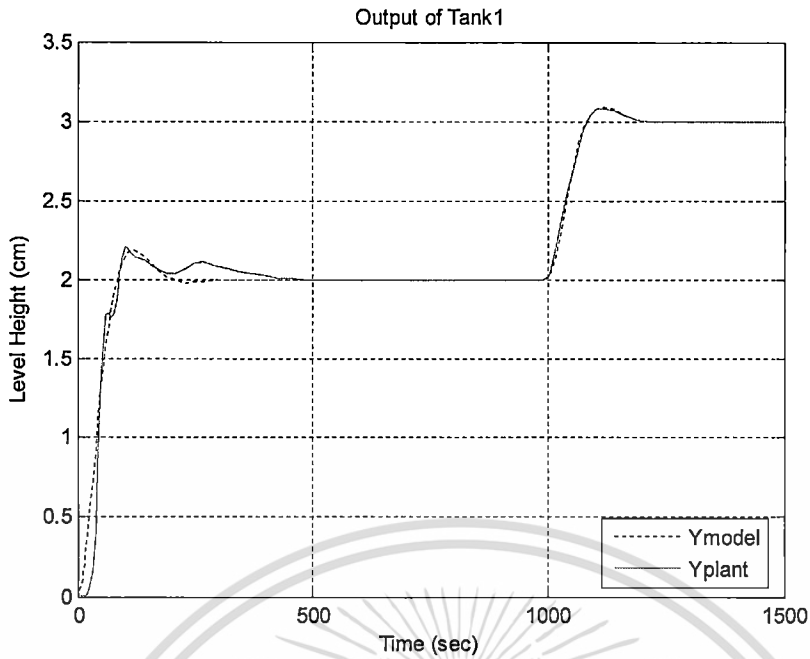
สำหรับโปรแกรมที่ใช้ในการจำลองกระบวนการคือโปรแกรม Simulink ใน Matlab โดยโครงสร้างของโปรแกรมประกอบไปด้วยกระบวนการ ดีคัปปลิ่ง ตัวควบคุมพีไอ และโมเดลอ้างอิง



รูปที่ 5.1 แสดงโปรแกรมในการจำลองกระบวนการ

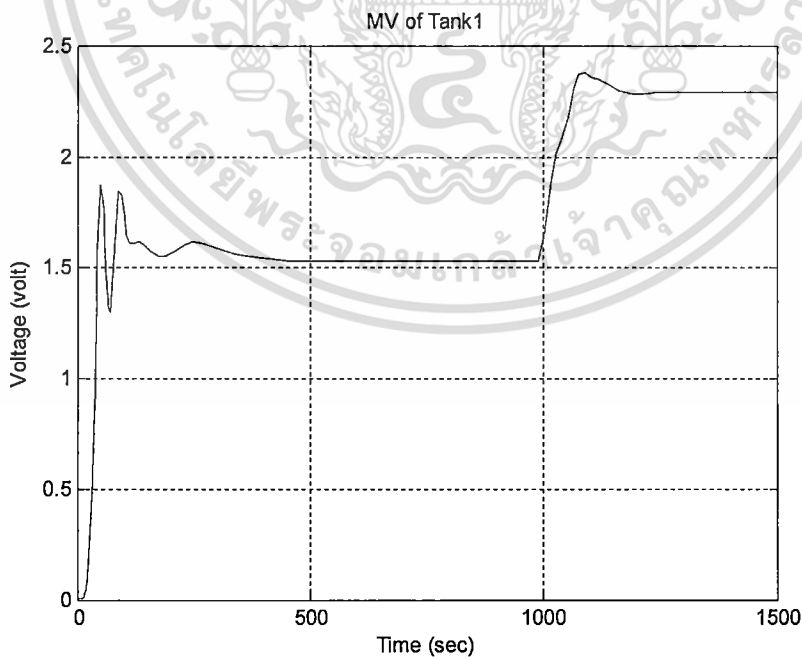
โดยขั้นตอนในการจำลองควบคุมกระบวนการคือเมื่อเริ่มการจำลองทำการป้อนอินพุตแบบขั้นบันไดให้กับลูบทั้งสองไปที่ระดับความสูง 2 เซนติเมตร เมื่อเวลาผ่านไป 500 วินาที เพิ่มอินพุตแบบขั้นบันไดให้กับลูบที่ 2 ไปที่ระดับความสูง 3 เซนติเมตร ในขณะที่ลูบที่ 1 อยู่ที่ระดับเดิม และเมื่อเวลาผ่านไป 1000 วินาที เพิ่มอินพุตแบบขั้นบันไดให้กับลูบที่ 1 ไปที่ระดับความสูง 3 เซนติเมตร การทดลองนี้จะใช้เวลาทั้งหมด 1500 วินาที กำหนดให้ค่า  $g_{\text{ramma}}$  ของตัวควบคุมแบบพีไอและไอในลูบที่ 1 เท่ากับ -0.1 และ -0.0003 ตามลำดับ และกำหนดให้ค่า  $g_{\text{ramma}}$  ของตัวควบคุมแบบพีไอและไอในลูบที่ 2 เท่ากับ -0.1 และ -0.0005 ตามลำดับ ซึ่งผลการจำลองแสดงได้ดังรูปกราฟต่อไปนี้

เอกสารนี้เป็นเอกสารที่สงวนไว้สำหรับการใช้งานเพื่อการศึกษาเท่านั้น ไม่อนุญาตให้นำไปใช้ประโยชน์ด้านการค้า ไม่ว่าจะกรณีใดๆ ทั้งสิ้น อีกทั้งห้ามมิให้ดัดแปลงเนื้อหา และต้องอ้างอิงถึงเจ้าของเอกสารทุกครั้งที่มีการนำไปใช้



รูปที่ 5.2 ผลตอบสนองทางเอาต์พุต  $y_p$  เทียบกับ  $y_m$  ของถังน้ำใบที่ 1

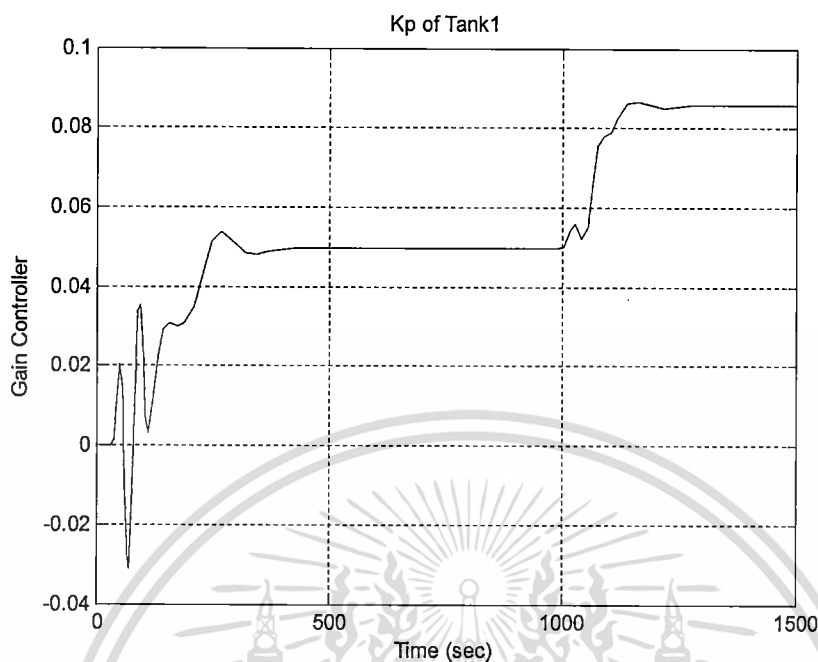
กราฟในรูปที่ 5.2 แสดงผลตอบสนองทางเอาต์พุตของกระบวนการเทียบกับ โมเดลอ้างอิงของ ถังน้ำใบที่ 1 โดยกราฟเส้นหนาแทนกระบวนการ ส่วนกราฟเส้นประแทนโมเดลอ้างอิง ซึ่งจากการ จำลองแสดงให้เห็นว่าเส้นกราฟทั้งสองเส้นมีค่าใกล้เคียงกันมากบางช่วงเวลากลับมาทั้งสองเส้นทับกันสนิทแสดงให้เห็นว่าโมเดลของกระบวนการกับโมเดลอ้างอิงมีค่าใกล้เคียงกันมาก



รูปที่ 5.3 สัญญาณควบคุมกระบวนการของถังน้ำใบที่ 1

เอกสารนี้เป็นเอกสารที่สงวนไว้สำหรับการใช้งานเพื่อการศึกษาเท่านั้น ไม่อนุญาตให้นำไปใช้ประโยชน์ด้านการค้า ไม่ว่าจะกรณีใดๆ ทั้งสิ้น อีกทั้งห้ามมิให้ดัดแปลงเนื้อหา และต้องอ้างอิงถึงเจ้าของเอกสารทุกครั้งที่มีการนำไปใช้

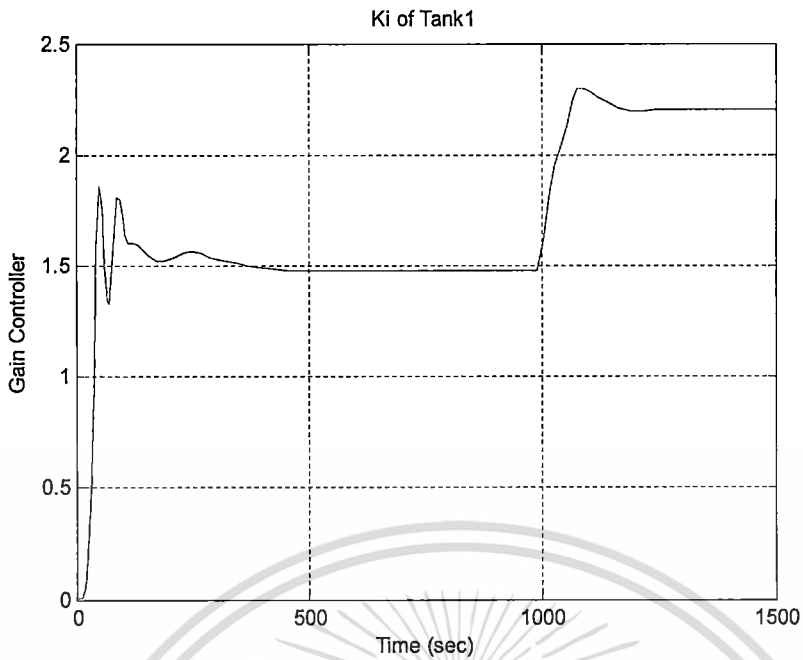
กราฟในรูปที่ 5.3 เป็นกราฟแสดงสัญญาณควบคุมกระบวนการของถังน้ำใบที่ 1 โดยจะปรับค่าตามช่วงเวลาที่กำหนดจากอินพุต



รูปที่ 5.4 สัญญาณตัวควบคุม  $K_p$  สำหรับควบคุมถังน้ำใบที่ 1

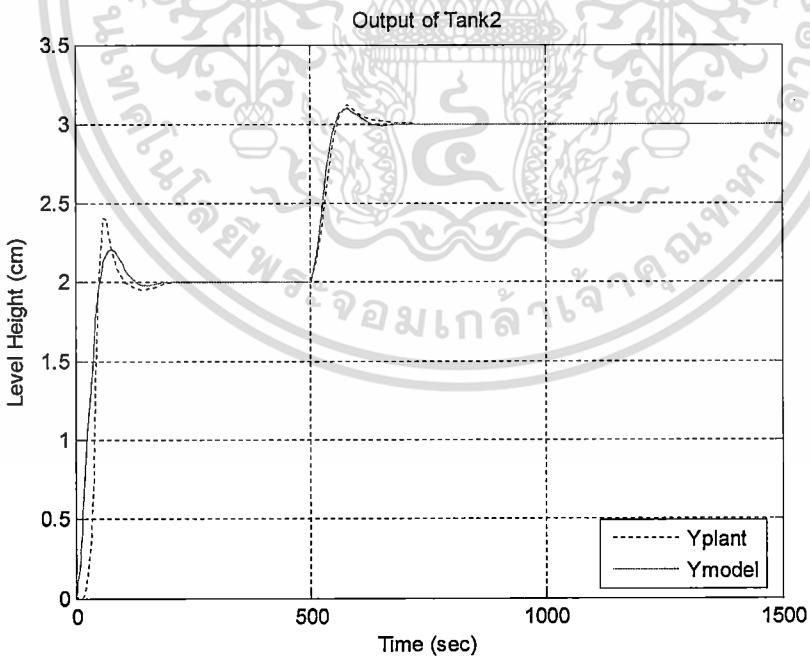
กราฟในรูปที่ 5.4 เป็นกราฟแสดงค่าพารามิเตอร์ของตัวควบคุม  $K_p$  สำหรับควบคุมระดับน้ำในถังใบที่ 1 โดยค่าพารามิเตอร์ของตัวควบคุมแบบพีจะเปลี่ยนแปลงตามเวลา ในช่วงเวลา 0-400 วินาที ค่าพารามิเตอร์ของตัวควบคุมแบบพีจะมีการเปลี่ยนแปลงค่อนข้างมากเพื่อปรับกระบวนการไปยังค่าเป้าหมาย ส่วนช่วงเวลา 400 - 1000 วินาที ค่าพารามิเตอร์ของตัวควบคุมแบบพีจะพยายามปรับตัวให้คงที่เพื่อรักษาระดับน้ำให้คงที่อยู่ที่ค่าเป้าหมาย และจะปรับตัวเองอีกครั้งหลังจากช่วงเวลา 1000 วินาที เป็นต้นไป เนื่องจากค่าเป้าหมายของระดับน้ำมีค่าเปลี่ยนไป โดยที่เมื่อค่าเป้าหมายอยู่ที่ระดับ 2 เซนติเมตร ค่าเกณฑ์พารามิเตอร์ของ  $K_p$  จะมีค่าประมาณ 0.05 และเมื่อค่าเป้าหมายอยู่ที่ระดับ 3 เซนติเมตร ค่าเกณฑ์พารามิเตอร์ของ  $K_p$  จะมีค่าประมาณ 0.085

ในทำนองเดียวกันกราฟในรูปที่ 5.5 เป็นกราฟแสดงค่าพารามิเตอร์ของตัวควบคุม  $K_i$  สำหรับควบคุมระดับน้ำในถังใบที่ 1 โดยค่าพารามิเตอร์ของตัวควบคุมแบบไอจะเปลี่ยนแปลงตามเวลา ในช่วงเวลา 0-400 วินาที ค่าพารามิเตอร์ของตัวควบคุมแบบไอจะมีการเปลี่ยนแปลงค่าเพื่อปรับกระบวนการไปยังค่าเป้าหมาย ส่วนช่วงเวลา 400 - 1000 วินาที ค่าพารามิเตอร์ของตัวควบคุมแบบไอจะพยายามปรับตัวให้คงที่เพื่อรักษาระดับน้ำให้คงที่อยู่ที่ค่าเป้าหมาย และจะปรับตัวเองอีกครั้งหลังจากช่วงเวลา 1000 วินาที เป็นต้นไป เนื่องจากค่าเป้าหมายของระดับน้ำมีค่าเปลี่ยนไป โดยที่เมื่อค่าเป้าหมายอยู่ที่ระดับ



รูปที่ 5.5 สัญญาณตัวควบคุม  $K$ , สำหรับควบคุมถึงน้ำใบที่ 1

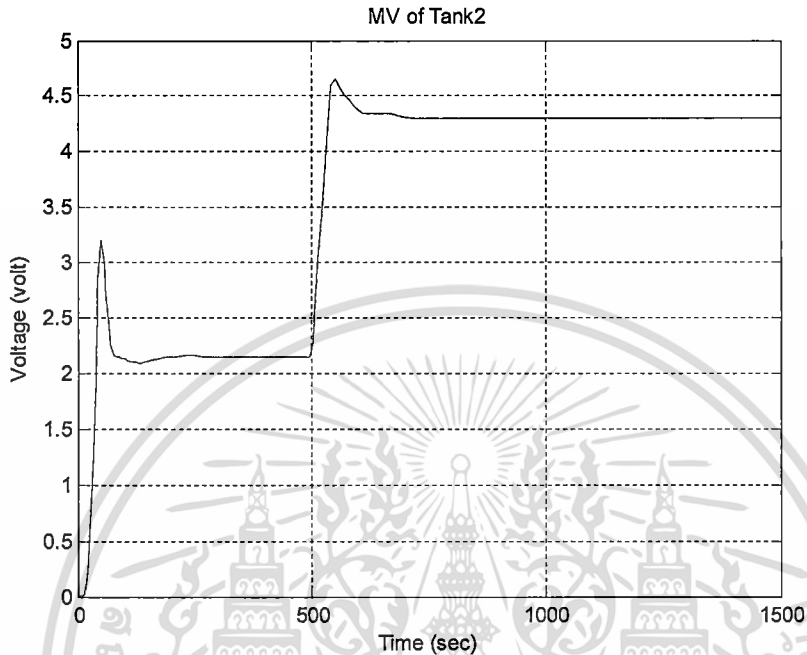
2 เซนติเมตร ค่าเกณฑ์พารามิเตอร์ของ  $K$ , จะมีค่าประมาณ 1.5 และเมื่อค่าเป้าหมายอยู่ที่ระดับ 3 เซนติเมตร ค่าเกณฑ์พารามิเตอร์ของ  $K$ , จะมีค่าประมาณ 2.25



รูปที่ 5.6 ผลตอบสนองทางเอาต์พุต  $y_p$  เทียบกับ  $y_m$  ของถึงน้ำใบที่ 2

เอกสารนี้เป็นเอกสารที่สงวนไว้สำหรับการใช้งานเพื่อการศึกษาเท่านั้น ไม่อนุญาตให้นำไปใช้ประโยชน์ด้านการค้า ไม่ว่าจะกรณีใดๆ ทั้งสิ้น อีกทั้งห้ามมิให้ดัดแปลงเนื้อหา และต้องอ้างอิงถึงเจ้าของเอกสารทุกครั้งที่มีการนำไปใช้

กราฟในรูปที่ 5.6 แสดงผลตอบสนองทางเอาต์พุตของกระบวนการเทียบกับ โมเดลอ้างอิงของ ถังน้ำใบที่ 2 โดยกราฟเส้นประแทนกระบวนการส่วนกราฟเส้นหนาแทนโมเดลอ้างอิง ซึ่งจากการ จำลองแสดงให้เห็นว่าเส้นกราฟทั้งสองเส้นมีค่าใกล้เคียงกันมากบางช่วงเวลากาฟทั้งสองเส้นทับกัน สนิทแสดงให้เห็นว่าโมเดลของกระบวนการกับ โมเดลอ้างอิงมีค่าใกล้เคียงกันเช่นเดียวกับถังน้ำใบที่ 1

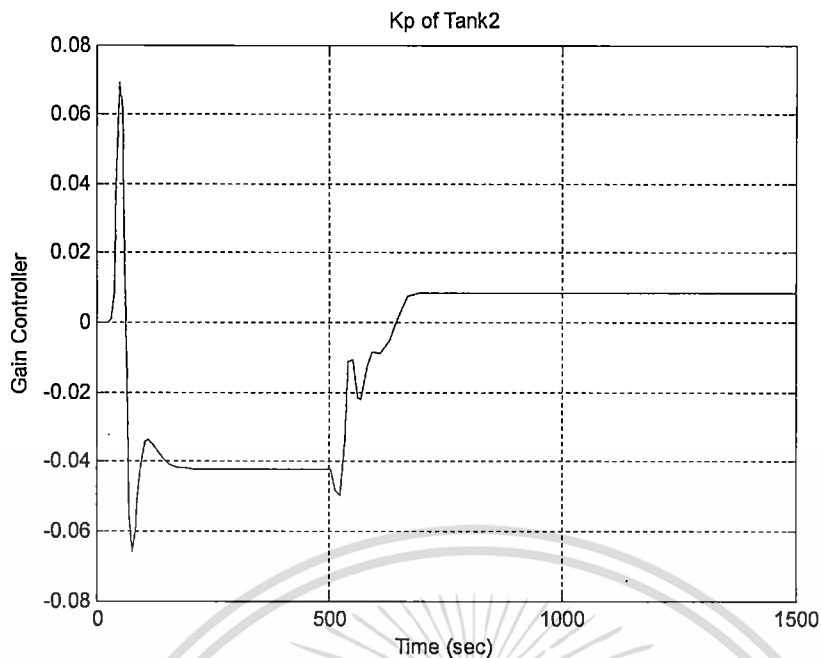


รูปที่ 5.7 สัญญาณควบคุมกระบวนการของถังน้ำใบที่ 2

กราฟในรูปที่ 5.7 เป็นกราฟแสดงสัญญาณควบคุมกระบวนการของถังน้ำใบที่ 2 โดยจะปรับค่า ตามช่วงเวลาที่กำหนดจากอินพุต มีค่าประมาณ 2.2 V ที่ระดับน้ำ 2 เซนติเมตร และมีค่าประมาณ 4.3 V ที่ระดับน้ำ 3 เซนติเมตร

กราฟในรูปที่ 5.8 เป็นกราฟแสดงค่าพารามิเตอร์ของตัวควบคุม  $K_p$  สำหรับควบคุมระดับน้ำใน ถังใบที่ 2 โดยค่าพารามิเตอร์ของตัวควบคุมแบบพีจะเปลี่ยนแปลงตามเวลา ในช่วงเวลา 0-200 วินาที ค่าพารามิเตอร์ของตัวควบคุมแบบพีจะมีการเปลี่ยนแปลงมากเพื่อปรับกระบวนการไปยังค่าเป้าหมาย ส่วนช่วงเวลา 200 - 500 วินาที ค่าพารามิเตอร์ของตัวควบคุมแบบพีจะพยายามปรับตัวให้คงที่เพื่อรักษา ระดับน้ำให้คงที่อยู่ที่ค่าเป้าหมาย และจะปรับตัวเองอีกครั้งหลังจากช่วงเวลา 500 วินาทีเป็นต้นไป เนื่องจากค่าเป้าหมายของระดับน้ำมีค่าเปลี่ยนไป โดยที่เมื่อค่าเป้าหมายอยู่ที่ระดับ 2 เซนติเมตร ค่าเกณฑ์ พารามิเตอร์ของ  $K_p$  จะมีค่าประมาณ -0.04 และเมื่อค่าเป้าหมายอยู่ที่ระดับ 3 เซนติเมตร ค่าเกณฑ์ พารามิเตอร์ของ  $K_p$  จะมีค่าประมาณ 0.01

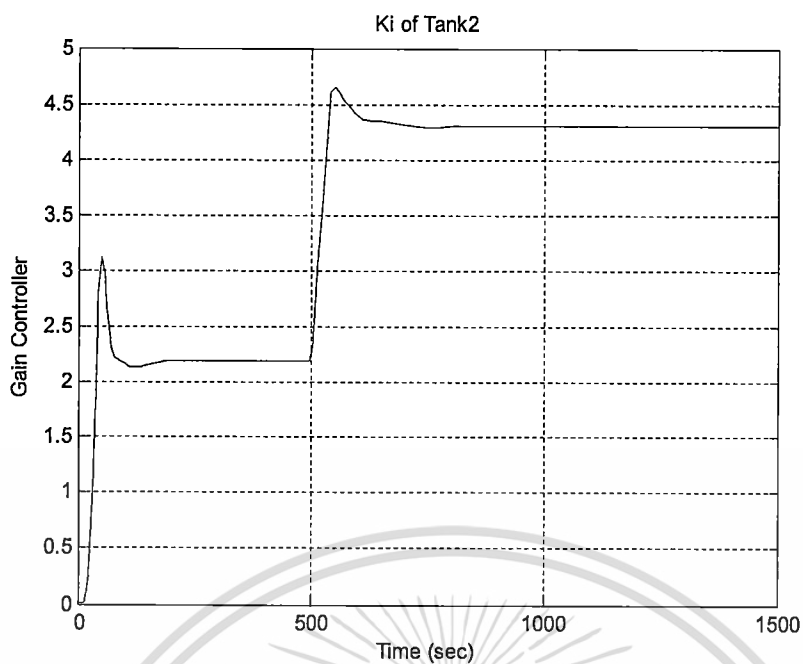
เอกสารนี้เป็นเอกสารที่สงวนไว้สำหรับการใช้งานเพื่อการศึกษาเท่านั้น ไม่อนุญาตให้นำไปใช้ประโยชน์ด้านการค้า ไม่ว่าจะกรณีใดๆ ทั้งสิ้น อีกทั้งห้ามมิให้ดัดแปลงเนื้อหา และต้องอ้างอิงถึงเจ้าของเอกสารทุกครั้งที่มีการนำไปใช้



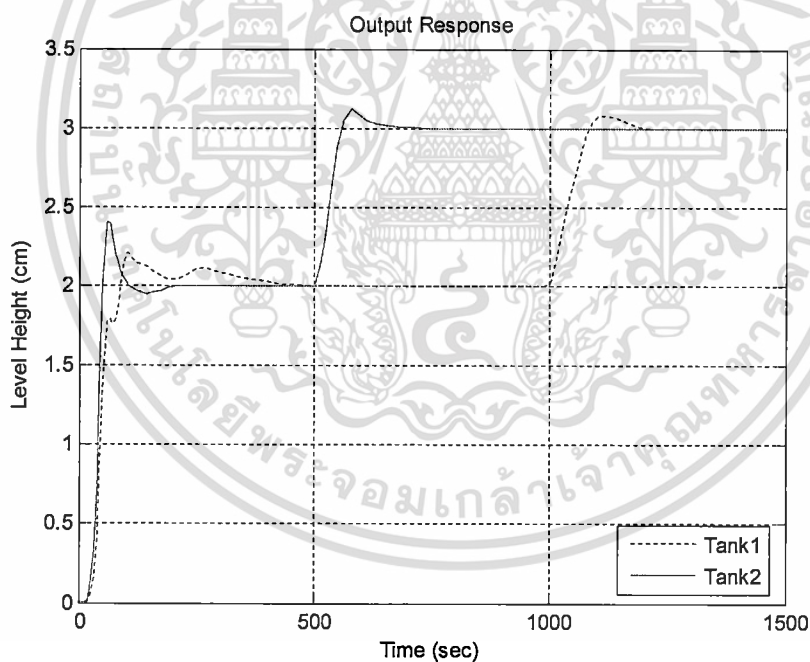
รูปที่ 5.8 สัญญาณตัวควบคุม  $K_p$  สำหรับควบคุมถังน้ำใบที่ 2

กราฟในรูปที่ 5.9 เป็นกราฟแสดงค่าพารามิเตอร์ของตัวควบคุม  $K_p$  สำหรับควบคุมระดับน้ำในถังใบที่ 2 โดยค่าพารามิเตอร์ของตัวควบคุมแบบโหวจะเปลี่ยนแปลงตามเวลา ในช่วงเวลา 0-200 วินาที ค่าพารามิเตอร์ของตัวควบคุมแบบโหวจะมีการเปลี่ยนแปลงค่าเพื่อปรับกระบวนการไปยังค่าเป้าหมาย ส่วนช่วงเวลา 200 - 500 วินาที ค่าพารามิเตอร์ของตัวควบคุมแบบโหวจะพยายามปรับตัวให้คงที่เพื่อรักษาระดับน้ำให้คงที่อยู่ที่ค่าเป้าหมาย และจะปรับตัวเองอีกครั้งหลังจากช่วงเวลา 500 วินาทีเป็นต้นไป เนื่องจากค่าเป้าหมายของระดับน้ำมีค่าเปลี่ยนไป โดยที่เมื่อค่าเป้าหมายอยู่ที่ระดับ 2 เซนติเมตร ค่าเกณฑ์พารามิเตอร์ของ  $K_p$  จะมีค่าประมาณ 2.3 และเมื่อค่าเป้าหมายอยู่ที่ระดับ 3 เซนติเมตร ค่าเกณฑ์พารามิเตอร์ของ  $K_p$  จะมีค่าประมาณ 4.3

กราฟในรูปที่ 5.10 แสดงผลตอบสนองทางเอาต์พุตของถังน้ำทั้งสองเปรียบเทียบกัน โดยการจำลองจะกำหนดให้แต่ละช่วงเวลาระดับน้ำมีระดับที่ต่างกันเพื่อแสดงให้เห็นว่าตัวควบคุมสามารถลดผลกระทบต่อกันของระดับน้ำทั้งสองได้ โดยที่กราฟเส้นประเป็นผลตอบสนองของระดับน้ำถังที่ 1 และกราฟเส้นหนาเป็นผลตอบสนองของระดับน้ำถังที่ 2



รูปที่ 5.9 สัญญาณตัวควบคุม  $K_i$  สำหรับควบคุมถังน้ำใบที่ 2



รูปที่ 5.10 ผลตอบสนองทางด้านเอาต์พุตของกระบวนการ

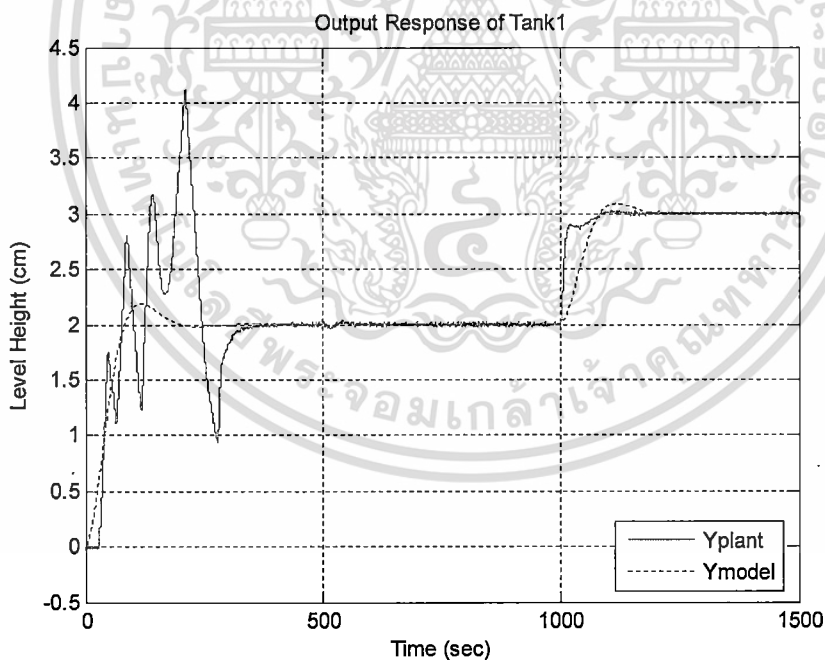
เอกสารนี้เป็นเอกสารที่สงวนไว้สำหรับการใช้งานเพื่อการศึกษาเท่านั้น ไม่อนุญาตให้นำไปใช้ประโยชน์ด้านการค้า  
ไม่ว่ากรณีใดๆ ทั้งสิ้น อีกทั้งห้ามมิให้ดัดแปลงเนื้อหา และต้องอ้างอิงถึงเจ้าของเอกสารทุกครั้งที่มีการนำไปใช้

### 5.3 การทดลองกระบวนการ

หลังจากที่ทำการจำลองกระบวนการด้วยโปรแกรม Simulink เรียบร้อยแล้ว ขั้นตอนต่อไปจะทำการนำค่าพารามิเตอร์ของตัวควบคุมที่ออกแบบได้ไปทำการทดลองกับกระบวนการจริง โดยที่ยังใช้โปรแกรม Simulink เป็นโปรแกรมสำหรับจำลองกระบวนการ แตกต่างกันที่เปลี่ยนจากโมเดลทางคณิตศาสตร์เป็นกระบวนการจริงแทน โดยกำหนดให้  $P.O. = 10\%$  และ  $t_s = 150$  วินาที ขั้นตอนดำเนินการทดลองทำได้ดังนี้คือ

1. ช่วงเวลา 0 – 500 วินาที ควบคุมระดับน้ำในถังทั้ง 2 ใบ ให้อยู่ที่ระดับ 2 เซนติเมตร
2. ช่วงเวลา 500 – 1000 วินาที เปลี่ยนระดับน้ำในถังใบที่ 2 ไปที่ระดับ 3 เซนติเมตร ส่วนระดับน้ำในถังใบที่ 1 ยังคงอยู่ที่ระดับ 2 เซนติเมตรเช่นเดิม
3. ช่วงเวลา 1000 – 1500 วินาที เปลี่ยนระดับน้ำในถังใบที่ 1 ไปที่ระดับ 3 เซนติเมตร ส่วนระดับน้ำในถังใบที่ 2 ยังคงอยู่ที่ระดับ 3 เซนติเมตรเช่นเดิม

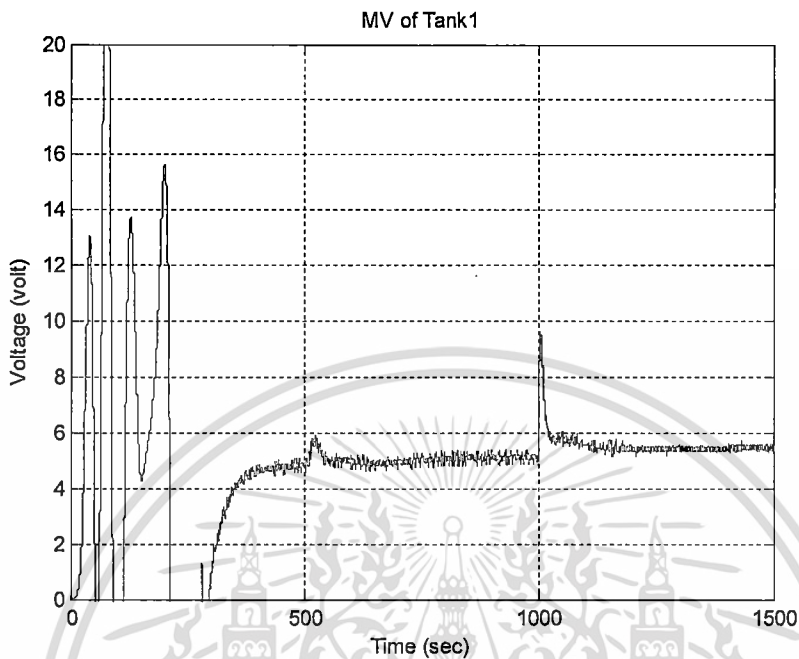
การทดลองเพื่อพิสูจน์ว่าตัวควบคุมที่ออกแบบสามารถทำงานได้ตามข้อกำหนดที่ได้กำหนดไว้ และเพื่อทดสอบว่าสามารถลดผลกระทบต่อกันของระดับน้ำทั้งสองได้ ซึ่งผลการทดลองสามารถอธิบายได้ดังนี้



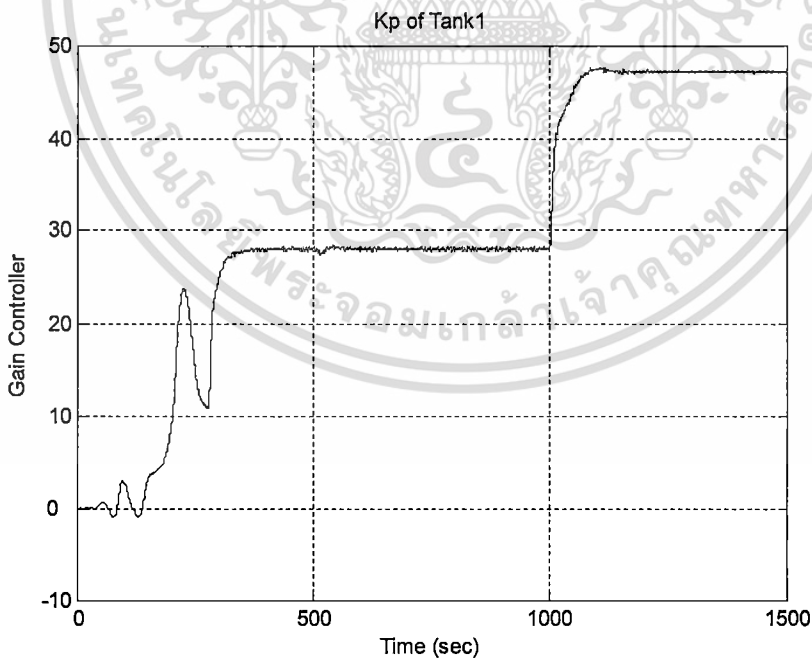
รูปที่ 5.11 แสดงการเปรียบเทียบผลตอบสนองด้านเอาต์พุตระหว่างกระบวนการกับแบบจำลองของ Tank 1

รูปที่ 5.11 เป็นการเปรียบเทียบระหว่างเอาต์พุตของโมเดลอ้างอิงกับเอาต์พุตของกระบวนการจริงของถังน้ำใบที่ 1 โดยที่กราฟเส้นประเป็นสัญญาณเอาต์พุตของโมเดลอ้างอิงและกราฟเส้นทึบเป็นเอกสารนี้เป็นเอกสารที่สงวนไว้สำหรับการใช้งานเพื่อการศึกษาเท่านั้น ไม่อนุญาตให้นำไปใช้ประโยชน์ด้านการค้า ไม่ว่าจะกรณีใดๆ ทั้งสิ้น อีกทั้งห้ามมิให้ดัดแปลงเนื้อหา และต้องอ้างอิงถึงเจ้าของเอกสารทุกครั้งที่มีการนำไปใช้

สัญญาณเอาต์พุตของกระบวนการจริงซึ่งจะเห็นได้ว่ากราฟทั้ง 2 เส้น มีค่าใกล้เคียงกัน ส่วนกราฟรูปที่ 5.12 แสดงสัญญาณควบคุมกระบวนการ และกราฟรูปที่ 5.13 และ 5.14 เป็นกราฟแสดงสัญญาณของตัวควบคุม  $K_p$  และ  $K_i$  ของถังน้ำใบที่ 1 ตามลำดับ

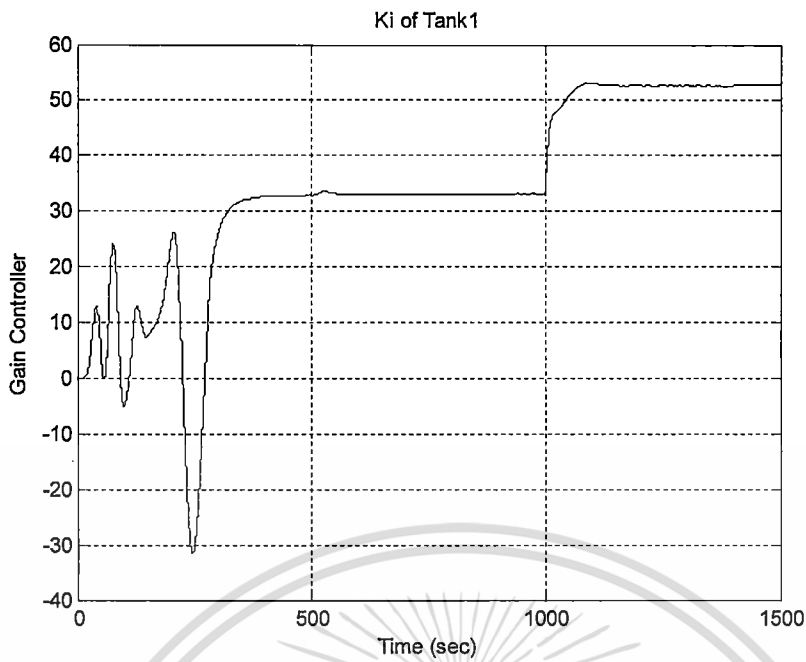


รูปที่ 5.12 แสดงสัญญาณควบคุมกระบวนการของ Tank 1

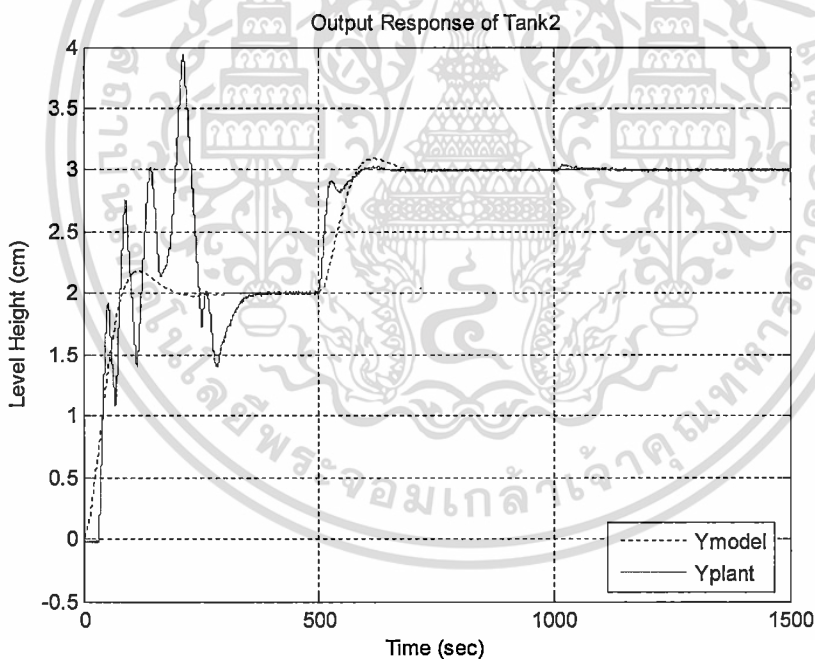


รูปที่ 5.13 สัญญาณตัวควบคุม  $K_p$  สำหรับควบคุมถังน้ำใบที่ 1

เอกสารนี้เป็นเอกสารที่สงวนไว้สำหรับการใช้งานเพื่อการศึกษาเท่านั้น ไม่อนุญาตให้นำไปใช้ประโยชน์ด้านการค้า ไม่ว่าจะกรณีใดๆ ทั้งสิ้น อีกทั้งห้ามมิให้ดัดแปลงเนื้อหา และต้องอ้างอิงถึงเจ้าของเอกสารทุกครั้งที่มีการนำไปใช้



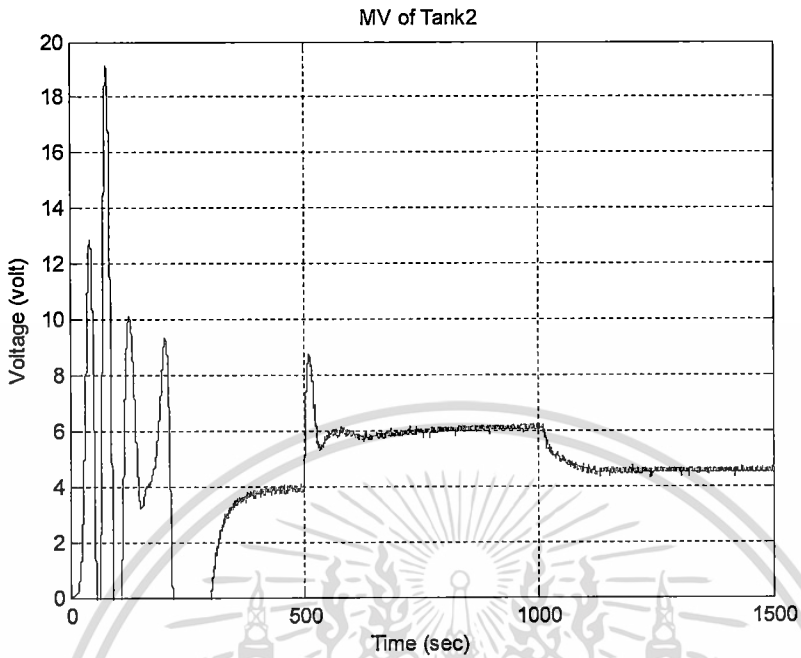
รูปที่ 5.14 สัญญาณตัวควบคุม  $K_i$  สำหรับควบคุมถังน้ำใบที่ 1



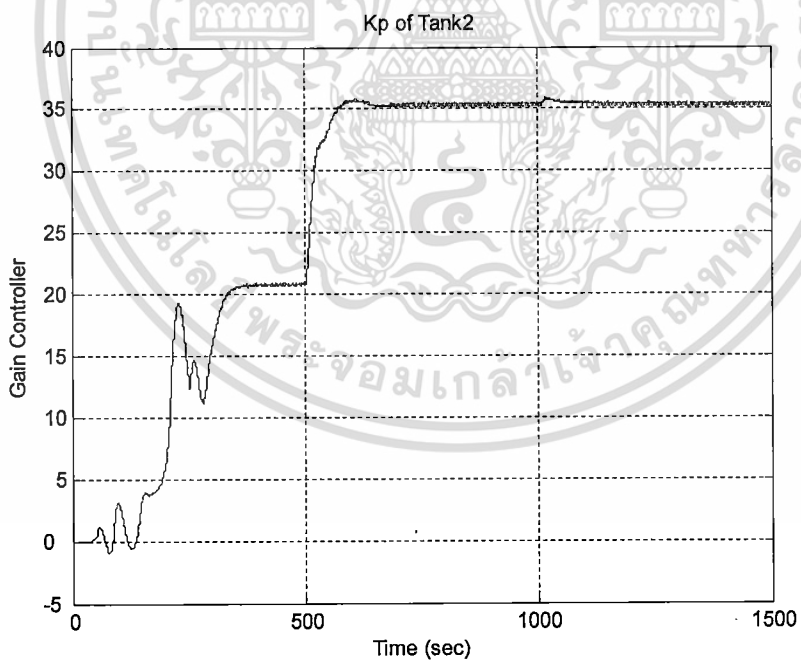
รูปที่ 5.15 แสดงการเปรียบเทียบผลตอบสนองด้านเอาต์พุต  
ระหว่างกระบวนการกับแบบจำลองของ Tank 2

รูปที่ 5.15 เป็นการเปรียบเทียบระหว่างเอาต์พุตของโมเดลอ้างอิงกับเอาต์พุตของกระบวนการจริงของถังน้ำใบที่ 2 โดยที่กราฟเส้นประเป็นสัญญาณเอาต์พุตของโมเดลอ้างอิงและกราฟเส้นทึบเป็นสัญญาณเอาต์พุตของกระบวนการจริงซึ่งจะเห็นได้ว่ากราฟทั้ง 2 เส้น มีค่าใกล้เคียงกัน ส่วนกราฟรูปที่เอกสารนี้เป็นเอกสารที่สงวนไว้สำหรับการใช้งานเพื่อการศึกษาเท่านั้น ไม่อนุญาตให้นำไปใช้ประโยชน์ด้านการค้า ไม่ว่าจะกรณีใดๆ ทั้งสิ้น อีกทั้งห้ามมิให้ดัดแปลงเนื้อหา และต้องอ้างอิงถึงเจ้าของเอกสารทุกครั้งที่มีการนำไปใช้

5.16 แสดงสัญญาณควบคุมกระบวนการ และกราฟรูปที่ 5.17 และ 5.18 เป็นกราฟแสดงสัญญาณของตัวควบคุม  $K_p$  และ  $K_i$  ของถังน้ำใบที่ 2 ตามลำดับ

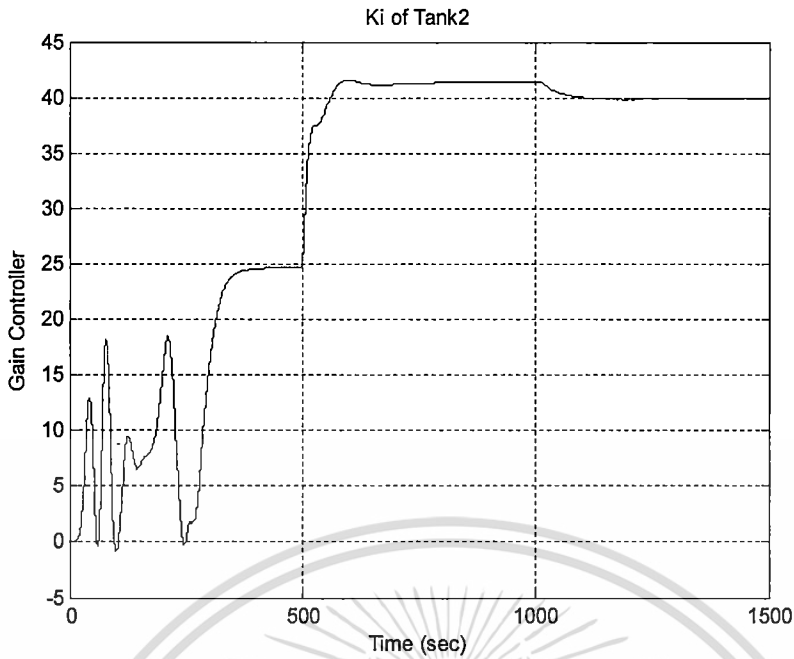


รูปที่ 5.16 แสดงสัญญาณควบคุมกระบวนการของ Tank 2

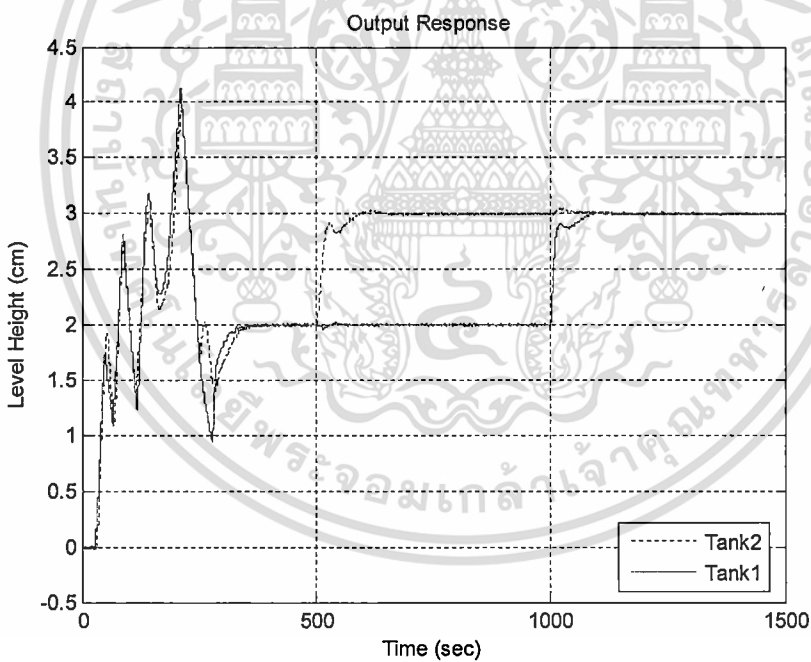


รูปที่ 5.17 สัญญาณตัวควบคุม  $K_p$  สำหรับควบคุมถังน้ำใบที่ 2

เอกสารนี้เป็นเอกสารที่สงวนไว้สำหรับการใช้งานเพื่อการศึกษาเท่านั้น ไม่อนุญาตให้นำไปใช้ประโยชน์ด้านการค้า ไม่ว่าจะกรณีใดๆ ทั้งสิ้น อีกทั้งห้ามมิให้ดัดแปลงเนื้อหา และต้องอ้างอิงถึงเจ้าของเอกสารทุกครั้งที่มีการนำไปใช้



รูปที่ 5.18 สัญญาณตัวควบคุม  $K_i$  สำหรับควบคุมถึงน้ำใบที่ 2



รูปที่ 5.19 แสดงผลตอบสนองด้านเอาต์พุตของกระบวนการ

รูปที่ 5.19 เป็นกราฟแสดงการเปรียบเทียบสัญญาณเอาต์พุตของกระบวนการจริง โดยที่กราฟเส้นทึบเป็นสัญญาณเอาต์พุตของถังน้ำใบที่ 1 และกราฟเส้นประเป็นสัญญาณเอาต์พุตของถังน้ำใบที่ 2

เอกสารนี้เป็นเอกสารที่สงวนไว้สำหรับการใช้งานเพื่อการศึกษาเท่านั้น ไม่อนุญาตให้นำไปใช้ประโยชน์ด้านการค้า ไม่ว่าจะกรณีใดๆ ทั้งสิ้น อีกทั้งห้ามมิให้ดัดแปลงเนื้อหา และต้องอ้างอิงถึงเจ้าของเอกสารทุกครั้งที่มีการนำไปใช้

ตารางที่ 5.1 แสดงสมรรถนะของระบบเมื่อทำการเปลี่ยนระดับน้ำ จาก 2 cm ไป 3 cm

Parameter	Tank 1	Tank 2
$K_p$	28	35
$K_i$	34	42
Gamma ( $K_p$ )	-0.1	-0.1
Gamma ( $K_i$ )	-0.0003	-0.0005
Rise Time : $t_r$	5	8
Peak Time : $t_p$	0	0
Settling Time : $t_s$	50	52
Percent Overshoot : $P.O.$	0	0

#### 5.4 สรุปผลการทดลอง

จากการทดลองจะเห็นว่าผลการจำลองจากโปรแกรม Matlab กับผลการทดลองจริงมีค่าใกล้เคียงกัน ผลการทดลองทำให้เห็นถึงประสิทธิภาพของ MRAC ที่สามารถควบคุมกระบวนการให้เข้าสู่ค่าเป้าหมายอีกทั้งยังเป็นไปตามข้อกำหนดอีกด้วย ซึ่งถ้าสังเกตจากกราฟจะเห็นว่าค่าผลตอบสนองของกระบวนการจริงนั้นแทบจะไม่มีค่าพุ่งเกินเลยอีกทั้งเวลาเข้าที่ซึ่งมีค่าน้อยกว่าข้อกำหนด และเมื่อเปรียบเทียบกับวิธีทางเดินของรากแล้วทำให้เห็นถึงประสิทธิภาพของ MRAC มากยิ่งขึ้น การปรับอัตราการเรียนรู้ (gamma) ถือว่ามีความสำคัญมาก เพราะเนื่องจากว่าถ้ากำหนดค่าไม่เหมาะสมผลที่ได้ก็อาจไม่เป็นไปตามข้อกำหนดที่เราต้องการ เพราะฉะนั้นทฤษฎีในบทที่ 3 และวิธีการออกแบบในบทที่ 4 จึงมีความสำคัญในการทดลองในบทที่ 5 เป็นอย่างมาก

## บทที่ 6

# สรุปผลการวิจัยและข้อเสนอแนะ

### 6.1 บทสรุป

วิทยานิพนธ์นี้ได้นำเสนอวิธีการของดิคัปปลิงเข้ามาช่วยในการออกแบบตัวควบคุม สำหรับกระบวนการระดับน้ำสองถังที่มีผลกระทบต่อกันซึ่งแบบจำลองทางคณิตศาสตร์ของกระบวนการได้มาจากสมการสมดุลมวลและกฎของเบอร์นูลี โดยแบบจำลองทางคณิตศาสตร์ที่ได้มานั้นจะเป็นแบบจำลองที่ไม่เป็นเชิงเส้น ดังนั้นจึงได้ใช้วิธีของอนุกรมเทเลอร์เพื่อแปลงแบบจำลองทางคณิตศาสตร์ที่ไม่เป็นเชิงเส้น ให้เป็นแบบจำลองเชิงเส้น จากนั้นจึงนำแบบจำลองที่เป็นเชิงเส้นนี้ไปออกแบบชุดดิคัปปลิงเพื่อให้กระบวนการระดับระดับน้ำสองถังที่มีผลกระทบต่อกันแยกโครงสร้างของระบบให้เป็นแบบอิสระต่อกันจำนวน 2 ชุด ระบบที่ได้รับการแยกอิสระโดยชุดดิคัปปลิงจะถูกนำไปออกแบบตัวควบคุมโดยอาศัยเทคนิคการออกแบบตัวควบคุมด้วยวิธี MRAC ต่อไป พารามิเตอร์ของตัวควบคุมที่ได้จะนำไปจำลองการทำงานโดยโปรแกรม MATLAB และทดลองกับกระบวนการจริง

การออกแบบตัวควบคุมด้วยวิธีการของ MRAC เป็นการออกแบบตัวควบคุมเพื่อให้พารามิเตอร์ของตัวควบคุมปรับเปลี่ยนไปตามโมเดลอ้างอิงของกระบวนการ ซึ่งจะทำให้การควบคุมกระบวนการเป็นแบบ Real Time มากยิ่งขึ้นความถูกต้องของการควบคุมก็มากยิ่งขึ้น อีกสิ่งหนึ่งที่สำคัญสำหรับการออกแบบตัวควบคุมด้วยเทคนิคของ MRAC คือการปรับค่าอัตราการเรียนรู้ (Learning Rate :  $\gamma$ ) ซึ่งค่าที่กำหนดให้กับตัวควบคุมจะเป็นค่าที่ติดลบ โดยที่เงื่อนไขในการปรับค่าอัตราการเรียนรู้ก็คือถ้าค่าติดลบมีค่าน้อยๆ เช่น -0.00001 อัตราการเรียนรู้ก็จะช้าแต่โอกาสที่ระบบจะเข้าสู่ค่าเป้าหมายก็มีมาก แต่ถ้าค่าอัตราการเรียนรู้มีค่าติดลบมากๆ เช่น -0.1 อัตราการเรียนรู้ก็จะเร็วแต่โอกาสที่ระบบจะเข้าสู่ค่าเป้าหมายก็น้อยลง

วิธีการของ MRAC ถือเป็นอีกวิธีหนึ่งที่ให้ผลตอบสนองทางเอาต์พุตได้ดีเมื่อเทียบกับวิธีอื่นวิธีการออกแบบอาจจะยุ่งยากกว่าแต่ก็ถือว่าให้ผลตอบสนองเป็นที่น่าพอใจ ซึ่งเหมาะกับกระบวนการที่มีการเปลี่ยนแปลงอยู่ตลอดเวลา

## 6.2 ปัญหาที่พบในการวิจัยและแนวทางในการแก้ปัญหา

ปัญหาที่พบในการทดลองนั้นพบว่ามียหลายปัญหาด้วยกัน สามารถอธิบายได้ดังนี้

1. อุปกรณ์วัดระดับแบบความดันแตกต่าง (Differential Pressure Transmitter) ที่ไม่ได้ทำการติดตั้งอย่างถาวรทำให้ช่วงการวัดอาจขยับเลื่อนไปได้ หากมีการขยับตำแหน่งตัววัดระดับแบบความดันแตกต่าง หรือฟองอากาศที่เกิดขึ้นจากการหมุนวาล์วที่ตัววัดระดับแบบความดันแตกต่าง แนวทางการแก้ปัญหาคือต้องทำการกำหนดช่วงการวัดก่อนที่จะเก็บผลการทดลอง และตรวจสอบความถูกต้องของเอาท์พุทจากตัววัดระดับแบบความดันแตกต่างขณะทำการทดลองให้ถูกต้อง

2. ในการควบน้ำของปั้มน้ำนั้น บ่อยครั้งมักจะมีเศษผงตะกอน ถูกดูดเข้าไป ทำให้เกิดการอุดตันในตัวปั้มน้ำและเป็นสาเหตุให้อัตราการไหลของปั้มน้ำลดลง แนวทางการแก้ปัญหาคือ ใช้อุปกรณ์ กรองน้ำเพื่อกันไม่ให้เศษผงตะกอนสามารถไหลเข้าไปยังปั้มได้

3. อุปกรณ์ที่ใช้ในการขับเคลื่อนของปั้มน้ำ เมื่อใช้เวลาดทดลองนานๆ จะเกิดความร้อนสะสมที่ตัวไอซีมาก ถึงแม้จะมีตัวระบายความร้อนติดอยู่ที่ตัวไอซีก็ตาม ทำให้การขับเคลื่อนของปั้มน้ำนั้นไม่สามารถทำงานได้เต็มประสิทธิภาพ แรงดันและกระแสที่เข้าสู่ปั้มน้ำจะลดลงแม้ว่าแรงดันที่จ่ายให้กับอุปกรณ์ขับเคลื่อนจะคงที่ จึงเป็นสาเหตุให้อัตราการไหลของปั้มน้ำลดลง แนวทางการแก้ไขปัญหาคือ ใช้ไอซีที่สามารถทนกระแสได้สูงมากขึ้น หรือเปลี่ยนตัวระบายความร้อนให้มีขนาดใหญ่ขึ้น

4. การทดลองติดต่อกันเป็นเวลานาน มีผลทำให้ประสิทธิภาพการทำงานของปั้มน้ำต่ำลง เป็นผลให้อัตราการไหลเข้าของน้ำลดลงอันเนื่องมาจากค่ากำลังของปั้มตกลงนั่นเอง แนวทางการแก้ไขคือ ควรออกแบบการทดลองและการเก็บผลให้ใช้ระยะเวลาเหมาะสมกับความสามารถของตัวอุปกรณ์

5. วาล์วที่ใช้ในการปรับค่าพารามิเตอร์ของกระบวนการต่าง ๆ อาทิ วาล์วชุดปรับพื้นที่ ตั้ครูด้านออกของถัง หรือวาล์วชุดปรับพื้นที่ด้านเข้าของถัง มีลักษณะไม่เชิงเส้นและแตกต่างกัน ทำให้การปรับตำแหน่งของวาล์วในการหาจุดทำงานของกระบวนการทำได้ยาก

## 6.3 ข้อเสนอแนะและแนวทางการพัฒนา

การนำวิธีของ MRAC มาช่วยออกแบบตัวควบคุมแบบพีไอสำหรับกระบวนการระดับน้ำสองถังที่มีผลกระทบต่อกันถือว่าเป็นต้นแบบที่แสดงให้เห็นถึงประสิทธิภาพของ MRAC ซึ่งผู้วิจัยคิดว่าหากนำไปใช้กับกระบวนการอื่นที่มีการเปลี่ยนแปลง โครงสร้างอยู่ตลอดเวลาก็น่าจะเป็นอีกหนึ่งทางเลือกในการแก้ปัญหาได้ดี

การทดลองนี้เป็นการทดลองโดยใช้เครื่องคอมพิวเตอร์เป็นตัวควบคุมซึ่งแนวทางการพัฒนาต่อไปอาจจะนำไปเขียนลงในไอซีคอนโทรลเลอร์เพื่อให้สามารถใช้งานแบบ Stand Alone ได้ก็น่าจะเป็นแนวทางการพัฒนาที่ดี

เอกสารนี้เป็นเอกสารสงวนลิขสิทธิ์สำหรับการใช้งานเพื่อการศึกษาเท่านั้น ไม่อนุญาตให้นำไปใช้ประโยชน์ด้านการค้า  
ไม่ว่ากรณีใดๆ ทั้งสิ้น อีกทั้งห้ามมิให้ตัดแปลงเนื้อหา และต้องอ้างอิงถึงเจ้าของเอกสารทุกครั้งที่มีการนำไปใช้

## บรรณานุกรม

- [1] Luyben, W.L. “*Distillation decoupling.*” *AIChE Journal*, 1970, 16(2), 198-203.
- [2] Gagnon E., Pomerleau A. and Desbiens A. “*Simplified, Ideal or Inverted Decoupling.*”  
Department of electrical and Computer engineering, Laval University, Quebec,  
Canada
- [3] J.C. Bacilio and S.R. Matos “*Design of PI and PID Controllers With Transient Performance Specification*” *IEEE Transactions on Education*, vol. 45, No. 4, November 2002
- [4] Åström, K. J., and T. Häggglund (1995). *PID Controllers: Theory, Design, and Tuning.* Instrument Society of America, 2nd edition.
- [5] S. Menani and H.N. Koivo, Relay tuning of multivariable PI controllers, in: *Proc. IFAC 13th Triennial World Congress, San Francisco, Vol. K, pp. 139-144 (1996).*
- [6] Z. J. Palmor, Y. Halevi and N. Krasney, “Automatic tuning of decentralized PID controllers for TITO processes”, *Automatica*, Vol.31No.7, pp. 1001-1010, 1995
- [7] Q.C. Wang, B. Zou, T.H. Lee and Q. Bi “Auto tuning of multivariable PID controllers from decentralized relay feedback”, *Automatica*, Vol.33, No.3, pp. 319-330, 1997
- [8] Damir Vrani, “Tuning of Decoupling Controller by using MIMO Method”
- [9] S. Skogestad, and I. Postlethwaite., *Multivariable Feedback Control Analysis and Design*, John Wiley & Sons, Chichester, 1996
- [10] J.M. Maciejowski, *Multivariable Feedback Design*, Addison-Wesley, 1989
- [11] M. Zhuang, and D.P. Atherton, “PID controller design for a TITO system”, *IEE Proc.-Control Theory Appl.*, Vol.141, No.2, pp.111-120, 1994
- [12] S. Majhi, “SISO controller for TITO systems”, presented at the *Int.Conf. on Energy. Automation and information Tech.*, 2001
- [13] N.K.Poulsen, B.Kouvaritakis and M.Cannon. “Nonlinear constrained predictive control applied to a coupled-tanks apparatus” *IEE Proc.-Control Theory Appb*, Vol. 148, No. I, January 200



## ภาคผนวก

เอกสารนี้เป็นเอกสารที่สงวนไว้สำหรับการใช้งานเพื่อการศึกษาเท่านั้น ไม่อนุญาตให้นำไปใช้ประโยชน์ด้านการค้า  
ไม่ว่ากรณีใดๆ ทั้งสิ้น อีกทั้งห้ามมิให้ดัดแปลงเนื้อหา และต้องอ้างอิงถึงเจ้าของเอกสารทุกครั้งที่มีการนำไปใช้



เอกสารนี้เป็นเอกสารที่สงวนไว้สำหรับการใช้งานเพื่อการศึกษาเท่านั้น ไม่อนุญาตให้นำไปใช้ประโยชน์ด้านการค้า  
ไม่ว่ากรณีใดๆ ทั้งสิ้น อีกทั้งห้ามมิให้ดัดแปลงเนื้อหา และต้องอ้างอิงถึงเจ้าของเอกสารทุกครั้งที่มีการนำไปใช้

```

clear;

clc;

K1=5.4; K2=4.8; A=66.25;
a1=0.1963; a2=0.1963; ax=0.1963;
B1=0.7280; B2=0.7576; Bx=0.7668;
h1=8.3; h2=4.2; g=981;

%*****
% Ti find G11(s) G12(s) G21(s) G22(s)
%*****
Tx1=A/(B1*a1); Ty1=sqrt((2*h1)/g);
T1=Tx1*Ty1;
Tx2=A/(B2*a2); Ty2=sqrt((2*h2)/g);
T2=Tx2*Ty2;
Txx=A/(Bx*ax); Tyx=sqrt((2*(h1-h2))/g);
Tx=Txx*Tyx;
T12=T1*T2; T1x=T1*Tx; T2x=T2*Tx;
z1=1/T12; z2=1/T1x; z3=1/T2x; z=z1+z2+z3;
x1=T1x; x2=T2x; x3=2*T12; x4=T12*Tx; x=(x1+x2+x3)/x4;
den=[1 x z];

%*****G11(s)*****
G1A=K1/A; G1B=Tx+T2; G1C=Tx*T2; G1D=G1B/G1C;
num1=[G1A G1A*G1D];
G11=tf(num1,den)

%*****G12(s)*****
G12A=K2/A; T12x=1/Tx;
num2=G12A*T12x;
G12=tf(num2,den)

```

เอกสารนี้เป็นเอกสารที่สงวนไว้สำหรับการใช้งานเพื่อการศึกษาเท่านั้น ไม่อนุญาตให้นำไปใช้ประโยชน์ด้านการค้า  
ไม่ว่ากรณีใดๆ ทั้งสิ้น อีกทั้งห้ามมิให้ดัดแปลงเนื้อหา และต้องอ้างอิงถึงเจ้าของเอกสารทุกครั้งที่มีการนำไปใช้

```
%*****G21(s)*****
```

```
G21A=K1/A;
```

```
num3=G21A*T12x;
```

```
G21=tf(num3,den)
```

```
%*****G22(s)*****
```

```
G22A=K2/A; G22B=Tx+T1; G22C=Tx*T1; G22D=G22B/G22C;
```

```
num4=[G22A G22A*G22D];
```

```
G22=tf(num4,den)
```

```
%//Define Decoupling//%
```

```
D12x=(G12/G11);
```

```
D12=minreal(D12x)
```

```
D21x=(G21/G22);
```

```
D21=minreal(D21x)
```

```
% To find g1(s) and g2(s) by decoupling method;
```

```
% To find g1(s)
```

```
Gn11=G11-(D21*G12);
```

```
Gn1=minreal(Gn11)
```

```
Gn22=G22-(D12*G21);
```

```
Gn2=minreal(Gn22)
```

```
%*****
```

```
%b1=1; po=10%, ts=150s
```

```
b2=0.0011;
```

```
a0=1; a1=0.04; a2=0.0011;
```

เอกสารนี้เป็นเอกสารที่สงวนไว้สำหรับการใช้งานเพื่อการศึกษาเท่านั้น ไม่อนุญาตให้นำไปใช้ประโยชน์ด้านการค้า  
ไม่ว่ากรณีใดๆ ทั้งสิ้น อีกทั้งห้ามมิให้ดัดแปลงเนื้อหา และต้องอ้างอิงถึงเจ้าของเอกสารทุกครั้งที่มีการนำไปใช้

0/0\*\*\*\*\*

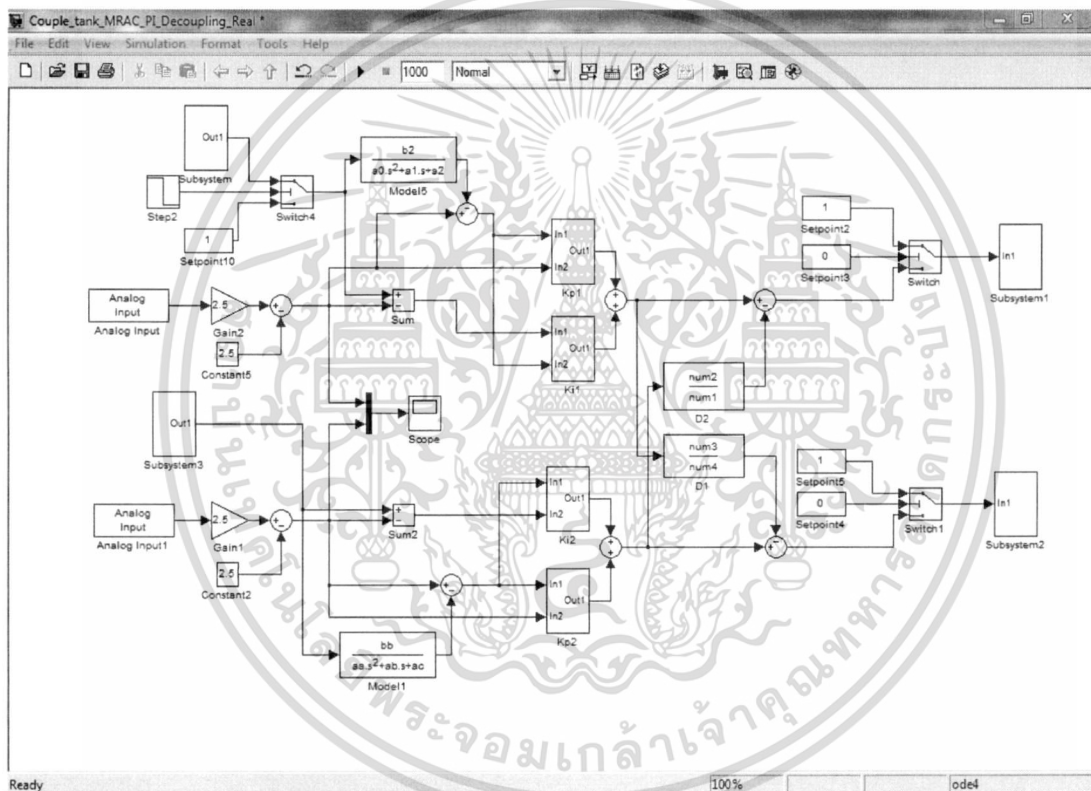
%%gramma%%

grmp1=-0.1;

grmi1=-0.0003;

grmp2=-0.1;

grmi2=-0.0005;



เอกสารนี้เป็นเอกสารที่สงวนไว้สำหรับการใช้งานเพื่อการศึกษาเท่านั้น ไม่อนุญาตให้นำไปใช้ประโยชน์ด้านการค้า  
ไม่ว่ากรณีใดๆ ทั้งสิ้น อีกทั้งห้ามมิให้ดัดแปลงเนื้อหา และต้องอ้างอิงถึงเจ้าของเอกสารทุกครั้งที่มีการนำไปใช้



ภาคผนวก ข.  
ผลงานวิจัยที่ได้รับการตีพิมพ์เผยแพร่

1. Suparoek Kangwanrat, Vittaya Tipsuwanporn and Arjin Numsomran., “**Design of PI Controller Using MRAC Technique for Coupled-Tank Process**”  
PROCEEDINGS OF INTERNATIONAL CONFERENCE CONTROL, AUTOMATION  
AND SYSTEM 2010, Oct. 27-30, 2010 in KINTEX, Gyeonggi-do, Korea.

## Design of PI Controller Using MRAC Techniques for Coupled-Tanks Process

Suparoek Kangwanrat<sup>1</sup>, Vittaya Tipsuwannaporn<sup>1</sup> and Arjin Numsomran<sup>1</sup>

<sup>1</sup> Department of Instrumentation and Control Engineering, Faculty of Engineering, King Mongkut's Institute of Technology Ladkrabang, Bangkok, Thailand  
(Tel : +668-1-925-0356; E-mail: knarjin@kmitl.ac.th)

**Abstract:** The typical coupled-tanks process that is TITO plant has the difficulty in controller design because changing of system dynamics and interacting of process. This paper presents design methodology of auto-adjustable PI controller using MRAC technique. The proposed method can adjust the controller parameters in response to changes in plant and disturbance real time by referring to the reference model that specifies properties of the desired control system.

**Keywords:** PI Controller, MRAC, Coupled-Tanks Process

### 1. INTRODUCTION

The control of liquid level in tanks and flow between tanks is a basic problem in the process industries. In vital industries such as Petro-chemical industries, Paper making industries, Water treatment industries have the coupled tanks processes of chemical or mixing treatment in the tanks, the level of fluid in the tanks and interacting between tanks must be controlled. It is essential for control system engineers to understand how coupled tanks control systems work and how the level control problem is solved. The problem of level control in coupled tanks processes are system dynamics and interacting characteristic. Many control methods such as 2-DOF PID [1], Auto tuning PID [2], CDM [3] and Decoupling [4] have been applied to coupled tanks processes for solving their problems. This paper presents design methodology of auto-adjustable PI controller using MRAC technique for solving the problem of coupled tanks processes. The proposed method can adjust the controller parameters in response to changes in plant and disturbance real time by referring to the reference model that specifies properties of the desired control system. Therefore, this technique is convenient for controller design under the requirement of the system.

The paper is organized as follows. The next section gives details about Coupled-tank process. Section 3 explains a MRAC technique. Section 4 explains an implementation of PI Controller using MRAC Technique for coupled tank process. Section 5 shows experiment process and results. Finally, conclusions are given in section 6.

### 2. COUPLED-TANKS PROCESS

Consider the coupled-tank , two-input two-output process, in fig.1. The target is to control water level of lower two tanks  $h_1(t)$ ,  $h_2(t)$  by the inlet water flow from two pumps  $Q_1(t)$ ,  $Q_2(t)$ . The process inputs are input voltage of two pumps  $u_1(t)$ ,  $u_2(t)$ . The balance of water level in two tanks relates with inlet

flow  $Q_1(t)$ ,  $Q_2(t)$ , outlet valve ratio  $\beta_1, \beta_2$  and connected valve ratio  $\beta_x$  that acts on interacting between two tanks.

The nonlinear plant equations can be obtained by mass balance equation and Bernoulli's law. After linearization process, we obtain the linearized plant equations as (1).

$$\begin{aligned} \frac{dh_1(t)}{dt} &= \frac{k_1}{A} U_1(t) - \frac{\beta_1 a}{A} \sqrt{\frac{g}{2h_1}} H_1(t) \\ &\quad + \frac{\beta_x a}{A} \sqrt{\frac{g}{2|h_2 - h_1|}} [H_2(t) - H_1(t)] \\ \frac{dh_2(t)}{dt} &= \frac{k_2}{A} U_2(t) - \frac{\beta_2 a}{A} \sqrt{\frac{g}{2h_2}} H_2(t) \\ &\quad - \frac{\beta_x a}{A} \sqrt{\frac{g}{2|h_2 - h_1|}} [H_2(t) - H_1(t)] \end{aligned} \quad (1)$$

Where  $A$  is the cross section area of tank 1 and tank 2 ( $cm^2$ ),  $a$  is the cross section area of outlet hole of tank 1, tank 2 and cross section area of jointed pipe between tank 1 and tank 2 ( $cm^2$ ),  $\beta_1$  is the valve ratio at the outlet of tank 1,  $\beta_2$  is the valve ratio at the outlet of tank 2,  $\beta_x$  is the valve ratio between tank 1 and tank 2,

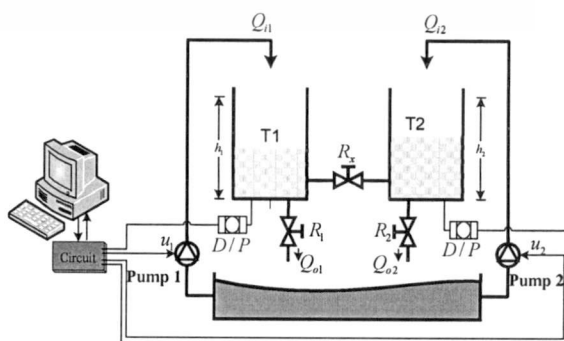


Fig.1 The Schematic of Coupled-Tank Process.

เอกสารนี้เป็นเอกสารที่สงวนไว้สำหรับการใช้งานเพื่อการศึกษาเท่านั้น ไม่อนุญาตให้นำไปใช้ประโยชน์ด้านการค้า  
ไม่ว่ากรณีใดๆ ทั้งสิ้น อีกทั้งห้ามมิให้ดัดแปลงเนื้อหา และต้องอ้างอิงถึงเจ้าของเอกสารทุกครั้งที่มีการนำไปใช้

$\bar{h}_1, \bar{h}_2$  are the steady-state water level of tank 1 and tank 2,  $g$  is the gravity ( $cm^2/s$ ) and  $k_1, k_2$  are the gain of pump 1 and pump 2 ( $cm^3/V \cdot s$ ).

From the linearized plant equations (1) can be transformed to the equation as (2)

$$\begin{bmatrix} h_1(s) \\ h_2(s) \end{bmatrix} = \begin{bmatrix} G_{11}(s) & G_{12}(s) \\ G_{21}(s) & G_{22}(s) \end{bmatrix} \begin{bmatrix} u_1(s) \\ u_2(s) \end{bmatrix} \quad (2)$$

Where transfer matrix  $G_{ij}(s)$  has the value as following

$$G_{11}(s) = \frac{\frac{k_1}{A} \left( s + \frac{(T_x + T_2)}{T_2 T_x} \right)}{s^2 + \left( \frac{T_1 T_x + T_2 T_x + 2T_1 T_2}{T_1 T_2 T_x} \right) s + \left( \frac{1}{T_1 T_2} + \frac{1}{T_1 T_x} + \frac{1}{T_2 T_x} \right)}$$

$$G_{12}(s) = \frac{\frac{k_2}{A} \cdot \frac{1}{T_x}}{s^2 + \left( \frac{T_1 T_x + T_2 T_x + 2T_1 T_2}{T_1 T_2 T_x} \right) s + \left( \frac{1}{T_1 T_2} + \frac{1}{T_1 T_x} + \frac{1}{T_2 T_x} \right)}$$

$$G_{21}(s) = \frac{\frac{k_1}{A} \cdot \frac{1}{T_x}}{s^2 + \left( \frac{T_1 T_x + T_2 T_x + 2T_1 T_2}{T_1 T_2 T_x} \right) s + \left( \frac{1}{T_1 T_2} + \frac{1}{T_1 T_x} + \frac{1}{T_2 T_x} \right)}$$

$$G_{22}(s) = \frac{\frac{k_2}{A} \left( s + \frac{(T_x + T_1)}{T_1 T_x} \right)}{s^2 + \left( \frac{T_1 T_x + T_2 T_x + 2T_1 T_2}{T_1 T_2 T_x} \right) s + \left( \frac{1}{T_1 T_2} + \frac{1}{T_1 T_x} + \frac{1}{T_2 T_x} \right)} \quad (3)$$

where

$$T_1 = \frac{A}{\beta_1 a} \sqrt{\frac{2\bar{h}_1}{g}}, \quad T_2 = \frac{A}{\beta_2 a} \sqrt{\frac{2\bar{h}_2}{g}}, \quad T_x = \frac{A}{\beta_x a} \sqrt{\frac{2|\bar{h}_1 - \bar{h}_2|}{g}}$$

$\bar{h}_1, \bar{h}_2$  are the steady-state water level of tank 1 and tank 2,  $T_1$  is the time constant of tank 1,  $T_2$  is the time constant of tank 2 and  $T_x$  is the time constant between tank 1 and tank 2.

### 3. MRAC

The block diagram in Fig. 2 shows the structure of a model-reference adaptive control (MRAC) system that composed of process, controller, reference model and adjustment mechanism block. The model reference adaptive control (MRAC) Technique is based on information  $y_m, y, u$  and  $u_c$  that is used for devising a controller. The adjustment mechanism automatically adjusts controller parameters so that the behavior of the closed-loop control plant output

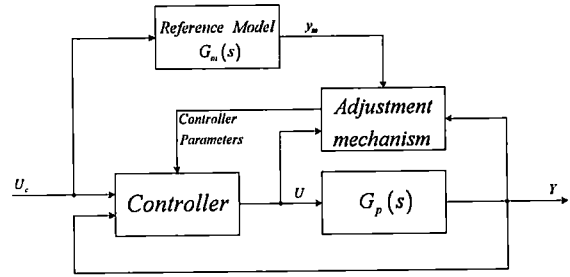


Fig. 2 Block diagram of a model-reference adaptive control (MRAC) system.

( $y$ ) closely follows that ( $y_m$ ) of the reference model. Parameters and structure of reference model are specificities on base of requirements of control performance.

The adjustment mechanism of MRAC system constructs by adaptive control rule, called MIT rule which performs the algorithms as following.

Tracking error

$$e = y_p - y_m \quad (5)$$

Form cost function

$$J(\theta) = \frac{1}{2} e^2(\theta) \quad (6)$$

MIT Rule says that the time rate of change of  $\theta$  is roportional to negative gradient of  $J$ . That is

$$\frac{d\theta}{dt} = -\gamma \frac{\partial J}{\partial \theta} = -\gamma e \frac{\partial e}{\partial \theta} \quad (7)$$

Where  $e$  denotes the model error and  $\theta$  is the controller parameter vector. The components of  $\frac{\partial e}{\partial \theta}$  are the sensitivity derivatives of the error with respect to  $\theta$ . The parameter  $\gamma$  is known as the adaptation gain. The MIT rule is a gradient scheme that aims to minimize the squared model cost function [5].

### 4. PI CONTROLLER DESIGN USING MRAC TECHNIQUE FOR COUPLED-TANKS PROCESS

Because of the interaction between processes, the Couple-tank control system needs the decoupling controllers to minimize the cross coupling effects. After the decoupling design, [4] we get 2 SISO transfer functions of plant  $g_{n11}$  and  $g_{n22}$  which are used for PI controller design by MRAC technique respectively.

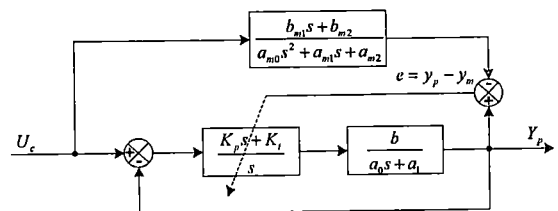


Fig. 3 structure of 1<sup>st</sup> order MRAC control system

เอกสารนี้เป็นเอกสารที่สงวนลิขสิทธิ์สำหรับการใช้งานเพื่อการศึกษาเท่านั้น ไม่อนุญาตให้นำไปใช้ประโยชน์ด้านการค้า  
ไม่ว่ากรณีใดๆ ทั้งสิ้น อีกทั้งห้ามมิให้ตัดแปลงเนื้อหา และต้องอ้างอิงถึงเจ้าของเอกสารทุกครั้งที่มีการนำไปใช้

Consider a system described by 1<sup>st</sup> order model  $b/(a_0s+a_1)$ . A block diagram of control system depicts in Fig. 3.

Closed loop transfer function is

$$\frac{Y_p(s)}{U_c(s)} = \frac{b(K_p s + K_i)}{a_0 s^2 + (a_1 + bK_d)s + bK_i} \quad (7)$$

and

$$Y_p(s) = \frac{b(K_p s + K_i)}{a_0 s^2 + (a_1 + bK_d)s + bK_i} \cdot U_c(s) \quad (8)$$

From (7) and required performance of system, we obtain a reference model as (9).

$$\frac{Y_m(s)}{U_m(s)} = \frac{b_{m1}s + b_{m2}}{a_{m0}s^2 + a_{m1}s + a_{m2}} \quad (9)$$

Apply MIT gradient rules for determining the value of PI controller parameters  $K_p, K_i$  in (10).

$$\frac{dK_p}{dt} = -\gamma_p \frac{\partial J}{\partial K_p} = -\gamma_p \left( \frac{\partial J}{\partial \varepsilon} \right) \left( \frac{\partial \varepsilon}{\partial y} \right) \left( \frac{\partial y}{\partial K_p} \right) \quad (10)$$

$$\frac{dK_i}{dt} = -\gamma_i \frac{\partial J}{\partial K_i} = -\gamma_i \left( \frac{\partial J}{\partial \varepsilon} \right) \left( \frac{\partial \varepsilon}{\partial y} \right) \left( \frac{\partial y}{\partial K_i} \right)$$

Where  $\partial J/\partial \varepsilon = \varepsilon$ ,  $\partial \varepsilon/\partial y = 1$

$$\frac{\partial Y_p}{\partial K_p} = \frac{bs}{a_0 s^2 + (a_1 + bK_d)s + bK_i} \cdot [-Y_p] \quad (11)$$

$$\frac{\partial Y_p}{\partial K_i} = \frac{b}{a_0 s^2 + (a_1 + bK_d)s + bK_i} \cdot [U_c - Y_p] \quad (12)$$

From Eq. (11) and (12), it obtained  $\frac{\partial K_p}{\partial t}, \frac{\partial K_i}{\partial t}$  as Eq. (13).

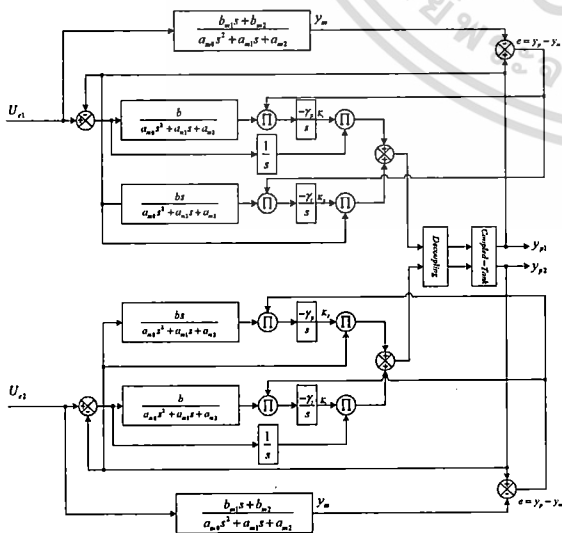


Fig. 4 MRAC Block Diagram for Couple-Tank Process

$$\frac{dK_p}{dt} = -\gamma_p \frac{\partial J}{\partial K_p} = -\gamma_p \varepsilon \frac{bs}{a_0 s^2 + (a_1 + bK_d)s + bK_i} \cdot [-Y_p]$$

$$\frac{dK_i}{dt} = -\gamma_i \frac{\partial J}{\partial K_i} = -\gamma_i \varepsilon \frac{b}{a_0 s^2 + (a_1 + bK_d)s + bK_i} \cdot [U_c - Y_p] \quad (13)$$

A block diagram in Fig. 4 shows how MRAC technique is implemented.

## 5. EXPERIMENT AND RESULTS

Referring to the parameters and the operating points of process in table 1 and table 2, this process can be placed into the equation (1). It will be obtained the plant transfer function as in equation (14).

Table 1 Process Parameters

Symbol	Description	Quantity
$A(\text{cm}^2)$	Cross section area of tank 1,2	66.25
$a(\text{cm}^2)$	Cross section area of outlet hole of tank 1,2	0.1963
$\beta_1$	Valve ratio at the outlet of tank 1	0.9015
$\beta_2$	Valve ratio at the outlet of tank 2	0.9919
$\beta_x$	Valve ratio between tank 1 and tank 2	0.9279

Table 2 The operating point of process

Symbol	Description	Quantity
$u_1, u_2(V)$	Input voltage of pump 1,2	2.5, 2
$\bar{h}_1$	Water level of tank 1	5.25
$\bar{h}_2$	Water level of tank 2	2.45
$k_1(\text{cm}^3/V)$	Gain of pump 1	5.4
$k_2(\text{cm}^3/V)$	Gain of pump 2	4.8

$$\begin{bmatrix} G_{11}(s) & G_{12}(s) \\ G_{21}(s) & G_{22}(s) \end{bmatrix} = \begin{bmatrix} \frac{0.08151s + 0.006356}{(s^2 + 0.1402s + 0.003526)} & \frac{2.637 \times 10^{-3}}{(s^2 + 0.1402s + 0.003526)} \\ \frac{2.966 \times 10^{-3}}{(s^2 + 0.1402s + 0.003526)} & \frac{0.07245s + 0.004507}{(s^2 + 0.1402s + 0.003526)} \end{bmatrix} \quad (14)$$

From (14) we designed decoupling controllers  $D_{12}(s)$  and  $D_{21}(s)$  for decoupling the interaction in couple-tank process as equation (15), (16).

เอกสารนี้เป็นเอกสารที่สงวนไว้สำหรับการใช้งานเพื่อการศึกษาเท่านั้น ไม่อนุญาตให้นำไปใช้ประโยชน์ด้านการค้า  
ไม่ว่ากรณีใดๆ ทั้งสิ้น อีกทั้งห้ามมิให้ดัดแปลงเนื้อหา และต้องอ้างอิงถึงเจ้าของเอกสารทุกครั้งที่มีการนำไปใช้

$$D_{12}(s) = -\frac{G_{12}(s)}{G_{11}(s)}$$

$$= -\left( \frac{2.637 \times 10^{-4}}{(s^2 + 0.1402s + 0.003526)} \times \frac{(s^2 + 0.1402s + 0.003526)}{0.08151s + 0.006356} \right)$$

$$= -\frac{2.637 \times 10^{-4}}{0.08151s + 0.006356} \quad (15)$$

$$D_{21}(s) = -\frac{G_{21}(s)}{G_{22}(s)}$$

$$= -\left( \frac{2.966 \times 10^{-4}}{(s^2 + 0.1402s + 0.003526)} \times \frac{(s^2 + 0.1402s + 0.003526)}{0.07245s + 0.004507} \right)$$

$$= -\frac{2.966 \times 10^{-4}}{0.07245s + 0.004507} \quad (16)$$

From decoupling controllers, it obtained new plant transfer functions as equation (17)

$$G_n(s) = \begin{bmatrix} G_{n11} & 0 \\ 0 & G_{n22} \end{bmatrix} \quad (17)$$

where

$$G_{n11}(s) = G_{11}(s) - \frac{G_{21}}{G_{22}} G_{12}(s) = G_{11}(s) - D_{21}(s) G_{12}(s)$$

$$= \frac{0.08151}{s + 0.06221} \quad (18)$$

$$G_{n22}(s) = G_{22}(s) - \frac{G_{12}}{G_{11}} G_{21}(s) = G_{22}(s) - D_{12}(s) G_{21}(s)$$

$$= \frac{0.07245}{s + 0.07797} \quad (19)$$

### 5.1 Simulation of Tank1 Control Loop

$$\text{Plant transfer function } G_p(s) = \frac{0.08151}{s + 0.06221}$$

Design PI controllers by using MRAC Technique as the control structure in Fig.2. From the specifies properties of the desired control system  $P.O.=10\%$  and  $t_s = 150$ , a reference model is shown in (20)

$$\frac{Y_m(s)}{U_m(s)} = \frac{s + 0.0011}{s^2 + 0.04s + 0.0011} \quad (20)$$

### 5.2 Simulation of Tank2 Control Loop

$$\text{Plant transfer function } G_p(s) = \frac{0.07245}{s + 0.07797}$$

Design PI controllers by using MRAC Technique as the control structure in Fig.2. From the specifies properties of the desired control system  $P.O.=10\%$  and  $t_s = 100$ , a reference model is shown in (21)

$$\frac{Y_m(s)}{U_m(s)} = \frac{s + 0.0026}{s^2 + 0.06s + 0.0026} \quad (21)$$

The test done by control the response of tank1 and tank2 control system ( $g_{n11}(s), g_{n22}(s)$ ) at the set-point as the details in table 3.

Table 3 The operating point of process

Tank	$t=0s$	$t=1500s$	$t=3000s$	$t=4500s$
1	2	-	4	-
2	2	4	-	-

Determining the value of PI controller parameters  $K_p, K_i$  by MRAC algorithm, we defined the value of adaptation gain  $\gamma$  as following

$$\text{Tank1 } \gamma_p = -0.01 \text{ and } \gamma_i = -0.00003$$

$$\text{Tank2 } \gamma_p = -0.01 \text{ and } \gamma_i = -0.00005$$

The simulation results are shown as Fig.5-Fig.9. (17)

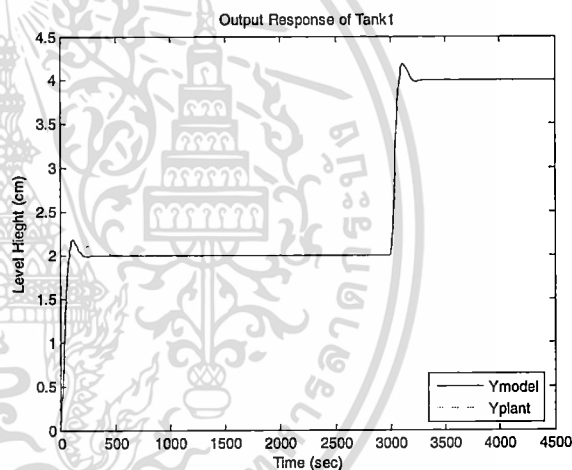


Fig.5 Comparison between output response  $y_p$  and  $y_m$  of Tank1 Control Loop.

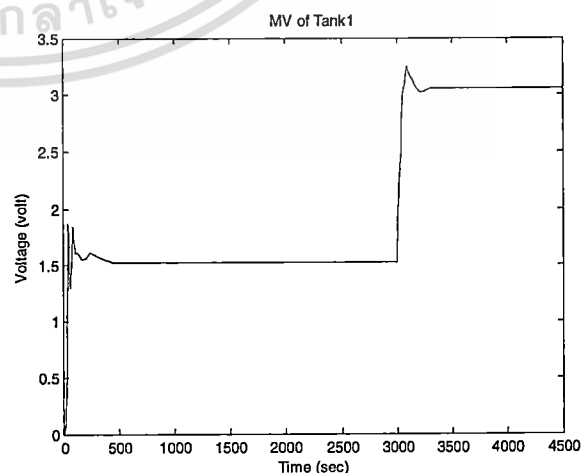


Fig.6 MV from PI Controller of Tank1 Control Loop

เอกสารนี้เป็นเอกสารที่สงวนไว้สำหรับการใช้งานเพื่อการศึกษาเท่านั้น ไม่อนุญาตให้นำไปใช้ประโยชน์ด้านการค้า  
ไม่ว่ากรณีใดๆ ทั้งสิ้น อีกทั้งห้ามมิให้ดัดแปลงเนื้อหา และต้องอ้างอิงถึงเจ้าของเอกสารทุกครั้งที่มีการนำไปใช้

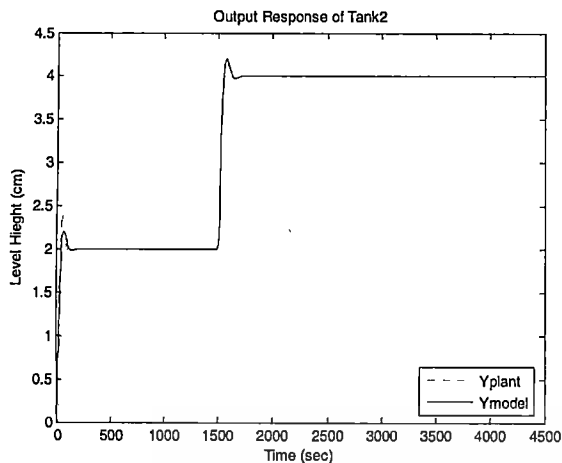


Fig.7 Comparison between output response  $y_p$  and  $y_m$  of Tank2 Control Loop.

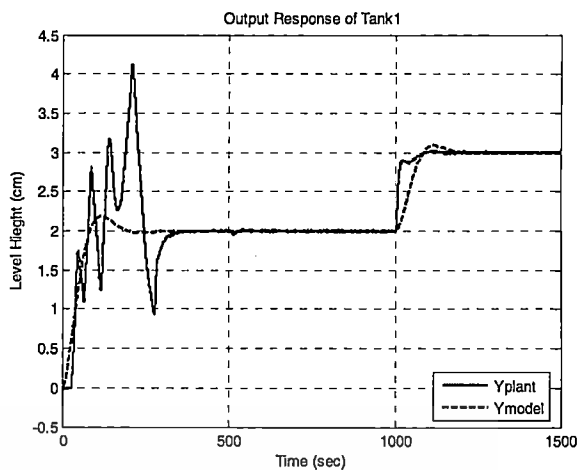


Fig.10 Comparison between output response  $y_p$  and  $y_m$  of Tank1 Control Loop.

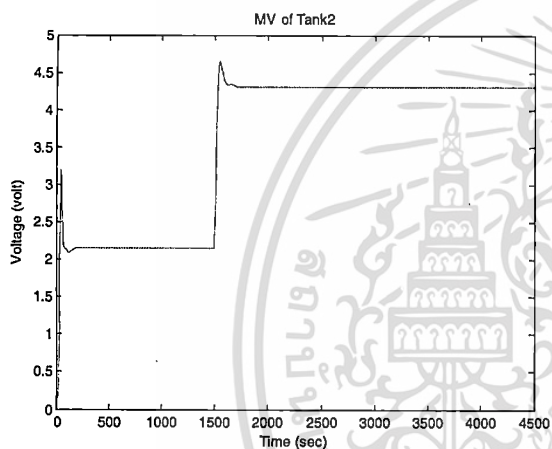


Fig.8 MV from PI Controller of Tank2 Control Loop

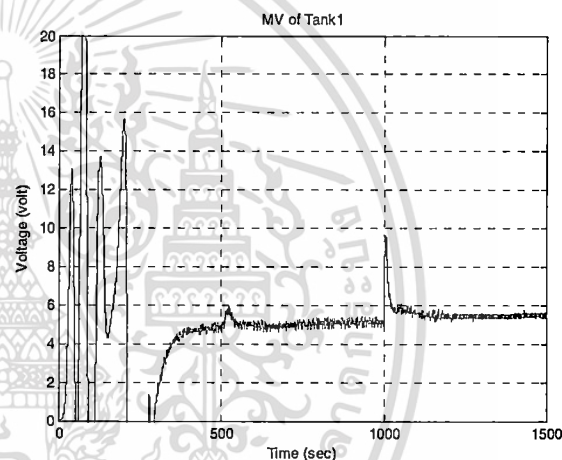


Fig.11 MV from PI Controller of Tank1 Control Loop

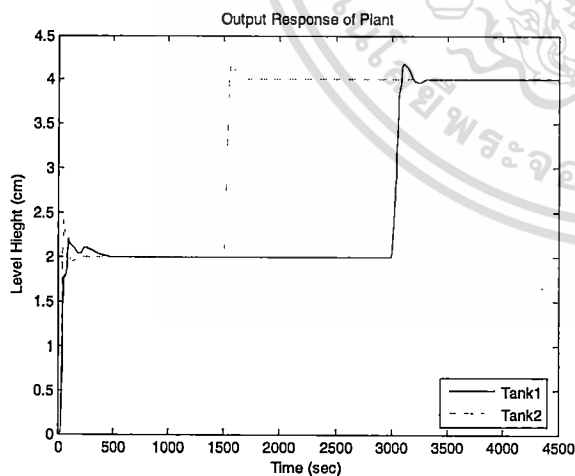


Fig.9 Simulation Output response  $y_{p1}$   $y_{p2}$  of MRAC Control System for Coupled-Tank Process  
The experiment results are shown as Fig.10-Fig.14 .

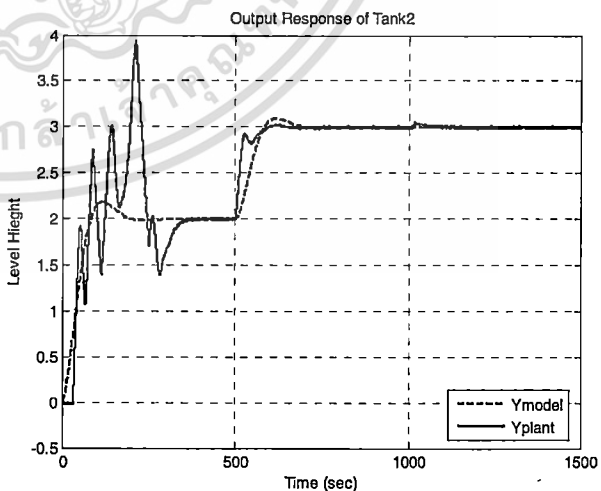


Fig.12 Comparison between output response  $y_p$  and  $y_m$  of Tank2 Control Loop.

เอกสารนี้เป็นเอกสารที่สงวนไว้สำหรับการใช้งานเพื่อการศึกษาเท่านั้น ไม่อนุญาตให้นำไปใช้ประโยชน์ด้านการค้า  
ไม่ว่ากรณีใดๆ ทั้งสิ้น อีกทั้งห้ามมิให้ดัดแปลงเนื้อหา และต้องอ้างอิงถึงเจ้าของเอกสารทุกครั้งที่มีการนำไปใช้

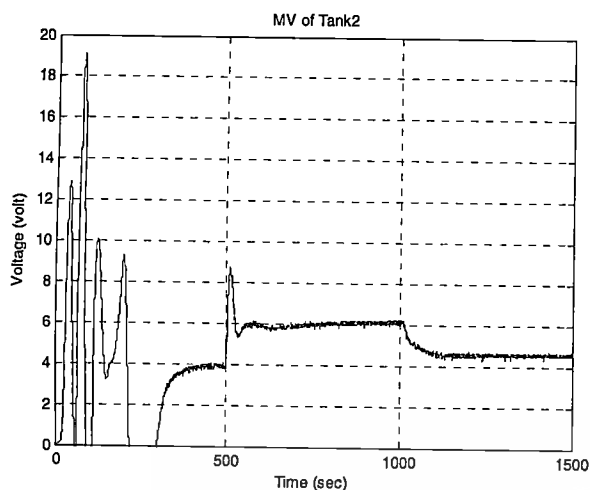


Fig.13 MV from PI Controller of Tank2 Control Loop

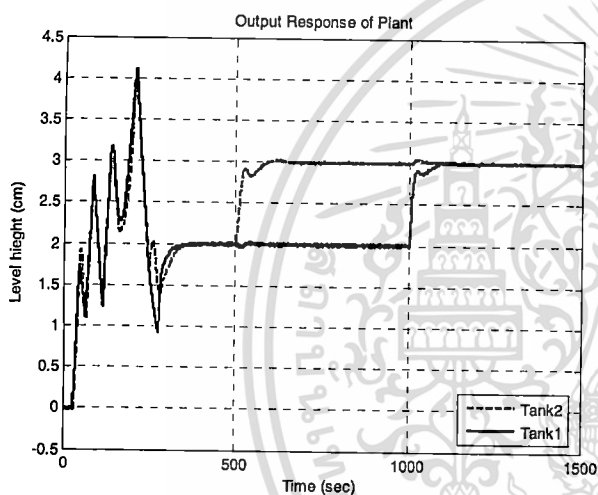


Fig.14 Response of MRAC PI Control System for Coupled-Tank Process

## 6. CONCLUSION

The design of PI controller using MRAC techniques for couple-tanks process can adjust controller parameters in response to changes in plant and disturbance and with specifies properties of the desired control system. It is shown by the experiment results in Section 5 that MRAC technique solve the dynamic problem of the couple-tanks process and it is convenient for controller design under the requirement of the system.

## REFERENCES

- [1] Astrom K.J., and T. Haggglund (1995). "PID Controllers: Theory, Design, and Tuning. Instrument." Society of America, 2nd edition.
- [2] Q.C. Wang, B. Zou, T.H. Lee and Q. Bi "Auto tuning of multivariable PID controllers from decentralized relay feedback", Automatica, Vol.33, No.3, pp. 319-330, 1997
- [3] Damir Vrancic, "Tuning of Decoupling Controller by using MIMO Method"

- [4] J.M. Maciejowski, *Multivariable Feedback Design*, Addison-Wesley, 1989
- [5] M. Zhuang, and D.P. Atherton, "PID controller design for a TITO system", IEE Proc.- Control Theory Appl., Vol.141, No.2, pp.111-120, 1994
- [6] C.C. Ko, Ben M. Chen, Jianping Chen; Yuan Zhuang, Key Chen Tan, "Development of a web-based laboratory for control experiments on a coupled tank apparatus". IEEE Transactions on Education, vol. 44, No. 1, February 2001
- [7] S. Majhi, "SISO controller for TITO systems", presented at the Int. Conf. on Energy. Automation and information Tech., 2001
- [8] N.K. Paulsen, B.Kouvaritakis and M.Cannon. "Non-linear constrained predictive control applied to a coupled-tanks apparatus" IEE Proc.- Control Theory Appl., Vol. 148, No. 1, January 2001
- [9] S.E.Hamamci and M.Koksal. "Robust Controller Design for TITO Processes with Coefficient Diagram Method" Proceedings of IEEE Conference on Vol.2, 23-25 June 2003 Page(s):1431 - 1436 vol.2
- [10] Astrom, K.J. and B. Witten mark. "Computer Controlled Systems - Theory and Design" 1990, Prentice-Hall
- [11] Application Examples of the KRi Coupled-Tank Apparatus Model PP-100, Application Note Ref: CT-101, November 1, 1995

เอกสารนี้เป็นเอกสารที่สงวนไว้สำหรับการใช้งานเพื่อการศึกษาเท่านั้น ไม่อนุญาตให้นำไปใช้ประโยชน์ด้านการค้า  
ไม่ว่ากรณีใดๆ ทั้งสิ้น อีกทั้งห้ามมิให้ตัดแปลงเนื้อหา และต้องอ้างอิงถึงเจ้าของเอกสารทุกครั้งที่มีการนำไปใช้

## ประวัติผู้เขียน

นายสุภฤกษ์ กังวาลรัตน์ เกิดเมื่อวันที่ 29 ธันวาคม พ.ศ.2515 ที่จังหวัดสุพรรณบุรี สำเร็จการศึกษาระดับประกาศนียบัตรวิชาชีพชั้นสูง สาขาช่างไฟฟ้ากำลัง จากสถาบันเทคโนโลยีราชมงคล วิทยาเขตเทคนิคกรุงเทพ ต่อจากนั้นได้เข้าศึกษาต่อระดับปริญญาตรีในสาขาวิศวกรรมไฟฟ้ากำลัง ภาควิชาวิศวกรรมไฟฟ้า คณะวิศวกรรมศาสตร์ มหาวิทยาลัยเทคโนโลยีมหานคร และเข้าศึกษาต่อในระดับปริญญาโท หลักสูตรรัฐศาสตรมหาบัณฑิต สาขาการเมืองการปกครอง คณะรัฐศาสตร์ มหาวิทยาลัยรามคำแหง สำเร็จการศึกษาในปีการศึกษา 2548 และเข้าศึกษาต่อในระดับปริญญาโท หลักสูตรวิศวกรรมศาสตรมหาบัณฑิต สาขาวิศวกรรมการวัดคุม ภาควิชาวิศวกรรมการวัดคุม คณะวิศวกรรมศาสตร์ สถาบันเทคโนโลยีพระจอมเกล้าเจ้าคุณทหารลาดกระบัง ในปีการศึกษา 2551

ประวัติการทำงาน ได้เข้าเป็นพนักงานของบริษัทสมบัติวิศวกรรมและบริษัทบิวคอน หลังจากนั้นได้เข้าทำงานในบริษัท ไอบีเอ็ม สโตเรจ โปรดักส์ ไทยแลนด์ จำกัด ตั้งแต่ปี 2541 และในปี 2546 บริษัทได้เปลี่ยนชื่อมาเป็น บริษัท อิตาจิ โกลบอล สโตเรจ เทคโนโลยีส์ ประเทศไทย จำกัด จนถึงปัจจุบันและเริ่มต้นทำงานในตำแหน่งวิศวกรในแผนก Cleaning หลังจากนั้นได้ย้ายตำแหน่งมาเป็นหัวหน้าส่วนซ่อมบำรุงแผนก Test Engineering และตำแหน่งปัจจุบันเป็นผู้ช่วยผู้จัดการแผนกพัฒนาทรัพยากรมนุษย์และพัฒนาองค์กรและเป็นตัวแทนของบริษัทฯ ในการประสานความร่วมมือในการพัฒนาบุคลากรรวมถึงงานวิจัยระหว่างภาครัฐ มหาวิทยาลัย กับบริษัทฯ ภายใต้บันทึกความร่วมมือต่างๆ.

เอกสารนี้เป็นเอกสารที่สงวนไว้สำหรับการใช้งานเพื่อการศึกษาเท่านั้น ไม่อนุญาตให้นำไปใช้ประโยชน์ด้านการค้า ไม่ว่าจะกรณีใดๆ ทั้งสิ้น อีกทั้งห้ามมิให้ตัดแปลงเนื้อหา และต้องอ้างอิงถึงเจ้าของเอกสารทุกครั้งที่มีการนำไปใช้